



inSSIDer Журнал для радиолюбителей и аудиофилов

<http://radiohobby.QRZ.ru>

Radio хобби №3 ИЮНЬ 2013

Тема номера:
удлиняем и ускоряем Wi-Fi

3 штырька ПЭЛ-1,6
+ кусок пенопласта
= 8-дбцибельная
Wi-Fi «Яга» за 5 минут

inSSIDer: я уже не мешаю
твоему вайфаю

USBшная интернет-управляемка
и выключалка для Raspberry Pi

«Одноразовый» программатор
на базе Arduino

Ловись, рыбка, большая и маленькая:
мини-эхолот для рыбака-спортсмена

Пассивные Боде для винила
и RIAA-корректоры Сакумы-саны

Трансивер Digi-80: мал, да удал,
да и 3\$ - не деньги!

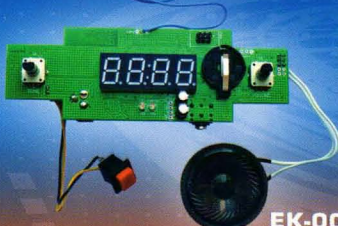


МАСТЕР КИТ

ДЕТСКИЕ КОНСТРУКТОРЫ



РАДИОКОНСТРУКТОР "ТВОЁ РАДИО" №1



EK-001D

Диапазон частот: 64 - 108 МГц
Автонастройка на частоту станции
Выходная мощность: 2 Вт

Диапазон частот: 20 - 18000 кГц



Приёмник собирается
за считанные минуты!

СМОТРИТЕ ТАКЖЕ:

EK-002 Радиоконструктор "Твое радио" №2
EK-003 Радиоконструктор "Твое радио" №3
EK-004 Радиоконструктор "Твое радио" №4



для юных конструкторов,
школьных радиокружков,
домов технического творчества,
станций юных техников.

Более 500 изделий, включая 100 готовых устройств на сайте: WWW.MASTERKIT.RU

Закажите по бесплатному номеру МАСТЕР КИТ: 8-800-200-09-34 с мобильного или городского телефона
в России (с 9.00 до 18.00, кроме выходных). Продажа в Украине: тел.: (094) 925-64-96.

Вопросы и консультации: (495) 234-77-88, e-mail: inform@masterkit.ru

Переплатіть наші
видання на 2013 рік!

У кожному поштовому
відділенні України!

А також на сайті
www.presa.ua



Уважаемые читатели!

Государственное предприятие по распространению периодических изданий "Пресса" (ГП "Пресса") сообщает, что с 8 апреля 2013 года началась подписка на второе полугодие 2013 года на украинские и зарубежные периодические издания!

Оформить подписку можно по "Каталогу изданий Украины" и "Каталогу изданий зарубежных стран", которые формируются и издаются ГП "Пресса" общим тиражом 170 тыс. экземпляров. На сегодняшний день предприятие включает в свои каталоги в общей сложности более 10 500 индексов украинских и зарубежных изданий – это огромный выбор самых разнообразных газет, журналов и книг по доступным ценам! Осуществить подписку по этим Каталогам можно в любом почтовом отделении Украины.

Кроме того, оформить подписку можно, воспользовавшись услугой "Подписка ON-LINE" на корпоративном сайте предприятия www.presa.ua. Теперь оформлять подписку "ON-LINE" стало проще. ГП "Пресса" внедрило новый способ расчета – оплата Webmoney, а также картами Visa и MasterCard. Этот удобный и современный способ электронных платежей позволяет оплачивать счет, не оставляя дома или офиса.

ул. Петрозаводская, 2а, г. Киев, Украина, 03999
ГП "Пресса"
Отдел подписки
тел./факс: (044) 289 07 74
тел.: (044) 289 04 13, 249 50 45
www.presa.ua

ГАЗЕТЫ
ЖУРНАЛЫ

Подписька на российские и зарубежные издания

2013

Второе полугодие

Агентство «РОСПЕЧАТЬ»*

495 223-44-44

ДОСТАВКА
журналов
по всей России

495 223-44-44

Подписка на "Радиохобби" на второе полугодие
2013 года - в любом почтовом отделении:
Украины - по каталогу ДП Преса, индекс 74221
Беларуси - по каталогу Белпочты, индекс 74221

России - по каталогу Роспечати, индекс 22033,
раздел Издания ближнего зарубежья, Украина.
Учтите, что подписка на издания ближнего
зарубежья заканчивается почти на месяц раньше,
чем на российские издания.

Подписку в других странах можно оформить
онлайн на сайте <http://www.presa.ua/online>



Радиохобби

Журнал для радиолюбителей,
аудиофилов и пользователей ПК
№ 3(93)/ИЮНЬ 2013



Совместное издание с
Лигой радиолюбителей Украины
Издается с февраля 1998 г.

Главный редактор
Николай Сухов

Редакционная коллегия
Георгий Божко (UT5ULB)

Евгений Васильченко

Сергей Кубышин

Анатолий Манаков

Александр Петров

Юрий Садиков

Александр Торрес

Николай Федосеев (UT2UZ)

Георгий Члиянц (UY5XE)

Владимир Широков

Адрес редакции

Украина, 03190, Киев-190, а/я 56
Тел. (044)3609096 (моб., главред),
из России (1038044)3609096
E-mail: radiohobby@yandex.ru
<http://radiohobby.QRZ.ru>

Распространение
по подписке в любом отделении связи:

Украина
по «Каталогу видан України 2013,
II півріччя» ДП «Преса», с.151,
індекс 74221

Россия
по каталогу «Газеты Журналы 2013,
Второе полугодие» агентства
Роспечать, раздел «Издания ближнего
зарубежья», подраздел журналы
Украины, с.362, индекс 22033

Все другие страны, включая
далнее зарубежье - в онлайне
сайта <http://www.presa.ua/online>

Выражаем благодарность всем авторам за их
мысли и идеи и всем подписчикам за доверие и
материальную поддержку журнала

Редакция может не разделять мнения авторов и не
несет ответственности за содержание рекламы

Ф «Радиохобби». Колирование материалов
журнала на любых носителях, размещение
копий или указание ссылок на скачивание в
любых сетях без письменного разрешения
редакции запрещено (Статьи 1229, 1270 ГК).

Подписано к печати 20.06.2013 г.
Отпечатано в типографии ООО «Ларс-принт»,
г. Киев, ул. Бастionная, 15
Тираж 8400 экз.
Цена договорная

Учредитель и изатель ФОП Сухов Н.Е.
г. Киев, ул. Гончарова, 21
Журнал выходит шесть раз в год
60x84/8 бум. форм., 7,44 усл.п.чл., 12,8 уч.-изд.л.
Зарегистрирован Госкомитетом Российской
Федерации по печати 25.06.97 г., свид. №16258
Перерегистрирован Министерством юстиции Украины
22.02.2008 г., свид. серия КВ №13668-26427Р

СОДЕРЖАНИЕ

- 2 Вехи истории радиолюбительского конструирования КВ и УКВ аппаратуры Г. Члиянц
- 6 Новая техника и технология: ИНТЕРНЕТ-обзор
Утилита inSSIDer для частотной и пространственной диагностики доступных каналов Wi-Fi и загруженности гигагерцевого эфира; USB-адаптер Wi-Spy и программный сканер-спектроанализатор Chanalyzer для обзора всех мешающих Wi-Fi (Bluetooth, ZigBee и др.) устройств диапазонов 2,4 и 5 ГГц; собственный браузер мегапортала Mail.ru; Web of Trust - бесплатный инструмент для безопасного геб-серфинга на основе мнений миллионов членов интернет сообщества; массовая вредоносная спам-рассылка через Skype; агрессивное зарядное USB-устройство Mactans менее чем за минуту заражает вирусом iPhone, iPad и другие устройства на OC iOS; Thingsquare Code - первая в мире онлайн-интерактивная среда разработки «интернет-вещей»; два новых «китайских» направления зволовки сотовых телефонов - «бабушкофоны» MUphone 7700, Senseit S7 с персональным трекером и системой мониторинга MobiTrack и «танкофоны» Senseit P7; Intel Silvermont против ARM Cortex A57 и IBM ARMv8 на базе 14-нм транспозиции с применением FinFET; Creative Sound Blaster X-Fi против ASUS Xonar Essence STX; NASA выделило деньги на создание «пищевого 3D принтера»; германец - атомарный слой герmania - перспективный полупроводник с «прямопереходной» запрещенной зоной; группе немецких ученых удалось в 7 раз повысить ресурс литий-сернистых (Li-S) аккумуляторов; Silicon Labs разработала Si826x - КМОП альтернатива изолирующим оптодрайверам; MAX11156 - самый миниатюрный в отрасли 18-разрядный АЦП последовательного приближения; LT6110 - компенсатор падения напряжения на межблочных проводах/кабелях, не требующий обратных «Кельвинов»; 8-разрядные микроконтроллеры PIC16F527 и PIC16F570 со встроенным ОУ; серия CWT Ultra-mini датчиков на основе катушек Роговского; PicoScope 3207A/B является первым в мире компьютерным осциллографом с интерфейсом USB 3.0; компактный КВ трансверт Кепвоод TK-90 соответствует военным стандартам MIL 810; широкодиапазонный рефлектометр/ваттметр KW 520 фирмы Alan; американская Cushcraft выпустила новую вертикальную антенну R9 для диапазонов от 6 до 80 метров
- 22 Дайджест зарубежной периодики
Идея однотактного выходного каскада на истоковом повторителе с бестрансформаторным выходом и непосредственной связью с нагрузкой в гибридном УМЗЧ В. Гришина; транзисторный УМЗЧ мощностью 70 Вт с коэффициентом гармоник 0,003%; аудиофильский телефонный усилитель Георга Нтанавараса на октете ОУ OP42134; четырехканальный аудиомикшер Николаса Уайлена для дикс-жокеев; аналоговая линия задержки на 10 мс с последовательным соединением сотни всепропускающих фазовых фильтров в пространственном декодере Дугласа Форда; 64-х-светодиодный стерео VU-метр на ATtiny88; радиационный дозиметр Рона Ньютона с микроконтроллером и ЦАПом для самописца; автоматический генератор зондирующего импульса в пробнике двухполюсников; малогабаритный LCR-метр с точностью измерения 0,05%; устройство для предупреждения перегрева радиоэлектронного оборудования; линейный усилитель мощности W6PQL для 2-метрового диапазона обеспечивает 80 Вт при работе SSB, CW или FM; Мокон-антenna DL5ABF для 2-метрового и 70-сантиметрового диапазонов подкупают оригинальностью и простотой конструкции
- 38 Пассивные Боде для винила А. Петров
- 41 Винил-корректоры Susumu Sakuma
- 42 Интернет управление через USB и аппаратно-программный включатель/выключатель микрокомпьютера Raspberry Pi В. Иноземцев
- 45 Автоадаптирующаяся сенсорная кнопка на ATtiny13 А. Виниченко
- 48 Мини-эхолот для рыбака-спортсмена А. Козубенко
- 51 Колонка редактора (вниманию российских подписчиков «РХ»)
- 52 «Одноразовый» программатор на базе Arduino С. Рюмик
- 53 Всеукраинская студенческая олимпиада среди молодых радиотехников (ВСОПТ-13) К. Коваль, А. Семенов
- 54 Трансивер «Digi-80» А. Мошенский
- 55 Ноу-хау направленной Wi-Fi антенны Г. Божко
- 57 ОЗЧУ-2013 - настоящий экстрим! Г. Члиянц, С. Макаров
- 60 III Всеукраинская олимпиада по радиоэлектронике среди студентов ВУЗов С. Цирульник
- 47 61 Электронные компоненты, системы, оборудование и аксессуары
- 62 Мастер Кит - почтой

Вехи истории радиолюбительского конструирования КВ и УКВ аппаратуры

Георгий Члиянц (UY5XE), г. Львов

Вполне понятно, что вся история развития коротковолнового движения была тесно связана с конструированием, т.к. в те далекие годы практически не выпускалась промышленная аппаратура и антенны для нашего хобби.

Анализ современных радиолюбительских СМИ (как печатных, так в всевозможных сайтов) показывает, что и сегодня многие коротковолновики любят «посидеть с паяльником» - конструируют новые образцы своей техники или дорабатывают выпускаемые всевозможными фирмами...

Приведем основные «вехи» в развитии радиолюбительского конструирования КВ и УКВ аппаратуры и антенн.

Началом радиолюбительского конструирования (как такового) в мире можно считать **1898 г.**, когда в январе в лондонском журнале «The Model Engineer and Amateur Electrician» Лесли Миллером были опубликованы описания простых самодельных передатчика и приемника для любителей, автором был применен термин: «*for an amateur audience*».

Примечание: Подобное описание было опубликовано в июле 1899 г. и в американском журнале «American Electrician» 1899 г.

В том же году в издававшемся в Санкт-Петербурге «Журнале новейших открытий и изобретений» было описано «Домашнее устройство опытов телеграфирования без проводов». Эта любительская радиостанция (ЛРС) обеспечивала связь на 25 м - неплохой результат для того периода времени.

1922 г.:

- В сентябре в подмосковной Лосиноостровской показательной средней школе 2-й ступени (бывшая французская гимназия) учитель физики Евгений Николаевич Горячий [впоследствии - член-корреспондент АПН СССР] организовал первый в стране радиокружок.

Примечание: Данную школу в 1924 г. закончила, посвящавшая этот кружок, Зинаида Васильевна Ершова [1904-1995] - одна из будущих главных участников советского атомного проекта, доктор наук, профессор, засл. деятель науки и техники СССР.

- В октябре аналогичный радиокружок был создан в подмосковной детской колонии «Искра» (в 1924 г., построив приемник и изучив телеграф, члены кружка сначала приняли сигналы

SOS с корабля, терпящего бедствие в Балтийском море, и позднее - первую опытную передачу радиостанции имени «Коминтерна»).

- 4 ноября в Петрограде по инициативе ученых И.Г. Фреймана и А.А. Петровского был создан радиолюбительский кружок при «Обществе мироведения».

1923 г.:

- 4 июля Совет Народных комиссаров (СНК) СССР принял декрет «О радиостанциях специального назначения». Это было первое постановление, которое узаконивало сооружение, в частности, ЛРС (п. 1.в).

- В Харькове был организован радиокружок при телеграфно-телефонном заводе.

1924 г.:

- В январе на страницах журнала «Хочу все знать» развернулась широкая агитация за развитие массового радиолюбительства.

- В мае по почину Верхне-Волжского округа связи и при деятельном участии сотрудников Нижегородской радиолаборатории - профессоров Б.А. Остроумова, Г.А. Остроумова и В.К. Лебединского, а также радиолюбителей В.М. Петрова и Ф.А. Лбова, было организовано «Нижегородское общество радиолюбителей» (к концу года в нем уже было 250 членов). 26 июня Административным Отделом Нижегородской губернии был зарегистрирован (под рег. № 11664) «Устав Нижегородского Общества Радиолюбителей (Н.О.Р.)».

1925 г.:

- 28 июля Совет Народных комиссаров (СНК) СССР принял т.н. «Закон о свободе эфира» (Постановление «О частных приемных радиостанциях» было опубликовано в

газете «Известия» от 9 сентября

и в сентябрьском номере журнала «Радиолюбитель» - с. 20), которое разрешало гражданам СССР пользоваться индивидуальными радиоприемниками.

В нем, в частности, говорилось: «В целях более широкого использования населением радиосвязи для хозяйственных, научных и культурных потребностей,

содействия развитию радиопромышленности и насаждения радиотехнических знаний в стране... предоставить организациям и частным лицам... право устройства и эксплуатации приемных радиостанций». Были установлены и временные таксы абонементной платы за пользование приемными радиостанциями.

- 1 августа при культотделе МГСПС было организовано Бюро содействия радиолюбительству.

- 7 августа в Москве создано Общество радиолюбителей РСФСР, которое со 2-го декабря было переименовано в Общество Друзей Радио СССР (ОДР СССР). При ОДР СССР была создана

Центральная радиолаборатория, которую возглавил Александр Соломонович Беркман [1871-1977] [впоследствии - декан и зав. кафедрами в ряде московских ВУЗов, Почетный член НТО им. А.С. Попова].

- 15 ав-

густа вышел первый номер двухнедельного журнала «Радиолюбитель» (орган Бюро содействия радиолюбительству и Общества радиолюбителей РСФСР), в котором была опубликована первая радиолюбительская конструкция - детекторный приемник Николая Оганова.

- Низовые ячейки ОДР приступили к массовому изготовлению детекторных приемников.

1925 г.:

- 7 мая в Ленинградском Электротехническом институте открылась радиостанция, на которой впервые один из разделов был посвящен радиолюбительской аппаратуре.

- 17 мая в Москве в залах Политехнического музея открывается радиовы-



И.Г. Фрейман



А.С. Беркман



Радиолюбительская выставка в Твери, 1926 г.

Д. В. КУБАРКИН и Г. Г. ГИНКИН

ПУТЕВОДИТЕЛЬ
ПО ЭФИРУ

на 1929 г.

Фото издание, первоначальное
и значительно дополненное

Издатель МСНС "Труд и Культура"
1929

ставе которого были Дмитрий Липманов (eu2AM; ранее - 20RA), Павел Гиляров (eu3AB; ранее - 0BRA; в 1937 г. был репрессирован), Евгений Андреев (eu3GS; ранее - 35RB; позже - U1BM) и др. известные коротковолновики - участники данной конференции. Эта выставка положила начало дальнейшему массовому проведению радиолюбительских выставок на местах. Например, в радиолюбительских СМИ нашли свое отражение фото-

1-я МОСКОВСКАЯ МЕЖСОЮЗНАЯ
РАДИОВЫСТАВКА



1. Башня для радиопомех и экспонатами являются: металлический, пластмассовый, трансформаторы, коммутационные, тумблеры, трансформаторы и выпрямители, в том числе выпрямители НИССИС, выпрямители для радиопомех, выпрямители для радиопомех с антистатиком смесью силиконизированного каучука, изотропии и радиостатика НИССИС. — 2. То же для радиопомех с антистатиком смесью силиконизированного каучука, изотропии и радиостатика НИССИС. — 3. Радиотехнический магнитофон с магнитной головкой и магнитной лентой. — 4. Дифракционный генератор с электронным управлением. — 5. Аппарат для радиодальномера. — 6. Аппарат для радиодальномера с магнитной головкой и антенной спиралью. — 7. Аппарат для радиодальномера с магнитной головкой и антенной спиралью. — 8. Аппарат для радиодальномера с магнитной головкой и антенной спиралью. — 9. Аппарат для радиодальномера с магнитной головкой и антенной спиралью. — 10. Аппарат для радиодальномера с магнитной головкой и антенной спиралью. — 11. Аппарат для радиодальномера с магнитной головкой и антенной спиралью. — 12. Аппарат для радиодальномера с магнитной головкой и антенной спиралью. — 13. Аппарат для радиодальномера с магнитной головкой и антенной спиралью. — 14. Громкоговорители усиленные, звукоизлучающие и звукоизмерительные. — 15. Аппарат для радиодальномера с магнитной головкой и антенной спиралью. — 16. Аппарат для радиодальномера с магнитной головкой и антенной спиралью. — 17. Аппарат для радиодальномера с магнитной головкой и антенной спиралью. — 18. Аппарат для радиодальномера с магнитной головкой и антенной спиралью. — 19. Аппарат для радиодальномера с магнитной головкой и антенной спиралью.

РАДИОВЫСТАВКА ВЯЗЕМСКОГО

ОДР



Радиовыставка
в Туле, 1928 г.



РАДИОИСТОРИЯ

графии и отчеты о проведенных выставках в Баку, Борисоглебске, Витебске, Воронеже, Вязьме, Киеве, Ленинграде, Минске, Павлограде, Свердловске, Смоленске, Сумах, Ташкенте, Тбилиси, Туле, Харькове, Эриване (ныне - Ереван) и в др.

1929 г.: Выходит брошюра москвичей Л.В. Кубаркина и Г.Г. Гинкина «Путеводитель по эфиру на 1929 г.», в которой были помещены практические советы и рекомендации по настройке радиоприемников.

Примечание:

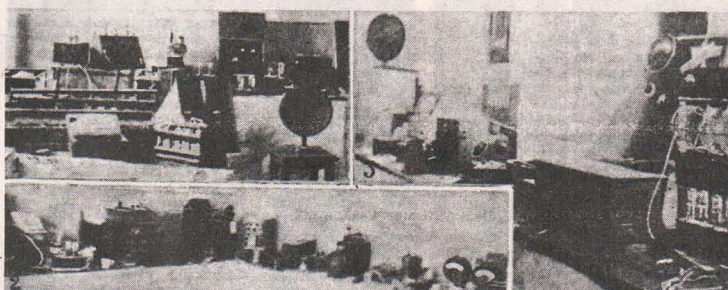
- Леонтий Владимирович Кубаркин 19RA; позже - eu2AL.

- Георгий Григорьевич Гинкин 18RA; позже - eu2AK; лауреат Сталинской премии.

- 7 мая 1946 г. Л.В. Кубаркин и Г.Г. Гинкин одними из первых в СССР были награждены знаком «Почетный радиист».



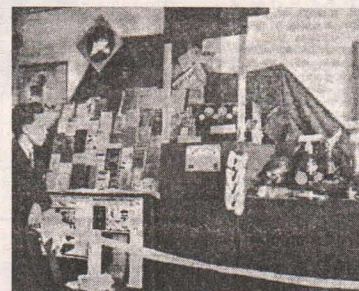
Премированные экспонаты и члены жюри радиовыставки во время конференции, декабрь 1928 г.



Радиовыставка в Хабаровске, 1928 г.



Члены Мотилевской СКВ со своими экспонатами, 1928 г.



Радиовыставка в Свердловске, 1930 г.

1935 г.: Редакция журнала «Радиофронт» проводит первую Всесоюзную заочную радиолюбительскую выставку (ВЗР), в которой приняли участие радиолюбители БССР, РСФСР и УССР. Было допущено 114 экспонатов от 98 участников, изготовленных радиолюбителями тринадцати профсоюзных организаций (в оргкомитет было представлено 172 экспоната от 142-х участников). Первая премия не присуждалась. Вторая премия была присуждена томичу Николаю Хитрову (U9AF; ранее: 69RA, au1AI) за УКВ-



U9AF

передвижку (трансивер), а пятая - ленинградцу Г. Тилло (U1CX; ранее: 07RW, eu3VK; погиб во время ВОВ) за КВ-приемник.

Примечание: Проведение ВЗР становится традиционным...

(Окончание следует)

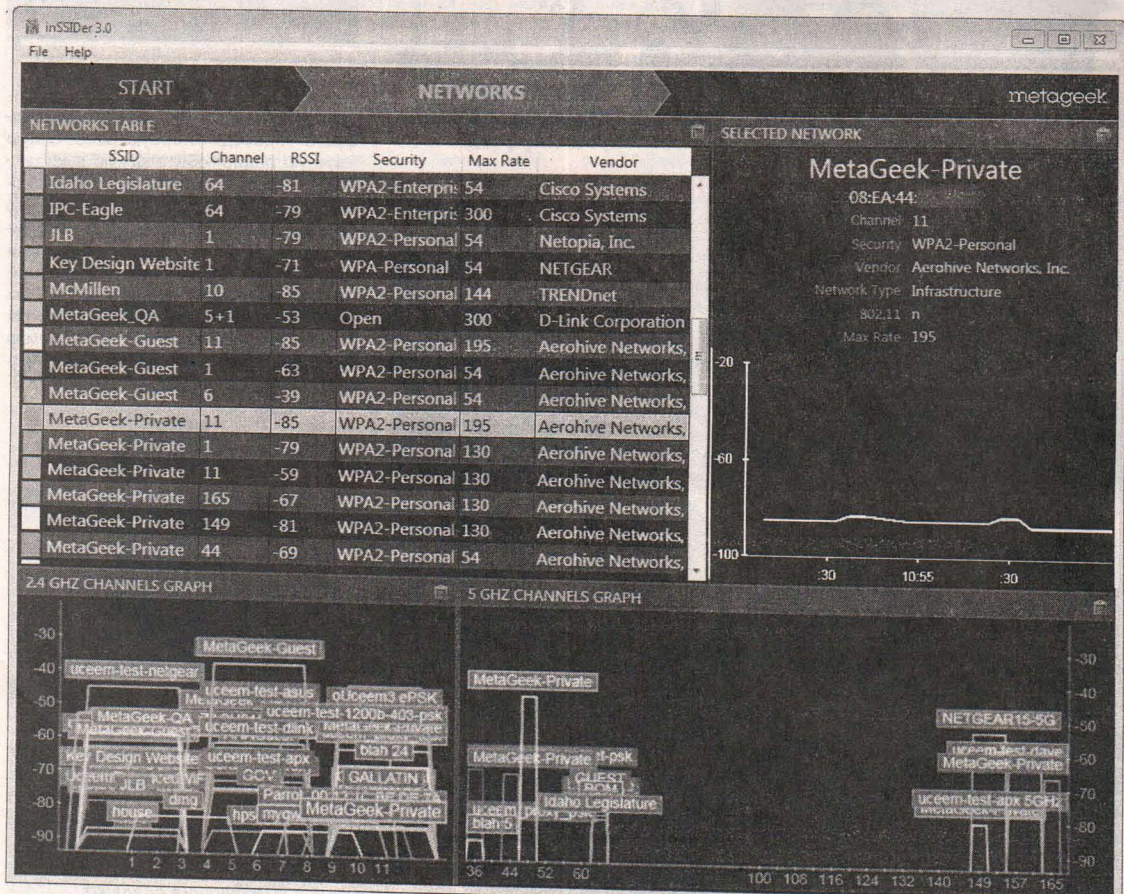
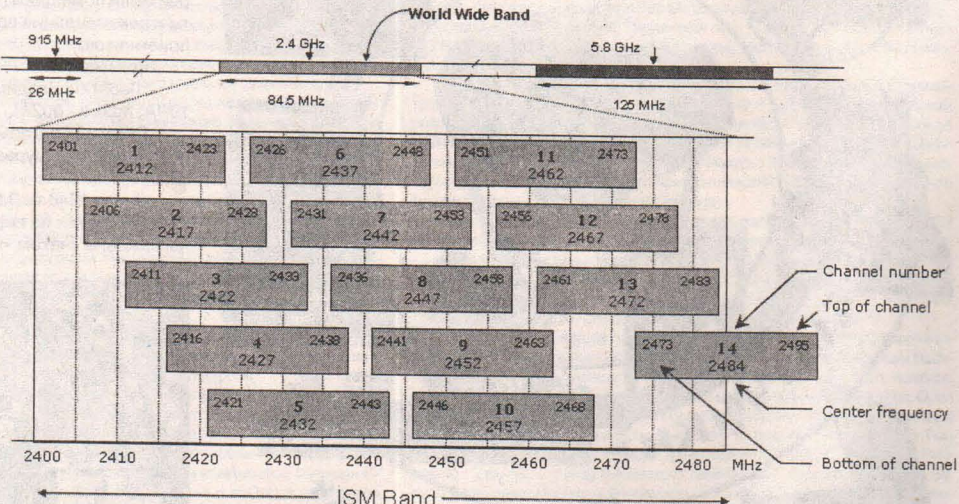
НОВАЯ ТЕХНИКА И ТЕХНОЛОГИЯ

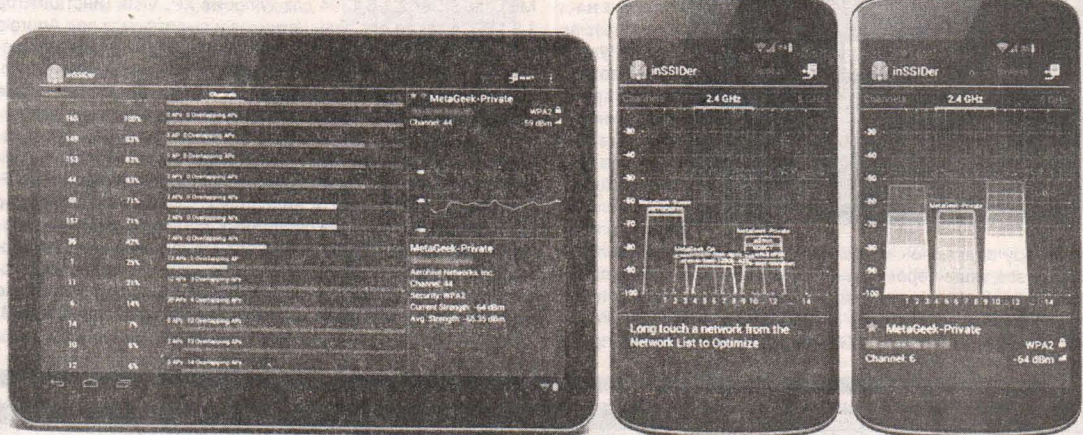


Сегодня, в эпоху расцвета **Wi-Fi маршрутизаторов** (роутеров), когда их количество в среднегородском жилом доме уже превышает число телевизоров, обслуживающие Wi-Fi стандартные Windows-утилиты раздела Сетевые подключения (кстати, не претерпевшие сколь-нибудь существенных изменений за последнее десятилетие от XP-юзерам до 7-ки) выглядят убогим диссонансом. И дело не только в примитивных столбиках относительных уровней сигнала, но и в низкой

затратности отображаемых данных, не позволяющих конкретному пользователю в полной мере оценить свое Wi-Fi-окружение с тем, чтобы оптимально расположить и настроить свой маршрутизатор.

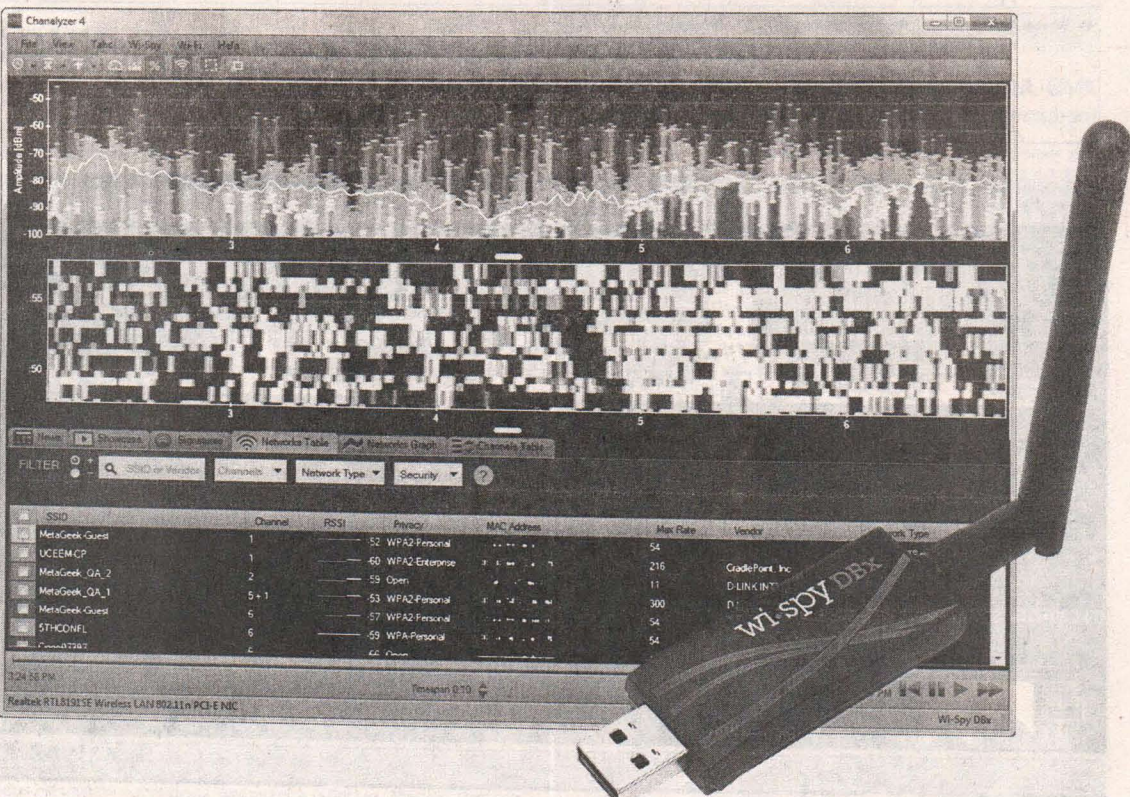
Бесплатная полезнейшая утилита для частотной и пространственной диагностики доступных каналов Wi-Fi и загруженности гигагерцового эфира - **inSSIDer** - разработана компанией **MetaGeek LLC**. Как известно, в диапазоне 2,4 ГГц существует всего три неперекрывающихся стандартных 20-мегагерцовых (а самый скоростной стандарт 802.11n на скорости 300 Мбит использует удвоенную полосу в 40 МГц и перекрывает еще больше каналов) канала Wi-Fi (1, 6 и 11) и поэтому большее число маршрутизаторов (в среднем киевском подъезде жилого дома можно насчитать их до дюжины) начи-



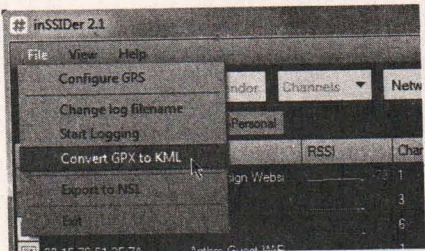


нает мешать друг другу - работоспособность-то сохраняется даже для маршрутизаторов, работающих на одном и том же канале, но вот скорость радиообмена данными сильно страдает (по данным MetaGeek, в неблагоприятных условиях может упасть в 65 раз по сравнению с номинальной). inSSIDer поддерживает оба Wi-Fi диапазона, 2,4 ГГц и 5 ГГц и не только отображает разноцветной таблицей список всех обнаруженных сетей Wi-Fi с их ключевыми характеристиками, включая имя (SSID), MAC-адрес, используемые каналы, силу сигнала (RSSI), максимальную поддерживаемую скорость, степень защищенности или открытость, производителя точки доступа, но даже время обнаружения и исчезновения сигнала отдельного маршрутизатора. Возможно отключение лишних столбцов и фильтрация по ключевым параметрам, - выбранная в списке Wi-Fi сеть будет подсвеченa. Надо отдать должное разработ-

чикам программы - в отдельных больших окнах 2.4 GHz Channels и 5 GHz Channels в виде условных графических спектроанализаторов наглядно представлены как занимаемые каждой сетью каналы (причем для самого узкополосного варианта Wi-Fi 802.11b верхушки спектрограмм плавные, для всех более скоростных - плоские с шириной 20 МГц, а для полноскоростного 300 Мбитного 802.11n - 40 МГц) и их взаимное перекрытие, так их уровни, а также степень защищенности (открытые - в виде пунктирной линии, защищенные легко взламываемым WEP-шифрованием - штриховой, а хорошо защищенные WPA-шифрованием - сплошной линией). В отдельном окне Time Graph отображаются зависимости уровней всех наблюдавшихся сетей от времени: эта функция позволяет перенести ноутбук в другое место, посмотрев в inSSIDer, где «чище воздуха» (в какой комнате вам лучше разместить свой маршрутизатор).



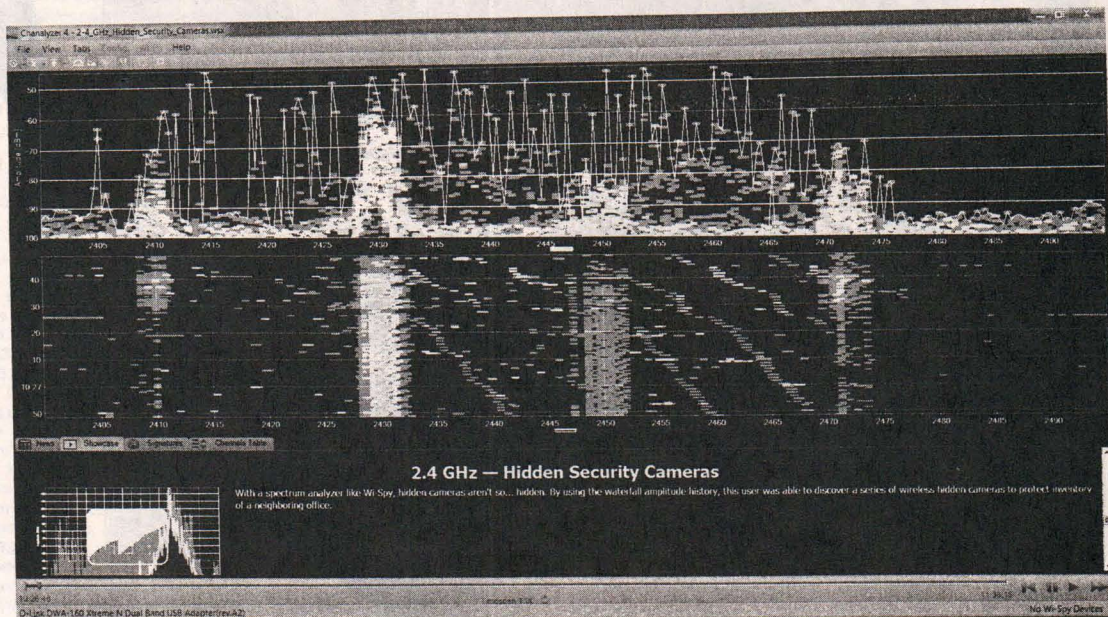
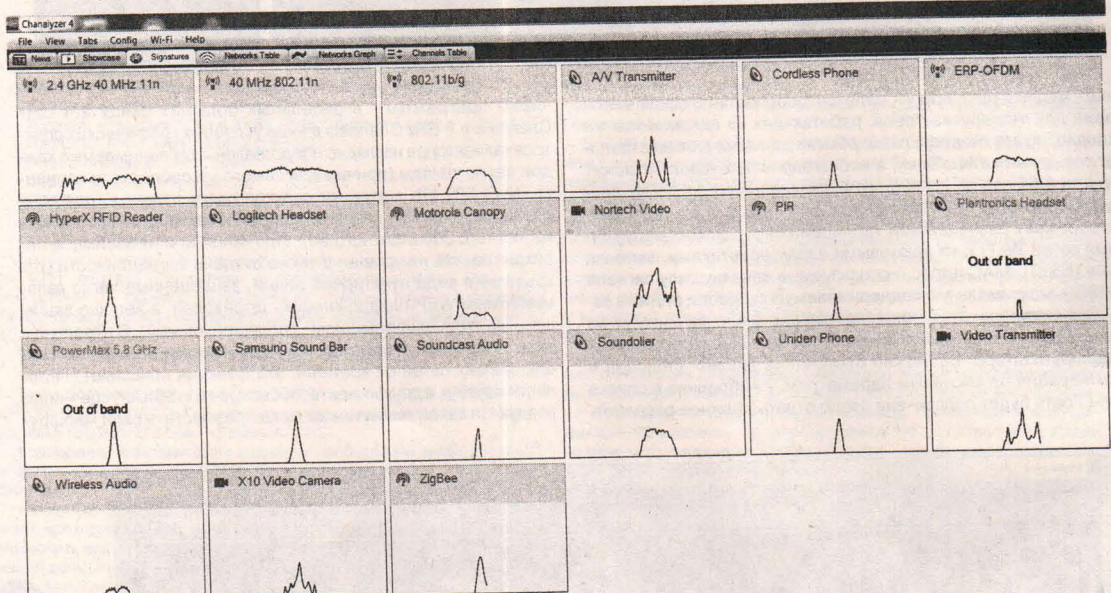
НОВАЯ ТЕХНИКА И ТЕХНОЛОГИЯ



тизатор, и на какой канал его настроить), а также увидеть, кто работает круглосуточно, а кто устраивает перерывы. Наконец, если к в а ш е м у

компьютеру подключен модуль GPS, то inSSIDer позволяет записать все ваши перемещения и привязать их к географическим координатам с тем, чтобы в дальнейшем экспортировать эти данные в KML-файл и отобразить найденные Wi-Fi точки на картах Гугл или в Google Earth. По адресу <http://www.metageek.net/support/downloads/>

можно скачать свежие версии inSSIDer 3.0.6.42 для Windows 7, 8 (инсталлятор 6,6 МБ), inSSIDer 2.1.6.1394 для Windows XP, Vista (инсталлятор 1,8 МБ), а также для планшетников и смартфонов под Android и OSX. inSSIDer распространяется только в виде инсталлятора, портативного («портабельного», или не требующего инсталляции) варианта нет. Но если потом скопировать содержимое программной директории на какой-нибудь носитель (например, на флэшку), все прекрасно работает и с него – проверено. В связи с тем, что inSSIDer работает со стандартными Wi-Fi-адаптерами, он, естественно, обнаруживает только Wi-Fi устройства. Между тем, в диапазоне 2,4 ГГц полно полноценных устройств, также способных создавать взаимные помехи – Bluetooth, ZigBee, микроволновые печки, системы домашней автоматики и безопасности и др. Для всеобъемлющего обзора радиооборудования MetaGeek LLC предлагает, но на этот раз уже не бесплатно, комплект из специального USB-адаптера **Wi-Spy** и программного сканера-спектроанализатора



НОВАЯ ТЕХНИКА И ТЕХНОЛОГИЯ

ра Chanalyzer (скриншот см. снизу на с. 7). Разные модели Wi-Spy стоят от 200\$ до 2000\$ и в максимальном варианте охватывают диапазоны 862...928 МГц, 2,4...2,495 ГГц и 5,150...5,850 ГГц при динамическом диапазоне входных сигналов от -105 до -6,5 дБм, разрешающей способности по уровню 0,5 дБ и по частоте 53..812 кГц. Кроме функций, упомянутых для inSSIDer, программа Chanalyzer позволяет выводить настоящие (а не условные) спектрограммы окружающего вас радиоэфира, причем как в привычном виде линейного графика, так и в виде цветной спектрограммы, «водопада» и даже в 3-мерном изображении. Пробная версия Chanalyzer 4 ограничена функциональностью, но возможность работы не обязательно с Wi-Spy, а с некоторыми обычными Wi-Fi адаптерами доступна по адресу <http://www.metageek.net/support/downloads/> или прямой ссылке <http://files.metageek.net/downloads/Chanalyzer-4-Installer.msi> (30,46 МБ).

Вслед за Яндексом, своим собственным браузером решил обзавестись еще один российский мегапортал Mail.ru. Как и Яндекс-браузер (см.

гих пользователей. Вы также можете оставить тут и свой комментарий по посещенному сайту. Обозреватели считают сервис WOT хорошим дополнением (но, конечно, не заменой) антивирусных программ. По адресу <http://www.mywot.com/en/download> можно бесплатно загрузить WOT-дополнения и для других браузеров - Google Chrome, Firefox, Internet Explorer, Safari, Opera. А собственно Mail.ru-браузер можно загрузить по адресу <http://internet.mail.ru/InternetInstaller.exe> - размер файла инсталлятора 26 МБ.

В России и СНГ обнаружена массовая вредоносная спам-рассылка через Skype - «Скайпмагеддон», связанная с формированием злоумышленниками сети зараженных компьютеров. 23 мая 2013 г

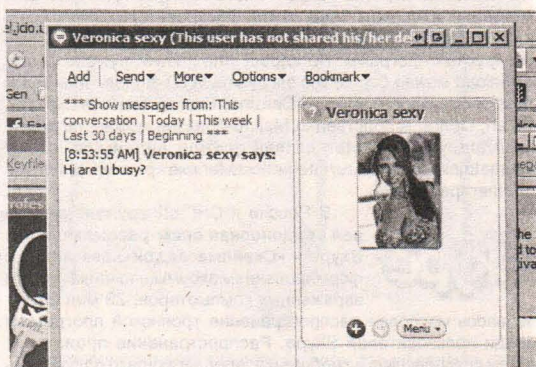
началось массовое распространение троянской программы среди пользователей Skype. Распространение происходит путем спам-рассылки сообщения, предлагающего получившему его пользователю перейти по ссылке и посмотреть на фотографию в Facebook. Переход по ссылке приводит к загрузке

The screenshot shows the Mail.Ru browser interface. At the top, there's a search bar with placeholder text: 'Поиск в Интернете прямо в адресной строке! Введите свой запрос'. Below it, the Mail.Ru logo is displayed. The main content area features a large banner for 'Интернет' (Internet) and 'Новый безопасный браузер' (New safe browser), which is based on Chromium. It includes a 'Скачать бесплатно' (Download for free) button and a note about protection against malicious sites. A 'WOT' logo is visible. To the right, there's a preview window showing the browser's interface with various tabs and a sidebar. Below the main content, there are several icons representing different browser features: 'Быстрый поиск' (Fast search), 'Доступ к почте' (Email access), 'Надежная защита' (Reliable protection), 'Молниеносный интернет' (Lightning-fast internet), and 'Простой интерфейс' (Simple interface).

«РХ» №5/2012, с. 4), он основан на открытом исходном коде Chromium (к моменту выхода этого номера «РХ» - в версии 17.0.963.47) и отличается встроенным сервисами @Mail.ru - быстрым («в один клик поikonке») доступом к почтовому ящику, аккаунту в «одноклассниках» и др., а также сервисом Web of Trust - WOT - бесплатным инструментом для безопасного веб-серфинга на основе мнений миллионов членов интернет сообщества. **WOT показывает, каким сайтам можно доверять**, согласно опыту других пользователей, и тем самым может защитить вас от попыток мошенничества, фишинга и неудачного опыта онлайн-покупок (отметим, что антивирусные дополнения к браузерам такими функциями обычно не обладают). **Индикаторы репутации** - небольшие «колечки» зеленого (для безопасных), желтого или красного цвета (для опасных сайтов) в правом верхнем углу браузера видны в результатах популярных поисковых систем, в социальных сетях, электронных письмах, скрещенных ссылках и на многих других популярных сайтах. Если кликнуть на колечко, то в открывшемся оконце появится подробная оценочная карта посещаемого сайта, в которой отдельные оценки получают такие характеристики, как «заслуживает доверие», «надежность продавца», «конфиденциальность», «безопасность для детей», а также приводятся комментарии дру-

The screenshot shows the WOT extension interface. It displays a warning message: 'Внимание!' (Attention!) above the URL 'pokazuh.ru'. It states that the site has a bad reputation. Below this, there are four sections with sliders: 'Посмотреть оценки и комментарии' (View reviews and comments), 'Заслуживает доверия' (Deserves trust), 'Надежность продавца' (Seller reliability), and 'Безопасность для детей' (Child safety). Each section has a 'Хорошо' (Good) slider at the top and a 'Плохо' (Bad) slider at the bottom. There are also two checkboxes: 'Узнать, что такое WOT?' (Learn what WOT is?) and 'Отключить предупреждения' (Disable notifications). At the bottom, there are 'OK, понятно' (OK, understood) and 'Назад' (Back) buttons.

НОВАЯ ТЕХНИКА И ТЕХНОЛОГИЯ



с файлообменных сервисов 4shared.com или dropbox.com архива facebook_profile.zip, содержащего вредоносную исполняемую программу под именем profile-facebook_23052013_img.exe. Типичная фраза, сопровождающая вредоносную ссылку, выглядит как «это очень хорошая фотография виа <http://bit.ly/10UCanc?id=XXX>», где XXX - Skype-логин получателя. Сообщения с вредоносной ссылкой поступают от пользователей, состоящих в контакт-листе получателя. В CNews первые сообщения от пользователей, получивших подозрительные сообщения, поступили около 12 часов дня 23 мая. «Лаборатория Касперского» заявила, что начало атаки пришлось примерно на 11:00 того же дня. По данным антивирусного эксперта «Лаборатории Касперского» Дмитрия Тараканова, в архиве спам-рассылки распространяется вредоносная программа Backdoor.Win32.CPD.phy. К 15 часам 23 мая специалисты «Лаборатории Касперского» обнаружили около 30 разновидностей этого бэкдора и зафиксировали около 1700 его атак более чем в 70 странах мира. Такое число инцидентов позволяет назвать атаку широкомасштабной. Распространяется вредоносная программа

Backdoor.Win32.CPD.phy. К 15 часам 23 мая специалисты «Лаборатории Касперского» обнаружили около 30 разновидностей этого бэкдора и зафиксировали около 1700 его атак более чем в 70 странах мира. Такое число инцидентов позволяет назвать атаку широкомасштабной. Распространяется вредоносная программа



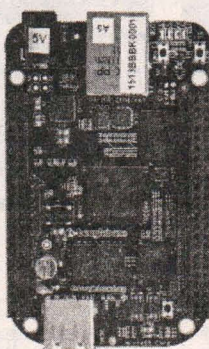
Image Name	User Name	CPU	Mem Usage
blo:bpsotarxmw...		99	4,748 K
taskmgr.exe		00	3,992 K
SbieCtrl.exe		00	5,200 K
jusched.exe		00	2,196 K
VBoxTray.exe		00	3,060 K
wscnify.exe		00	1,828 K
Oldkjxyxzwvjbty...		00	4,736 K

страняемый в ходе атаки бэкдор служит для загрузки на зараженный компьютер другого трояна - Trojan.Win32.Yakes.csli. Он, в свою очередь, служит для рассылки вредоносных ссылок по контакт-листам мессенджеров Skype, Windows Messenger, QIP, Google Talk и Digsby. Таким образом, атака преследует цель создания сети зараженных компьютеров, которая впоследствии может быть использована ее авторами. Интересен ареал распространения атаки. По данным «Лаборатории Касперского» (<http://blog.kaspersky.com/skype-trojan-steals-scri-power/>), более половины атакованных описанной спам-рассылкой компьютеров приходится на Россию, и около 80% на страны СНГ, кроме того, нападение подверглись Италия, Китай, Коста Рика и Болгария (http://www.cnews.ru/top/2013/05/23/rossiya_podvergla_massovoy_virusnoy_atake_cherez_skype_52977).

Специалисты по ИТ-безопасности из Технологического института штата Джорджия (США) разработали образец **вредоносного зарядного USB-устройства Mactans**, которое **менее чем за минуту** заражает iPhone, iPad, либо другие устройства на OC iOS, причем вирус на пораженном аппарате не детектируется (<http://gizmodo.com/your-iphone-can-be-hacked-with-a-modified-charger-510988017>). Образец Mactans будет представлен на конференции Black Hat 2013



(<http://www.blackhat.com/us-13/briefings.html#Lau>), которая пройдет в июле 2013 г. Исследователи сообщили о найденной уязвимости в компании Apple, но поскольку ученые отказались сообщать подробности о ней до конференции, компания до сих пор не закрыла эту «дыру» в защите. По имеющимся данным, уязвимость присутствует во всех устройствах последнего поколения, работающих на iOS 6, для заражения любого аппарата достаточно подключить к нему блок для зарядки



Mactans. Фактически вредоносное зарядное устройство представляет собой Texas Instruments BeagleBoard, - процессор ARM с пакетом коннекторов, аналогичный Raspberry Pi. Исследователи построили на его основе Mactans и фактически, подключаясь к нему через USB, мобильный аппарат подключается к мини-компьютеру, вероятнее всего на OC Linux. Процесс установки вредоноса запускается сразу после подключения, причем незаметно для пользователя, по аналогии с тем, как Apple запускает собственное встроенное ПО ([http://ko.com.ua/hakery_vzломали_iphone_menee_chem_za_minutu_s_pomoshhyu_zaryadnogo_ustrojstva_77123](http://ko.com.ua/hakery_vzломali_iphone_menee_chem_za_minutu_s_pomoshhyu_zaryadnogo_ustrojstva_77123)).

Специалисты созданной

чуть больше года назад шведской компании Thingsquare предложили **Thingsquare Code** - первую в мире онлайн интерактивную среду разработки (online Interactive Development Environment - IDE) для т.н. «**интернет-вещей**» (Internet of Things). Под интернет-вещами понимаются осветительные лампы, терmostаты-кондиционеры, микроволновые печи, двери гаражей и т.п. устройства «умного дома» и «умной улицы» (например, системы уличного/паркового освещения), снажен-



ными беспроводными контроллерами, управляемыми через интернет от смартфона, ПК и т.п. Thingsquare Code сегодня работает с такими контроллерами, как Texas Instruments CC2538 (архитектура ARM Cortex M3, диапазон 2,4 ГГц), MSP430F5438 (архитектура MSP430x, трансивер CC1120 субгигагерцевого диапазона) и ST Microelectronics STM32W (ARM Cortex M3, диапазон 2,4 ГГц), STM32L (ARM Cortex M3 и субгигагерцовыми SPIRIT1) и др. Кроме собственно микроконтроллеров, описанные чипы содержат радиотрансиверы, поддерживающие обмен данными с соответствующими маршрутизаторами (Redwire TH12/Red-io) по протоколу IPv6 с шифрованием

НОВАЯ ТЕХНИКА И ТЕХНОЛОГИЯ

The screenshot shows the Thingsquare Code IDE interface. On the left, there's a code editor with C code for a 'blink' application. The code includes imports, a process definition, and a main loop with a timer and LED control. On the right, a device status window for a 'Kitchen sink' device is open, showing its ID (5678), app version, firmware version, ping time, CPU load, and radio usage. Below the status window, a message box displays a log entry for 'Uploading blink.c' with a timestamp of 'less than a minute ago'. It also shows a 'Compiled blink.c - undefined' message and a 'Device online' status with a timestamp of '35 minutes ago'.

```
1 #include "mist.h"
2
3 PROCESS(blinka_process, "Blink");
4 AUTOSTART_PROCESSES(&blinka_process);
5
6 PROCESS_THREAD(blinka_process, ev, data)
7 {
8     static struct etimer et;
9
10    PROCESS_EXITHANDLER(goto exit);
11    PROCESS_BEGIN();
12
13    io_printf("Started program");
14
15    etimer_set(&et, CLOCK_SECOND * 2);
16    while(1) {
17        PROCESS_WAIT_EVENT_UNTIL(etimer_expired(&et));
18        etimer_reset(&et);
19        leds_on(LED_ALL);
20
21        PROCESS_WAIT_EVENT_UNTIL(etimer_expired(&et));
22        etimer_reset(&et);
23        leds_off(LED_ALL);
24    }
25
26 exit:
27     leds_off(LED_ALL);
28     PROCESS_END();
```

AES128. Чтобы запрограммировать эти контроллеры посредством IDE Thingsquare Code, не потребуются ни компилятор, ни программатор, ни даже разъем. Достаточно через обычный браузер зайти на сайт <http://thingsquare.com/code/> и либо сначала просмотреть видеодемонстрацию, либо после регистрации запросить доступ к бета-версии Thingsquare Code. Среда разработки, отображаемая в браузере, слева содержит поле ввода программного кода на языке С. Вы можете туда вписать свой код «с нуля» или воспользоваться готовыми шаблонами из меню «Examples». После ввода программного кода и исправления возможных синтаксических ошибок (они выявляются автоматически и выделяются инверсной подсветкой) достаточно нажать иконку Compile, чтобы Thingsquare Code отправила его в свой «облачный» компилятор (на удаленный интернет-сервер). После успешного завершения компиляции внизу под иконками появится сообщение Compiled (при ошибках компиляции выводится соответствующее предупреждение в поле программного кода) и вы можете нажатием иконки Upload «прошивить» ваш контроллер (конечно, если он в этот момент ужеключен и расположен в зоне охвата маршрутизатора, имеющего связь с интернетом). Иконка Reboot позволяет перезагрузить микроконтроллер после прошивки, а ▶ и ■ - соответственно запустить или остановить исполнение программного кода. Как программный код, так и результат компиляции вместе с историей ваших действий для данного проекта хранятся в вашей ячейке облачного депозитария, поэтому вы имеете возможность вызвать и модифицировать их с любого ПК, подключенного к интернету (разумеется, после ввода вашего пароля и логина, заданных при регистрации).

В эволюции сотовых телефонов недавно появилось два новых «китайских» направления - «бабушкофоны» и «танкофоны», чути ли не противоположных евро-корейскому движению к бескнопочным сверхтонким и гиперфункциональным смартфонам. Нацеленность бабушкофонов на пользователей пожилого возраста означает не только старый-добрый внешний вид с привычными кнопками увеличенного размера, дисплеем с большими буквами и динамиком повышенной громкости, но и наличие специальной большой красной кнопки SOS, жатие которой обеспечивает экстренную связь с заданным номером и/или передачу тревожной smsки (до 31 знаков) на один или сразу несколько (обычно до пяти) заданных номеров. Стандартом такого рода мобильных телефонов является также увеличенное время работы между подзарядками. Правда, по мнению обозревателей, изготовители бабушкофонов

(чаще всего - малоизвестные китайские фирмы) нередко пытаются «впарить» доверчивым пенсионерам явно нереальные характеристики. Например, в описании и рекламе бабушкофона **MUphone 7700** (<http://halava.com.ua/10452/s=2328>) утверждается, что он снабжен литий-ионным аккумулятором Li-ion BP-11L емкостью 6800 мА·ч, который обеспечивает работу в режиме ожидания до трех месяцев (2160 часов), а в режиме разговора - более двух дней (52 часа). Более того, на 17-й секунде видеоролика на Ютубе (<http://www.youtube.com/>



НОВАЯ ТЕХНИКА И ТЕХНОЛОГИЯ

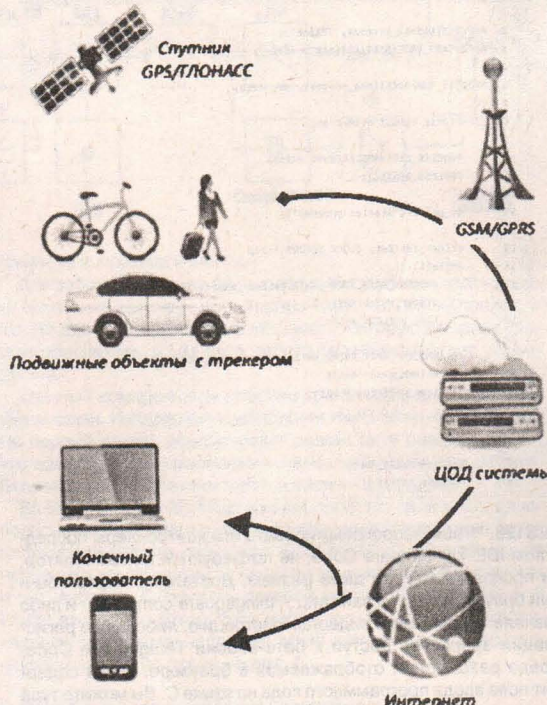


раза меньше объявленной для BP-11L. От себя заметим, что аккумуляторы емкостью 6800 мА·ч характерны для таких устройств, как ноутбуки, и имеют объем и массу (да и цену) чуть ли не на порядок больше, чем у типичных мобильников. Но оставим цифру 6800 на совести хитрых китайских маркетологов, ведь известно, что «Восток - дело тонкое». В остальном MUpone 7700, предлагаемый в Украине по цене менее 400 грн (50\$), вполне конкурентоспособен с младшими моделями корейско-европейских брендов, особенно, если учесть, что в комплект поставки входит 7-светодиодный съемный фонарик, пристегиваемый в случае необходимости к разъему в нижней части телефона. MUpone 7700 работает в стандартах GSM850/900/1800/1900 МГц, поддерживает 2 активных SIM-карты, оснащен 1,3 Мп КМОП камерой, FM-радио, Bluetooth, имеет габариты 116x53x16 мм и вес 120 г. Наиболее функциональные бабушкины дополнительны оснащают модулями персонального трекера. Например, Senseit S7 (<http://senseit.ru/products/phones-and-smartphones/senseit-s7.html>) - это симбиоз удобного мобильного телефона и персонального трекера. Он идеально подойдет вашим старшим родственникам для комфортного общения, а вам - для определения их местоположения в случае необходимости. Как телефон, Senseit S7 прост в использовании и не обременен лишними функциями. Большие кнопки и цветной дисплей делают его приемлемым для использования без очков. Как персональный трекер, он обеспечит вам мониторинг перемещения ваших близких, а также контроль их входа и выхода из заданной геозоны (при этом им не придется носить с собой два устройства). Для дополнительного комфорта и безопасности Senseit S7 снабжен кнопкой SOS, при нажатии которой происходит вызов заданных

 SENSEIT

абонентов или отправка SMS на указанные номера. Всем владельцам Senseit S7 предоставляется право бесплатного использования поддерживающей трекер системы мониторинга MobiTrack (<http://senseit.ru/support/mobitrack/>) в течение года. Принцип мониторинга осно-

MobiTrack



ван на том, что данные от встроенного в телефон модуля спутниковой навигации GPS/ГЛОНАСС через GSM/GPRS-канал непрерывно передаются на интернет-сервер MobiTrack.ru, при подключении к которому вы можете в режиме онлайн проследить путь следования вашего престарелого родственника (или

Построение пути за период времени



● Начало трека

● Стоянка (в случае стоянки более 20 минут)

● Конец трека

● Место сработки кнопки SOS

НОВАЯ ТЕХНИКА И ТЕХНОЛОГИЯ

ребенка), а в случае нажатия им кнопки SOS, выхода за предварительно обозначенную геозону или разряда аккумулятора - получить уведомление о времени и месте этих событий на ваш email в течение 1...2 минут (для бесплатного тарифного плана MobiTrack) или дополнительно почти мгновенно посредством smski (для платного тарифного плана). При ежедневном использовании трекера Senseit S7 с максимальной частотой оповещения для передачи данных расходуется примерно 15...17 МБ интернет-трафика в месяц. Кстати, для мониторинга MobiTrack в качестве трекера можно использовать практически любой смартфон (под Android, iOS, Windows Mobile), если установить в него мобильное приложение MobiTrack. Размеры Senseit S7 119x53x15 мм, вес 97 г, цена в Украине - около 1600 грн (200\$; <http://senseit.ru/products/phones-and-smartphones/senseit-s7.html>). На примере следующей модели Senseit P8 (телефоны Senseit производят на фабрике Шэнчжэнь Конкокс Информэйшн Технологжи Ко., LTD, Китай) плавно перейдем от «бабушкофонов» к мегапрочным «танкофонам». Интересной особенностью Senseit P8 является совмещение в одном корпусе как мобильного телефона, так и радиостанции типа «Уоки-Токи» (работает в диапазоне PMR446 - 446 МГц, передатчик мощностью 0,5 Вт обеспечивает связь с аналогичными Уоки-Токами на расстоянии до нескольких километров в условиях прямой видимости), а также барометра, высотомера, шагомера и фонаря.

Понятна целенность P8 на туристов, походы которых проложены через зоны, в которых отсутствует покрытие операторов сотовой связи. Нелишним будет небольшой предварительный ликбез: международный знак защиты IPxx - маркировка степени защиты корпусов радиоэлектрооборудования, где



первая цифра означает уровень защиты от попадания твердых предметов, а вторая - от попадания воды. Вот их перечень:

- IP 0x, IP x0 - нет защиты,
- IP 1x защита от проникновения предметов > 52,5 мм,
- IP x1 - защита от вертикально падающих капель воды,
- IP 2x - защита от проникновения предметов > 12,5 мм,
- IP x2 защита от падающих капель воды с углом отклонения до 15 градусов,
- IP 3x защита от проникновения предметов > 2,5 мм,
- IP x3 защита от падающих капель воды с углом отклонения до 60 градусов,
- IP 4x защита от проникновения предметов > 1 мм,
- IP x4 - защита от водяных брызг в любом направлении,
- IP 5x - частичная защита от пыли (не проникает в количестве, мешающем работе устройства),
- IP x5 - защита от водяных струй в любом направлении,
- IP 6x - полная защита от пыли (пыленепроницаемость),
- IP x6 - защита от водяных потоков или сильных струй,
- IP x7 - защита при частичном (или кратковременном) погружении в воду,
- IP x8 - защита при полном (или длительном) погружении в воду. Так вот, степень защиты Senseit P8 соответствует уровню IP56, а значит, ваш телефон будет работать даже в условиях пыльной бури и попадания под струи воды от водопада. В

комплект Senseit P8 входят две аккумуляторные батареи, что обеспечит работу телефона в условиях отсутствия возможности подзарядить аппарат. Поддержка работы двух SIM-карт обеспечивает комфортный уровень общения через разных операторов GSM 800/900/1800/1900 МГц, встроенные барометр, компас, шагомер и высотомер могут оказать существенную поддержку в ориентации любителям активного образа жизни. Телефон оснащен 2-мегапиксельной камерой со вспышкой и возможностью записи видео, FM-радио, Bluetooth, аккумулятором емкостью 2000 мА·ч, имеет габариты 132x68x20 мм, вес 180 г, цену около 2000 грн (250\$). Предельно высокой степенью защиты IP68 обладает корпус мобильного телефона на Senseit P7. Он абсолютно непроницаем для пыли, грязи и воды - согласно руководству по применению гарантированно продолжает работать даже при погружении на глубину более метра и не боится падений с двухметровой высоты. Очень впечатляют видеоролики краш-тестов, которые можно посмотреть здесь - <http://senseit.ru/challenge/>. Удивительно, но Senseit P7 продолжает работать после попадания в него свинцовых пуль пневматической винтовки с расстояния около метра, после проезда прямо по нему колесами легкового автомобиля, не говоря уже о заливке лимонадом, апельсиновым соком, сладким чаем, пивом, подсолнечным маслом или замораживании в сплошном куске льда с последующей очисткой/



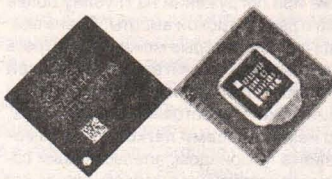
разбивкой льда довольно массивным молотком. Его цена 1600 грн (200\$), размеры 120x54x24,5 мм, вес 174 г. Кроме сверхзащищенности, выдающейся для Senseit P7 является время работы в режиме ожидания до 730 часов и в режиме разговора до 13 часов, обеспеченное сравнительно крупногабаритным литий-полимерным аккумулятором емкостью 3600 мА·ч (<http://senseit.ru/products/phones-and-smartphones/senseit-p7.html>).

Процентное соотношение между выпуском традиционных ПК + ноутбуков с одной стороны и смартфонов + планшетников - с другой в последние несколько лет существенно смешилось в сторону гаджетов, и гигант Intel, являющийся бесспорным лидером полупроводниковой промышленности уже 21 год (16,4% мирового производства чипов в 2012-м году - <http://www.xard.ru/post/23583/>), представил микроархитектуру новейшего 64-разрядного процессорного ядра Silvermont, сочетающую низкое энергопотребление и высокую производительность (http://newsroom.intel.com/community/intel_newsroom/blog/2013/05/06/intel-launches-low-power-high-performance-silvermont-microarchitecture), т.е. ориентированную на рынок от смартфонов до микросерверов, где сегодня наиболее распространены процессоры-конкуренты на ядре ARM Cortex. Silvermont



НОВАЯ ТЕХНИКА И ТЕХНОЛОГИЯ

будут выпускаться по нормам 22 нм с использованием технологии «трехмерных» транзисторов Tri-Gate (см. «РХ» №3/2011, с. 7, 8). По оценке Intel, Silvermont имеет лучший в отрасли показатель производительности в расчете на единицу потребляемой мощности. Как утверждается, процессоры, построенные на базе Silvermont, по пиковой производительности превзойдут процессоры на ядре Intel Atom текущего поколения вдвое или обеспечат ту же производительность, потребляя в пять раз меньше энергии. Повысить производительность процессора, в частности, позволила поддержка 64-разрядных расширенных инструкций IA Westmere level, внеочередного исполнения команд и новое внутреннее соединение, позволяющее объединить до восьми ядер. Кроме того, расширен набор команд и улучшено управление питанием (технология Intel



Burst Technology 2.0). Микроархитектура Silvermont найдет применение в четырехъядерных однокристальных системах Intel Bay Trail, предназначенных для планшетов. Варианты Intel Bay Trail также

послужат основой ноутбуков начального уровня и настольных ПК «инновационных форм-факторов». На Silvermont будет построена мобильная платформа Intel Merrifield и платформа для микро-серверов Intel Avoton. Продукты на базе Intel Merrifield и Intel Avoton должны появиться на рынке во втором полугодии. Что же касается рекламного баннера, в котором утверждается, что двухъядерные Silvermont в среднем в 1,6 раз производительнее или в 2,4 раза экономичнее «4-ядерных конкурентов», то независимые обозреватели уличили Intel в замаскированном лукавстве, ведь под «4-ядерными конкурентами» подразумеваются 32-разрядные процессоры на ядре ARM Cortex A15, уже выпускаемые с 2012-го года, в то время как Silvermont лишь готовятся к производству (<http://compare-processors.com/intel-silvermont-vs-arm-cortex-a57/7151/>). Если учесть, что ARM уже анонсировала ядро Cortex A57, осно-

ванное на восьмом поколении архитектуры ARM (64-битный набор инструкций ARMv8) и нацеленное на рынок мощных смартфонов, планшетов, гибридных мобильных продуктов и, конечно, на применение в секторе высокоплотных мини серверов, то преимущество Intel Silvermont относительно конкурентов, находящихся на одинаковых стадиях разработки внедрения, уже не так очевидно: ARM обещает устроенную по отношению к современным ядрам Cortex A15 производительность в 32-битном режиме и 5-кратное превосходство по энергоэффективности (т.е. примерно вдвое лучше, чем у Intel Silvermont). Масштабируемость Cortex A57

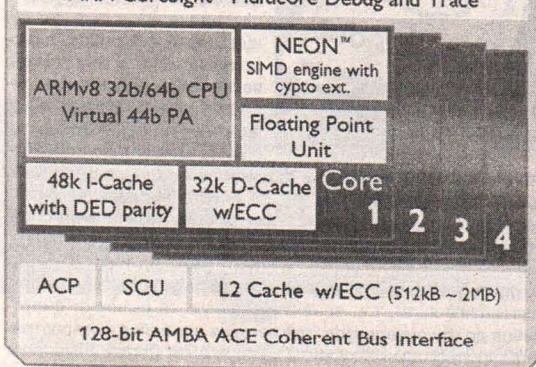
Cortex

Low-Power Leadership from ARM

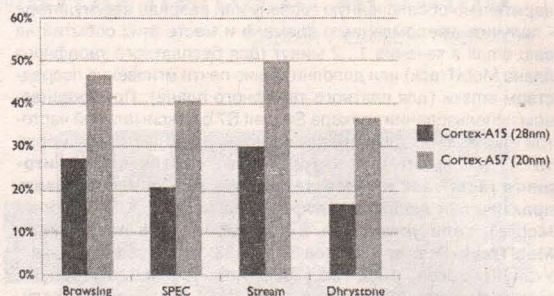


Cortex™-A57

ARM CoreSight™ Multicore Debug and Trace



Performance Improvement vs. Cortex-A15 (28nm)



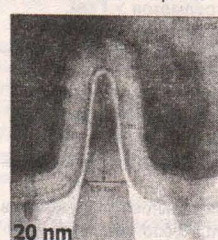
позволяет создавать кристаллы с 16 и более ядрами. В пресс-релизе (<http://www.arm.com/products/processors/cortex-a50/cortex-a57-processor.php>) компания указывает на то, что при производительности старых ПК, ядро Cortex-A57 имеет энергопотребление мобильных устройств. Основные особенности Cortex-A57: поддержка исполнения команд с изменением последовательности; ядро ARMv8 с поддержкой 32- и 64-битных расчётов; 44-битная виртуальная адресация памяти; поддержка до 16 ТБ ОЗУ (от LPDDR3 до DDR4); 48 КБ кеш-памяти L1 для инструкций и 32 КБ кеш-памяти L1 для данных; мультимодульный SIMD-движок NEON; математический сопроцессор; от 128 КБ до 2 МБ кеш-памяти L2 (с поддержкой ECC); 128-бит CoreLink Interconnect (CCI-400 и CCN-504). ARM сообщила

имена шести компаний, которые будут использовать ядра Cortex A57 в своих чипах: это AMD, Broadcom, Calxeda, HiSilicon/Huawei, Samsung Electronics и STMicroelectronics. Таким образом, как минимум можно ожидать новых мобильных чипов с ядрами Cortex A57 и графикой Mali T600 от Huawei и Samsung. Производство Cortex A57 будет осуществляться

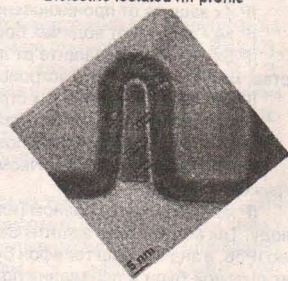
по 16-нм технологии FinFET (3-мерные транзисторы, аналогичные Tri-Gate) тайваньской компании TSMC (<http://www.tsmc.com/tsmcdotcom/PRListingNewsAction.do?action=detail&language=E&newsid=7681>). Наконец, третий «китом» среди производителей процессоров для гаджетов следующего поколения стремится стать консорциум IBM и Cadence. Эти компании на конференции TechCon 2012 продемонстрировали тестовый чип ARMv8 на базе 14-нм техпроцесса с применением FinFET транзисторов

IBM

Junction-isolated fin profile



Dielectric-isolated fin profile



НОВАЯ ТЕХНИКА И ТЕХНОЛОГИЯ

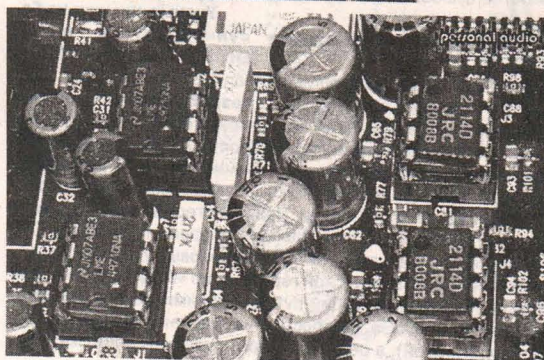
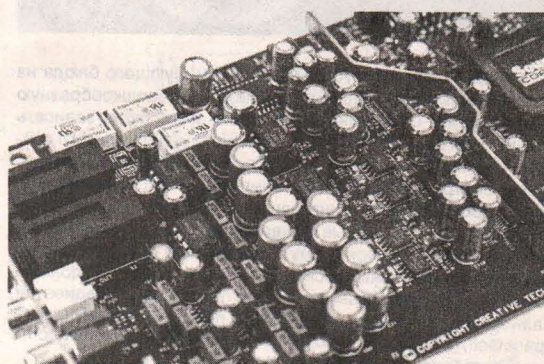
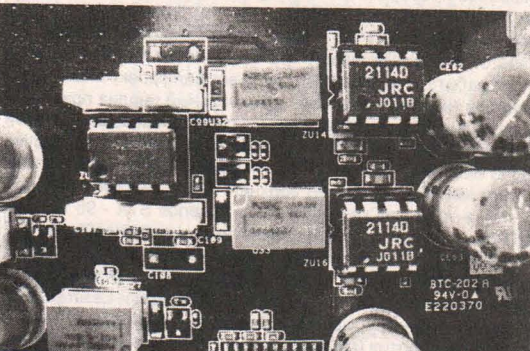
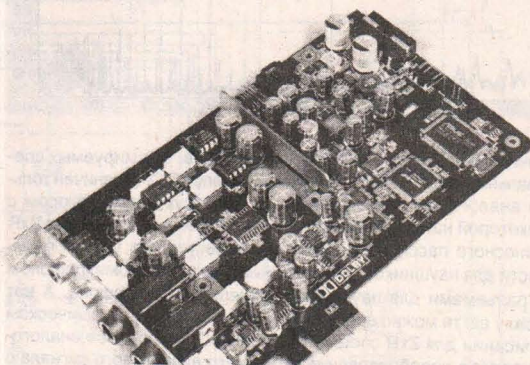
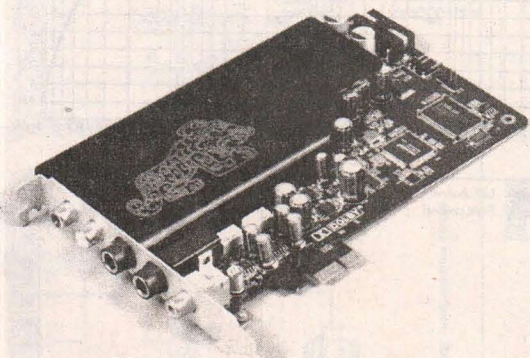
вместе с транзисторами типа FD-SOI (следующее поколение технологии «кремний на изоляторе»). Комбинация FinFET + FD-SOI рассматривается в качестве серьёзного преимущества над чисто FinFET-овскими технологиями конкурирующей фабрики TSMC (<http://www.advancedsubstratenews.com/2013/04/ibm-finfet-isolation-considerations-and-ramifications-bulk-vs-soi/>). Развёртывание массового 14-нм производства IBM, GlobalFoundries и Samsung Electronics предполагается в 2014 году. Три упомянутых компаний являются членами Common Platform Alliance и совместно разрабатывают новые технологические нормы. Массовое производство 14-нм кремниевых пластин FinFET/FD-SOI будет впервые наложено на фабриках IBM и GlobalFoundries в штате Нью-Йорк, а также на заводе Samsung в Техасе (<http://www.3dnews.ru/news/637385>).

Неожиданно уступив место ли-
CREATIVE® дера по топовым непрофессиональным звуковым картам компании Asus с ее превосходной Xonar Essence STX (см. «PX» №5/2012, с.8, 9), компания **Creative Technology** бросилась вдогонку, и, отказавшись от перспективы развития серий X-Fi и Recon3D, создала первенца новой топовой серии - **Creative Sound Blaster ZxR**, в конструкции которой до мельчайших под-

робностей постаралась повторить все прелести Xonar Essence STX. Кроме многослойной печатной платы в закрытом общем экране заимствовано разделение аналоговой и цифровой частей толстым поперечным экраном из меди, для входов и наушникового выхода использованы профессиональные позолоченные 6,3-миллиметровые «большие джеки» (1/4-дюймовые TRS), применены аудиофильские электролитические конденсаторы - Nichicon Fine Gold, ИМС телефонного УМ - TI TPA6120A2, электромеханические реле для коммутации входов и выходов, и даже ОУ на выходе ЦАПов в полудиповских корпусах установлены в разъемы, допускающие при желании их замену. Такое ощущение, что и такие декламируемые изготавителем в инструкциях пользователя и на красочных упаковочных коробках параметры, как отношение сигнал/шум «слизаны под копирку» у Xonar Essence STX. Судите сами:

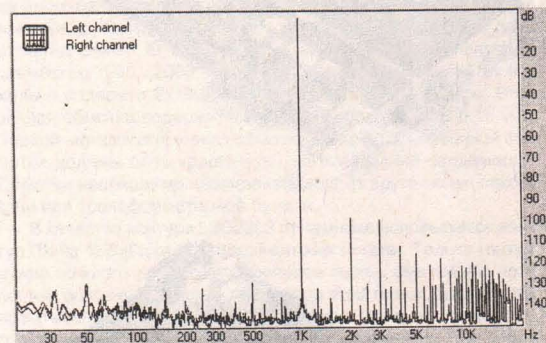
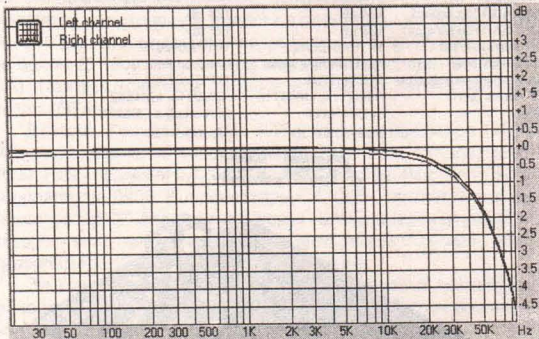
Параметр	Creative ZxR	ASUS Xonar Essence STX
С/Ш АЦП (по входу)	124 дБ	124 дБ
С/Ш ЦАП (по выходу)	127 дБ	127 дБ
Телефонный УМ	TI TPA6120A2	TI TPA6120A2
Конденсаторы	Nichicon Fine Gold	Nichicon Fine Gold
ЦАП линейного выхода	TI PCM1794	TI PCM1792A
ОУ после ЦАП	NJM2114, LM49710	NJM2114, LM4562
АЦП	TI PCM4220	Cirrus Logic CS5381
DSP	SoundCore 3D	ASUS AV100

ASUS



НОВАЯ ТЕХНИКА И ТЕХНОЛОГИЯ

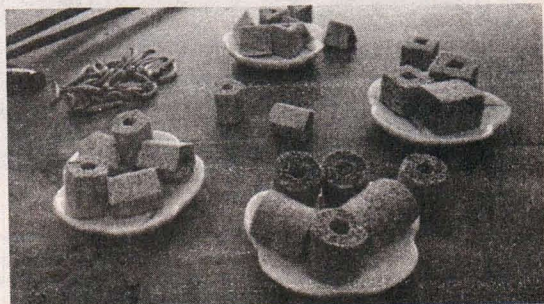
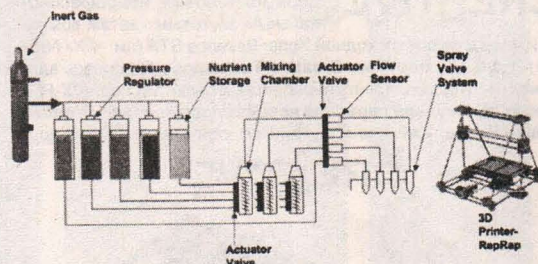
Из объективных преимуществ ZxR можно назвать более совершенный цифровой сигнальный процессор Creative SoundCore 3D, решающий большинство вопросов многоканальных преобразований аппаратно (в отличие от морально устаревающего ASUS AV100 (экс-C-Media Oxygen), сбрасывающего немало функций на программную обработку ПК), а также на-



личие аналоговых 5.1-канальных выходов, формируемых специальным АЦП T1PCM1798 (Xonar Essence STX ограничен только аналоговым стереовыходом). Конструктивным плюсом с некоторой натяжкой можно считать и наличие в комплекте ZxR выносного пассивного аналогового регулятора уровня громкости для наушников с встроенным в него стереомикрофоном и разъемами для наушников и внешнего микрофона. А вот ложку дёгтя можно сразу и не заметить: только в техническом описании для ZxR специфицировано «24-разрядное аналого-цифровое преобразование входящего аналогового сигнала с частотой до 96 кГц» (<http://ru.creative.com/products/product.asp?category=18&subcategory=872&product=21383>), т.е. с частотой дискретизации 192 кГц топовая модель Creative умеет работать только на выход, а вот оцифровку аналоговых сигналов (и, следовательно, спектральный анализ при измерениях) она сможет делать только с вдвое меньшей частотой дискретизации 96 кГц. Иными словами, полоса частот Creative Sound Blaster ZxR по аналоговым входам ограничена (согласно теореме Котельникова) верхней теоретической границей 48 кГц, в то время как Asus Xonar Essence STX - 96 кГц (ее АЦП без проблем работает с частотами дискретизации до 192 кГц). Несмотря примерно на 1/3 большую цену (около \$250) и запоздание более чем на год, Creative Sound Blaster ZxR в сравнительных испытаниях проиграл Asus Xonar Essence STX как по объективным характеристикам - коэффициенту гармоник 0,0018% против 0,0004%, так и по субъективному прослу-

шиванию - Xonar Essence STX обеспечивает чуть большую детальность (разница выявлена в двойном слепом тестировании проекта «Кристальный звук» - <http://www.ixbt.com/multimedia/soundcard-duel-may-2013.shtml>).

Национальное Аэрокосмическое Агентство США NASA выделило деньги на создание «пищевого 3D принтера» - устройства, позволяющего «печатать» съедобные объекты из отдельных питательных веществ. Грант первого этапа проекта в размере 125 000 долларов достался компании Systems & Materials Research, позиционирующей себя в качестве «специалиста по разработке материалов и технологий с целью коммерциализации». На первом этапе Systems & Materials Research предстоит в течение полу-



года создать прототип устройства, формирующего блюда из слоев отдельных ингредиентов, имеющих порошкообразную консистенцию. От результатов первого этапа будет зависеть дальнейшая судьба проекта. В отличие от используемого сейчас в космических полетах готового питания, которое сравнительно быстро теряет свои полезные свойства с течением времени, порошкообразные ингредиенты, содержащие необходимые человеку питательные вещества, имеют длительные сроки хранения. Благодаря этому они пригодны для использования в продолжительных космических экспедициях. Использование 3D-принтера позволит получать из этих ингредиентов разнообразное меню (http://www.nasa.gov/directorate/spacetech/home/feature_3d_food.html, <http://www.ixbt.com/news/hard/index.shtml?16/86/59>).

Ученые-химики из Государственного Университета штата Огайо (США, <http://researchnews.osu.edu/archive/germanane.htm>) во главе с доцентом Джошуа Гольдбергером разработали технологию получения слоя германия толщиной в один атом и убедились, что его проводимость (скорость движения электронов) в десять раз выше, чем у кремния и в пять раз выше, чем у обычного германия (использовавшегося в первых транзисторах более 60 лет назад). Новый материал назван германен (germanane, GeH) по аналогии с графеном (graphane, CH) - атомарным слоем графита. Ученым впервые удалось создать стабильный атомарный слой германия из «булгарброда» слоев кальций/германий/кальций путем топохимического деинтеркальцирования CaGe₂ (попросту - «вымывания» кальция из «булгарброда» водой), в результате чего слой германия оказывается

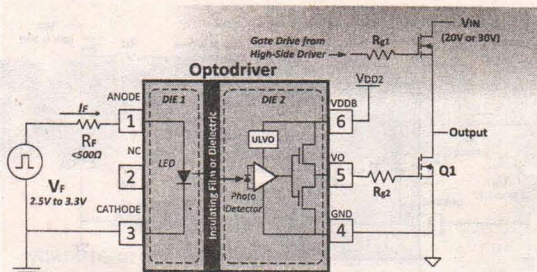


ется обрамленным «скелетным» слоем водорода. Такая структура оказывается химически даже более стабильной, чем кремний, - не окисляется ни в воздухе, ни в воде. Многократное повышение проводимости делает германий перспективным материалом для сверхбыстро действующих электронных компонентов, а т.н. «прямопереходная запрещенная зона» (в которой переход электрона из зоны проводимости в валентную зону не сопровождается потерей энергии) с шириной/энергией 1,53 э·В (<http://pubs.acs.org/doi/abs/10.1021/nn4009406>) характеризует германий как идеальный для оптоэлектроники (он излучает и поглощает свет практически без потерь, в отличие от обычных полупроводников с непрямопереходной запрещенной зоной, в которых переход электрона из зоны проводимости в валентную зону сопровождается испусканием фона, т.е. потерей энергии).

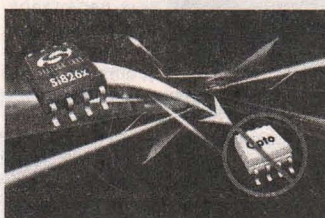
По данным Федерального Министерства Транспорта Германии, из 40 миллионов автомобилей этой страны сегодня лишь 6400 являются электромобилями. Ничтожная (0,016%) цифра связана не столько с очень высокой (несколько тысяч евро) ценой электромобильного аккумулятора, имеющего довольно ограниченный ресурс и значительное время заряда, сколько с необходимостью поиска места подзарядки чуть ли не после первой сотни километров автодороги. Группе ученых Института материаловедения и научных технологий Фраунгофера в г. Дрезден (Fraunhofer Institute for Material and Beam Technology IWS) во главе с профессором Хольгером Альтусом удалось в 7 раз (с 200 до 1400 циклов заряд/разряд) повысить ресурс литий-серных (Li-S) аккумуляторов, являющихся конкурентами наиболее распространенных сегодня литий-ионных аккумуляторов на основе интеркалиционных катодов из весьма дорогостоящего кадмия. Как активный материал катода, сера обладает теоретической удельной емкостью 1,672 мА·ч/г, средним потенциалом разряда 2,2 В, при этом плотность энергии Li-S батарей может достигать 600 Вт·ч/кг по сравнению с максимум 250 Вт·ч/кг для литий-ионных.

Дополнительные преимущества серы включают более высокий уровень безопасности и низкую стоимость из-за обилия серы в качестве сырья. Это значит, что даже если принять реальную удельную мощность в 500 Вт·ч/кг, литий-серные аккумуляторы при равной с литий-ионными массе обеспечат вдвое большую емкость и соответственно вдвое больший путь электромобиля до необходимости подзарядки. В прототипе аккумулятора немецкие ученые в качестве анода использовали не металлический литий, а кремний-углеродный компаунд, а в качестве катода - не металлический кадмий, а серу, размещенную в пористом углероде, причем размер этих пор удалось оптимизировать так, чтобы обеспечить максимум адгезии серы, т.е. минимум ее нежелательного растворения в жидким электролите (<http://www.fraunhofer.de/en/press/research-news/2013/april/a-longer-life-for-lithium-sulfur-batteries.html>).

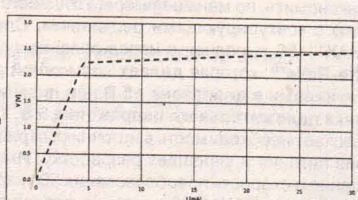
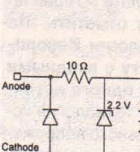
Драйверы на основе оптоизоляторов в последние 30 лет применяются практически во всех системах управления мощными электромоторами и т.п. нагрузками, а также во

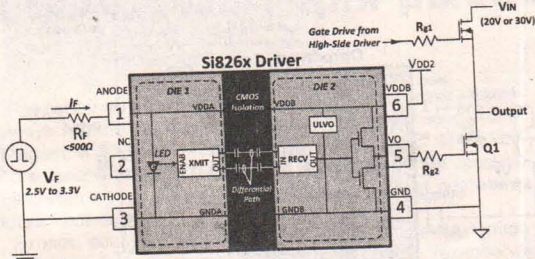


многих импульсных блоках питания. Типовой оптодрайвер содержит в одном корпусе две подложки, на одной из которых сформирован светодиод, а на второй - фотодетектор (обычно фототранзистор) и двухтактный выходной драйвер. Подложки гальванически развязаны (электрически изолированы) оптически прозрачным органическим диэлектриком Insulating Film or Dielectric. Ток I_f , поступающий на анод светодиода LED от источника входного сигнала $V_f=2,5...5$ В через токоограничивающий резистор R_f , вызывает свечение светодиода. В свою очередь, освещение фотодетектора Photo Detector вызывает в последнем ток, заставляющий выходной драйвер на двух транзисторах формировать потенциал логической единицы на выводе VO. Анализ отказов электроприводов, однако, показывает, что значительная их часть вызвана выходом из строя именно драйверов на оптоизоляторах. Специалисты компании Silicon Laboratories, Inc., детально исследовав проблему, установили, что в большинстве случаев неисправности возникают из-за деградации эмиссионной способности арсенид-галлиевых светодиодов вследствие повышенных рабочих температур и импульсов тока, а также частичной потери прозрачности органического диэлектрика из-за улетучивания со временем пластикаторов и других органических составляющих. Кроме того, оптоизоляторам на основе арсенид-галлиевых элементов свойственны такие недостатки, как значительный разброс характеристик между разными экземплярами даже одной партии, их большой температурный дрейф, а также Большее время задержки спада, член фронта выходного импульса



по отношению к входному, что обусловлено медленным восстановлением высокомоментного состояния фотодетектора при прекращении его освещения по отношению к быстрому его отпиранию при освещении. В качестве альтернативы оптодрайверам Silicon Labs разработала полностью совместимые как по выводам, так и по габаритам изолирующие драйверы серии Si826x (<http://www.silabs.com/products/power/isodrivers/pages/si826x.aspx>), выполненные, однако, по КМОП-технологии. В их основе также две подложки, но изолированные слоем неорганического диэлектрика - диоксида кремния, такого же стабильного во времени, как и вечный песок. На первой подложке сформированы эмулятор вольтамперной характеристики (BAX) светодиода eLED и радиочастотный модулятор XM1T с дифференциальным выходом Differential Path (эмодулятор BAX образован двумя резисторами, диодом и стабилитроном и служит для беспроблемной





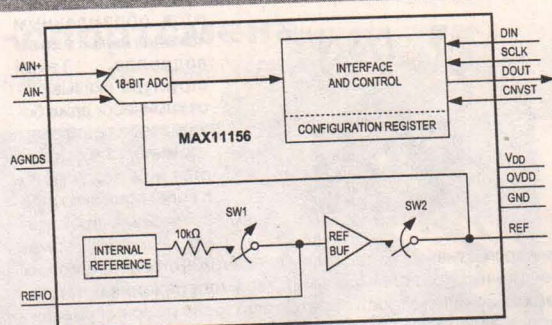
замены оптодрайверов в уже существующих блоках методом «выпаял старый - впаял новый»). На второй подложке сформированы дифференциальный приемник-демодулятор RECVR и двухтактный выходной драйвер. Передача сигнала между подложками осуществляется через микроконденсаторы, сформированные в изолирующем слое диоксида кремния. По сравнению с оптодрайверами (например, Avago HCPL-3120, Toshiba TLP350), Si826x обеспечивают в 8 раз меньшую задержку фронта и спада (40 нс), причем практически одинаковую как для фронта, так и спада, в 10 раз больший гарантированный срок службы (до 60 лет), в 14 раз меньший разброс параметров между различными экземплярами ИМС, а также существенно улучшенную помехозащищенность от синфазных перепадов напряжения между подложками (common mode

transient immunity - CMTI) - более 50 кВ/мкс. Электрическая прочность изоляции 5 кВ (IEC 60747-5-2), максимальный выходной ток 4 А. Высокая термостабильность позволила расширить и диапазон рабочих температур: -40 ... +125 °C. Конструктивное исполнение SOIC-8, DIP8, SDIP6, LGA8, оптовая цена \$0,71 (<http://pages.silabs.com/lp-optodriver-replacement-isolated-gate-drivers.html>).

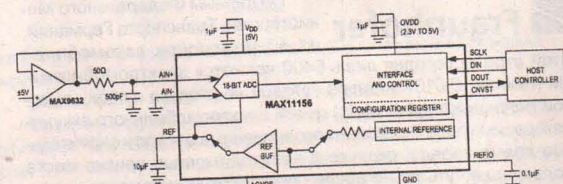


Компания Maxim Integrated Products, Inc. анонсировала (http://www.maximintegrated.com/company/newsroom/pr_products/show.mvp/prn/1702) MAX11156 - самый миниатюрный в отрасли 18-разрядный АЦП последовательного приближения (SAR ADC). В микропротипе TDFN-12 (3x3x0,8 мм) встроен внутренний источник опорного напряжения с буфером, что позволяет снизить стоимость и

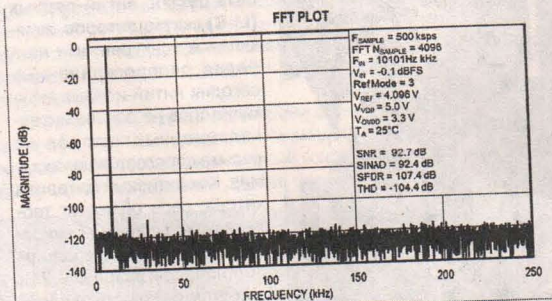
сэкономить, по меньшей мере, 70% места на плате по сравнению с конкурирующими решениями. Следует отметить, что MAX11156 выполнен с использованием технологии Beyond-the-Rails™, которая делает возможной работу с входными сигналами в диапазоне ± 5 В при питании от одного источника положительного напряжения 5 В. Такая технология исключает необходимость в источнике отрицательного напряжения питания и упрощает разработку. Имея 18-битное разрешение и скорость преобразования 500 ksp (500 тыс. выборок в секунду), MAX11156 идеально подходит для применения в



автоматическом испытательном оборудовании, системах промышленного управления, медицинском оборудовании и роботехнике, где высокая точность и миниатюрные размеры крайне важны. Благодаря монотонной характеристике преобразования, малому времени установления и отсутствию задержек, MAX11156 является идеальным выбором для быстродействующих прецизионных цифровых систем с обратной связью.



Фактически MAX11156 обеспечивает 18-битное разрешение без пропуска кодов, обладает превосходной DC-точностью (дифференциальная нелинейность 0.5 LSB и интегральная нелинейность 2.5 LSB (тип.)) и великолепными характеристиками по переменному току (отношение сигнал/шум 94,6 дБ и

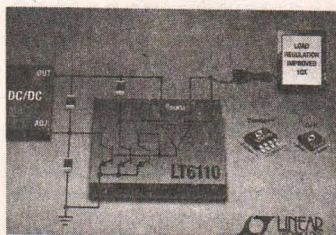


суммарный коэффициент гармоник -105 дБ (тип.). К тому же, MAX11156 осуществляет обмен данными по интерфейсу SPI/QSPI™/MICROWIRE®/DSP, что можно использовать для параллельного подключения требуемого количества АЦП в устройствах, где необходимо несколько измерительных каналов. С помощью этого интерфейса также можно получать информацию о недоступности АЦП в данный момент времени (индикатор занятости АЦП), что упрощает задачу таймингования и синхронизации системы. При напряжении питания 4,75...5,25 В потребляемый ток не превышает 10 мА, входной ток ± 10 мА, входная емкость 15 пФ (<http://www.maximintegrated.com/datasheet/index.mvp/id/7999>).



При соединении источника напряжения (например, блока питания или УМЗЧ) с нагрузкой длинными проводами для компенсации падения напряжения на последних обычно используют т.н. датчики Кельвина (Kelvin sense wires) - дополнительные «обратные» провода обратной связи по напряжению, передающие напряжение непосредственно с нагрузки на входы CAP напряжения источника питания. Кроме очевидного конструктивного усложнения, такое решение чревато дополнительными наводками на «обратные» провода, а

НОВАЯ ТЕХНИКА И ТЕХНОЛОГИЯ

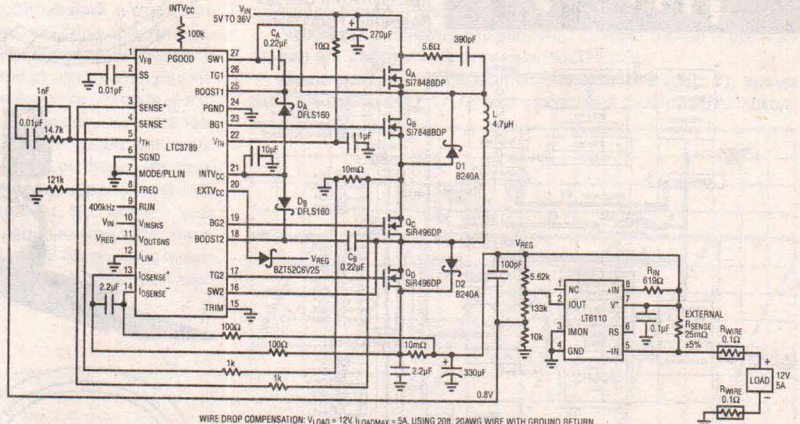


также снижает надежность - при обрыве обратного провода петля CAP по напряжению оказывается разомкнутой, что влечет за собой бросок напряжения на нагрузке. Linear

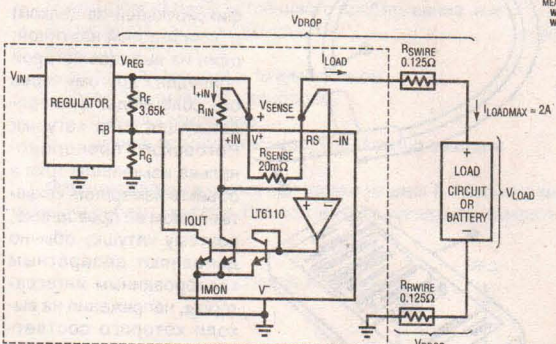
ровании резистором R_{IN}) ровно на падение напряжения ($R_{SENSE} + R_{SWIRE} + R_{RWIRE} \cdot I_{LOAD}$) на сопротивлении длинных соединительных проводов (и, разумеется, на резисторе-сенсоре R_{SENSE}), т.е. напряжение V_{LOAD} на удаленной нагрузке LOAD становится равным заданному независимо от тока нагрузки, - LT6110 осуществляет виртуальную компенсацию межблочных соединительных проводов. Кроме выхода с втекающим током I_{OUT} , фактически шунтирующего резистор R_G в типовом стабилизаторе

Technology специально для изящного решения описанной проблемы разработала **ИМС LT6110** - компенсатор падения напряжения на межблочных проводах/кабелях, не требующий обратных «Кельвинов». Принцип работы LT6110 основан на измерении напряжения на встроенным 20 миллионном резисторе-сенсоре R_{SENSE} тока нагрузки I_{LOAD} и пропорциональном отборе управляющего тока на выходе I_{OUT} LT6110 из петли обратной связи по напряжению FB основного стабилизатора напряжения REGULATOR. В результате напряжение на выходе V_{REG} увеличивается (при соответствующем точном масштаби-

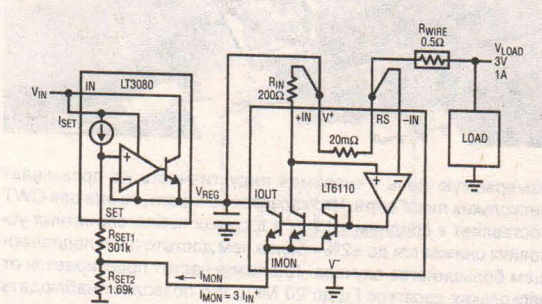
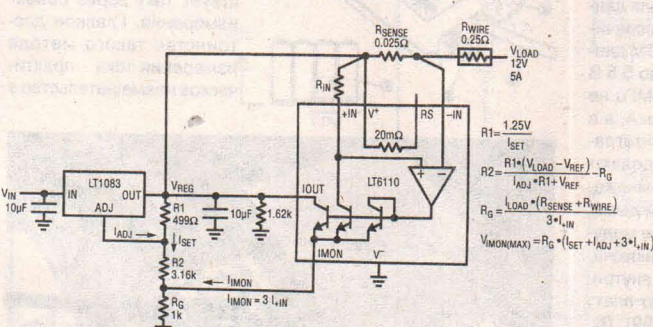
LT6110 with External R_{SENSE} and LTC3789 Buck-Boost Regulator at 12V



WIRE DROP COMPENSATION: $V_{LOAD} = 12V$; $I_{LOADMAX} = 5A$, USING 20AWG WIRE WITH GROUND RETURN.
NO COMPENSATION FOR $R \leq 1.045 \Omega$ AT 25°C
WITHOUT COMPENSATION: $\Delta V_{LOAD} = 100mV$ (250mW/A)
WITH COMPENSATION: $\Delta V_{LOAD} = 2mV$ (8mW/A)



торе напряжения с заземленным внутренним источником опорного напряжения (например, LT3980), для обеспечения универсальности в компенсаторе LT6110 предусмотрен выход вытекающего тока $IMON=3 \cdot I_{OUT}$, который можно использовать как для мониторинга тока нагрузки I_{LOAD} (для этого достаточно включить между $IMON$ и землей небольшой резистор), так и для управления стабилизаторами напряжения с привязкой встроенного опорного напряжения к выходу (например, LT1083), или токовыми стабилизаторами (LT3080). Если максимальный ток нагрузки превышает 3 А, то вместо встроенного резистора-сенсора R_{SENSE} целесообразно использовать внешний, как показано на приведенной ниже схеме типового применения LT6110 со стабилизатором LT1083. Ничто не мешает



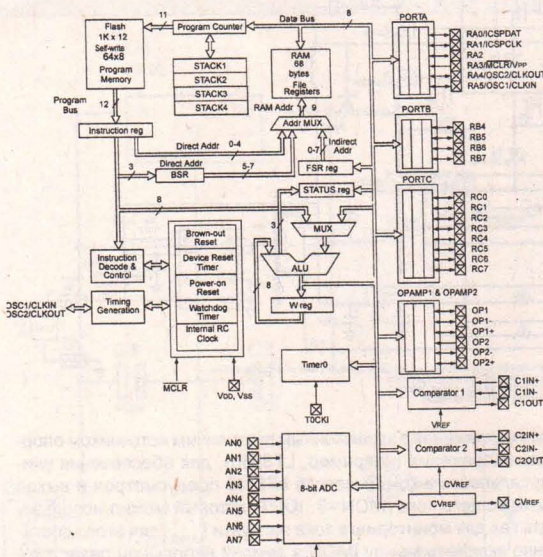
MICROCHIP

Компания **Microchip Technology** представила два новых 8-разрядных микроконтроллеров **PIC16F527** и **PIC16F570** с максимальной тактовой частотой 20 МГц (цикл 200 нс), сочетающих в себе Гарвардскую архитектуру процессора и доступную аналоговую периферию. Благодаря двум встроенным операционным усилителям (частота единичного усиления 3 МГц, смещение нуля ± 5 мВ, входной ток не более 2 нА, усиление на постоянном токе 90 дБ, максимальный выходной ток 25 мА), 8-канальному 8-разрядному АЦП и двум компараторам, эти микроконтроллеры очень удобны для систем, где требуется преобразование и усиление аналоговых сигналов. Новинки имеют несколько фун-

НОВАЯ ТЕХНИКА И ТЕХНОЛОГИЯ

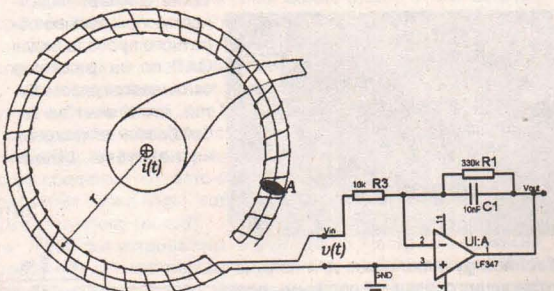


кций, облегчающих использование и повышающих надежность системы. Новые возможности организации аппаратных прерываний дают разработчикам свободу при реализации более сложных функций без добавления программного обеспечения.

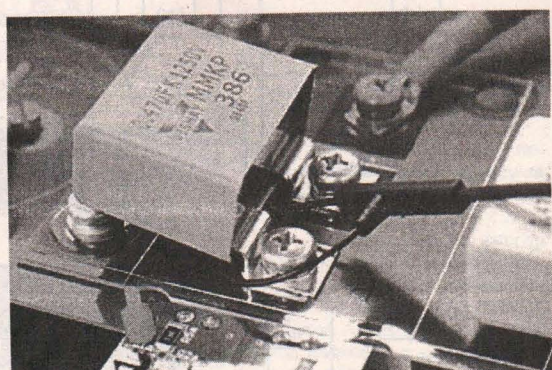
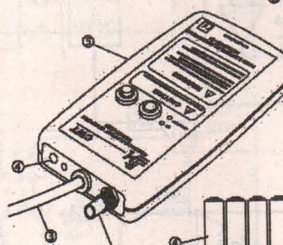
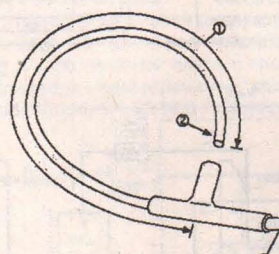
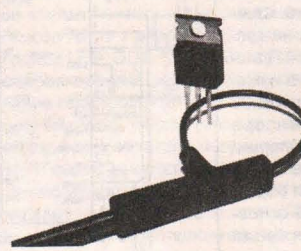


ных средств, при этом встроенный детектор пониженного напряжения (Brown-Out Reset - BOR) может заблаговременно определить неполадки в системе питания и осуществить бесзапасный сброс микроконтроллера, чтобы избежать повреждения данных в памяти при нештатных ситуациях. Новые микроконтроллеры также имеют внутрисистемно самопрограммируемую Flash-память (1024x12 для инструкций + 64x8 для данных) с числом циклов перезаписи не менее 10K, что обеспечивает высокую функциональность использования EEPROM данных. В рабочем диапазоне напряжений питания от 2 до 5,5 В потребляемый ток при работе на тактовой частоте 4 МГц не превышает 170 мА, на тактовой частоте 32 кГц - 15 мА, а в спящем режиме 100 нА. Эти особенности, наряду с интеграцией часто используемой аналоговой периферии, делают PIC16F527 и PIC16F570 идеальными приборами для множества недорогих сенсорных устройств, таких как датчики дыма, датчики оксида углерода, фотодатчики и автомобильные модули с сенсорным интерфейсом. Средства разработки включают в себя макросхемблер, программный симулятор, внутрисхемный эмулятор, С-компилятор, демонстрационную плату PICkit Low Pin Count Demo Board (# DM164130-9, \$25.99), Лабораторный набор PICDEM Lab Development Kit вместе с программатором PICkit 3 (# DM163045, \$134.99), PICDEM Mechatronics (# DM163029, \$149.99), PICkit 3 Starter Kit (# DV164130, \$59.99), оценочный набор MPLAB ICD 3 Evaluation Kit (# DV164036, \$229.99) и компилятор MPLAB XC8 для 8-разрядных PIC-микроконтроллеров. Микроконтроллеры PIC16F527 выпускаются в 20-выводных корпусах PDIP, SOIC, SSOP и QFN, их уже сейчас можно приобрести по цене \$0.78, а PIC16F570 будут выпускаться с июля месяца в корпусах PDIP, SOIC, SSOP и QFN с 28-выводами (<http://www.microchip.com/downloads/en/DeviceDoc/41652A.pdf>).

PEM Британская компания Power Electronic Measurements Ltd. разработала настольно миниатюрную серию CWT Ultra-mini датчиков на основе катушек Роговского, что стало возможным бесконтактное из-



мерение токов любого вывода транзисторов или микросхем в корпусах типа TO-220 и TO-47: диаметр измерительной косички не превышает 1,6 мм с учетом ее изоляции. Напомним, что катушка Роговского - это измерительный трансформатор тока, выполненный в виде «лассо» - длинного соленоида без ферромагнитного сердечника (петли с незамкнутой формой, но с фиксирующей защелкой) и равномерной намоткой, один из выводов которой приведен к другому через ось соленоида. Электродвижущая сила катушки Роговского пропорциональна изменению тока в объекте измерения - охватываемом ей проводнике, поэтому катушку обычно дополняют аппаратурным калиброванным интегратором, напряжение на выходе которого соответствует току через объект измерения. Главное достоинство такого метода измерения тока - практическое невмешательство в



измеряемую цепь - вносимая индуктивность на превышает нескольких пикоГенри. Что касается точности, то она для CWT составляет в среднем $\pm 0,2\%$, а в самых неблагоприятных условиях снижается до $\pm 2\%$ - более чем достаточно в подавляющем большинстве случаев. Диапазон частот простирается от нескольких десятков Гц до 20 МГц, что позволяет наблюдать

короткие импульсные процессы. Пиковый измеряемый ток (при котором напряжение на выходе калиброванного интегратора достигает ± 6 В) для самой чувствительной (200 мВ/А) модели CWT015 достигает 30 А, а для самой мощной CWT6 - 1200 А. Питание интегратора, внешне похожего на мультиметр (183x93x32 мм), осуществляется от четырех элементов AA (<http://www.pemuk.com/products/cwt-current-probe/cwt-ultra-mini.aspx>).

pico
Technology



3207A/B обладает следующими основными характеристиками: 2 канала; диапазон исследуемых аналоговых сигналов до 250 МГц; частота дискретизации 1 ГГц; буфер памяти на 512 мегавыборок; разрешение 8 бит, что обеспечивает 3% точность; цена около 1800 US\$.

KENWOOD компактный КВ трансивер для профессионального использования Kenwood TK-90 (http://www.kenwood-electronics.co.uk/products/comms/analogue_pmr/repeaters_basestations/TK-90/) разработан и производится в полном соответствии военным стандартам MIL 810 и обладает расширенной функциональностью: режимы работы мобильный или база; порт данных для подключения внешних устройств; внутренний порт (оночально) для подключения GPS; модуля аварийной сигнализации; 300 каналов памяти + режим VFO; сканирование; алфавитно-цифровой дисплей; программируемые кнопки; клонирование с помощью кабеля; flash-память; функция «Аварийный вызов»; возможность подключения дополнительных модулей; переключаемая подсветка дисплея; VOX; режим передачи данных; пароль; включение станции ключом зажигания. Опции Kenwood TK-90: голосовые подсказки и возможность записи; возможность выноса панели управления; возможность подключения дополнительных модулей; функции ретранслятора и базовой станции; режим «Базовая станция»; таймер непрерывной передачи; селективный вызов и статусный вызов; режим прямого выбора канала; предусилитель и антеннаор; подавитель шума; режим прямого набора частоты (только с KMC-32 и KMC-36); управление с компьютера; программирование с компьютера и ручное. Основные технические характеристики трансивера: частотный диапазон приемника 0,5-30 МГц, передатчика 1,8-2,4 / 3,5-4,5 / 6,0-8,0 / 11,0-14,5 / 16,0-21,5 / 24,0-30,0 МГц; 300 каналов памяти; рабочая температура -20°C...+60°C; напряжение питания 13,6 В +/-15%; потребляемый ток 20,5 А (TX), 1,2 А (RX); стабильность частоты +/-0,5x10⁻⁶ (-10°C...+50°C), +/-1,0x10⁻⁶ (-20°C...+60°C); размеры: 179x60x276 мм (блок радиостанции), 179x60x58 мм (панель управления); вес 3,5 кг. Характеристики



НОВАЯ ТЕХНИКА И ТЕХНОЛОГИЯ

ки приемной части: чувствительность при SSB/CW/FSK 4 мкВ (0,5-1,605 МГц), 0,25 мкВ (1,605-30,0 МГц); селективность в SSB/CW/FSK 2,2 кГц (-6 дБ), 4,8 кГц (-60 дБ); подавление зеркальных помех 70 дБ. Основные характеристики передающей части: выходная мощность в SSB/CW/FSK - 100 / 50 / 25 / 5 Вт; уровень побочных излучений -46 дБ; подавление несущей 40 дБ, нерабочей боковой полосы - 50 дБ.

Широкодиапазонный рефлектометр/ваттметр KW 520 фирмы Alan, входящей в корпорацию Midland (<http://www.midland.ru/products/consumer/accessoires/other/803/>) предназначен для проверки мощности и КСВ передатчиков и наладки антенн при помощи двух отдельных измерительных линий: от 1,8 до 200 МГц и от 140 до 525 МГц. Это позволяет повысить точность измерений и одновременно соединить 2 устройства: одно в режиме HF/VHF, другое в режиме VHF/UHF и выбрать при помощи специального переключателя на каком устройстве производить измерения. На выбранную измерительную линию указывает свечение соответствующего светодиода. Можно определить пиковые и средние значения измеряемых величин. Прибор имеет следующие основные характеристики: пределы измерения: ВЧ мощности - 5 Вт, 20 Вт, 200 Вт, 400 Вт; коэффициента стоячих



волн (КСВ) - от 1,1 до бесконечности; импеданс: 52 Ом; диапазон частот: 1,8...200 МГц, 140...525 МГц; точность измерения 5%; габариты 55x100x60 мм; вес 730 г; разъем S0239.

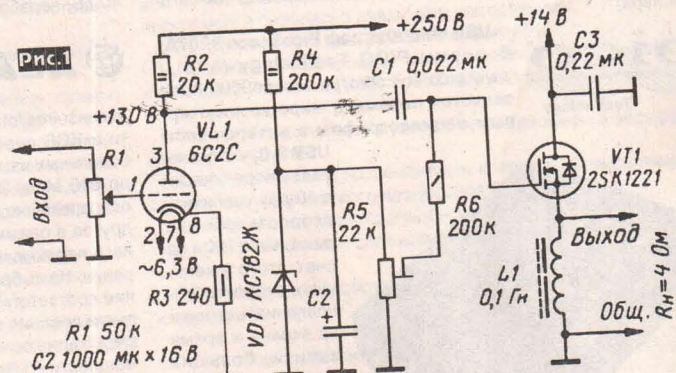
Американская фирма Cushcraft выпустила

Cushcraft
Amateur Radio Antennas

новую вертикальную антенну R9 (<http://www.cushcraftamateur.com/Product.php?productid=R9>), которая работает в диапазонах 6, 10, 12, 15, 17, 20, 30, 40 и 80 метров. Основные заявленные достоинства антенны: отсутствие необходимости в установке противовесов; прочная конструкция (однако рекомендуются растяжки R-8GK в условиях сильных ветров); работа на всех диапазонах без переключения; небольшое пространство, необходимое для размещения

(окончание на с. 53)

В гибридном УМЗЧ В. Гришина (рис. 1) реализована идея однотактного выходного каскада на истоковом повторителе VT1 с бестрансформаторным выходом и непосредственной связью с нагрузкой. Благодаря тому, что дроссель L1 на постоянном токе имеет очень малое сопротивление (сопьи доли ома), он практически замыкает через себя довольно большой (около 3 А, ведь однотактный каскад работает в режиме класса А) постоянный ток стока транзистора, предотвращая его попадание в динамики нагрузки. В то же время на звуковых частотах индуктивное сопротивление дросселя гораздо больше, чем 4-омное сопротивление нагрузки, поэтому звуковой сигнал полностью отвечает в нагрузку. Достоинством такого схемного решения выходного каскада является очень высокий для однотактного класса А КПД - порядка 40%, что благоприятно оказывается на тепловом режиме и позволяет вместо шумных вентиляторов принудительного обдува ограничиться пассивным радиатором с эффективной площадью 1500...2000 см². Кроме того, без специальных защитных мер он совершенно безболезненно и сколь угодно долго выдерживает как короткое замыкание цепи нагрузки, так и ее обрыв (холостой ход). Входной каскад на триоде VL1 - типовой «реостатный» (с резистивной анодной нагрузкой R2) усилитель напряжения с общим катодом и небольшой местной ООС, формируемой незашунтированным резисто-



ром R3 в цепи катода. Управляющая сетка соединена непосредственно с движком потенциометра R1 регулятора громкости, а сигнал на затвор VT1 поступает через разделительный конденсатор C1. Вследствие отсутствия общей ООС, тип этого конденсатора имеет значение - автор рекомендует K40-У9 (электролитические конденсаторы - С2 усилителя и в слаживающих фильтрах выпрямителей блока питания - JAMICON). Параметрический стабилизатор R4VD1 вместе с триммером R5 позволяют регулировать при налаживании начальный ток истока транзистора VT1. Довольно значительная емкость конденсатора С2 обеспечивает плавный выход транзистора на рабочий режим при включении питания. В случае использования нагрузки

с сопротивлением 8 Ом (вместо 4 Ом) следует повысить напряжение питания цепи стока VT1 с 14 до 20 В, а начальный ток стока, наоборот, уменьшить (триммером R5) с 3 до 2.1 А. Особое внимание автор уделил технологии изготовления дросселя L1. В качестве магнитопровода использован стандартный броневой сердечник ШЛМ20х40. Обмотку наматывают виток к витку проводом диаметром 2 мм (или 1.78 мм для 8-омной нагрузки) до заполнения окна на деревянном бруске 20х40 мм с «щечками» каркаса, которые после намотки удаляют. При этом саму катушку, связав нитками для того, чтобы она не рассыпалась, слегка рихтуют, чтобы обеспечить зазор порядка 1 мм между ней и магнитопроводом, и пропитывают в те-

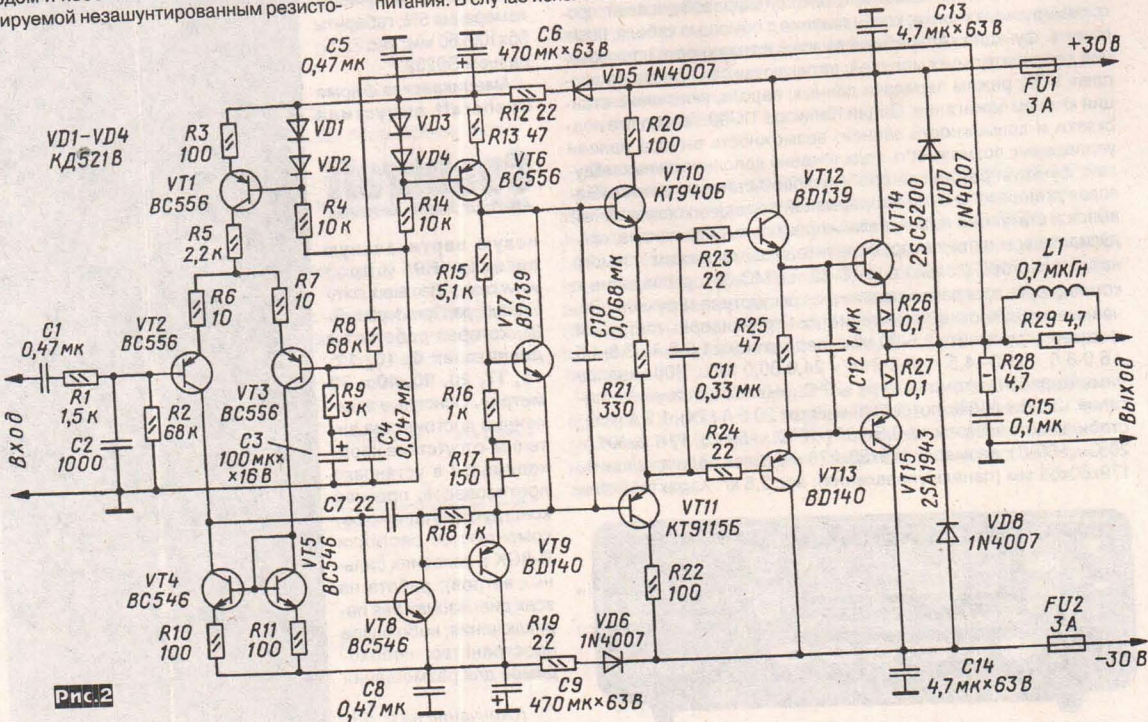


Рис.2

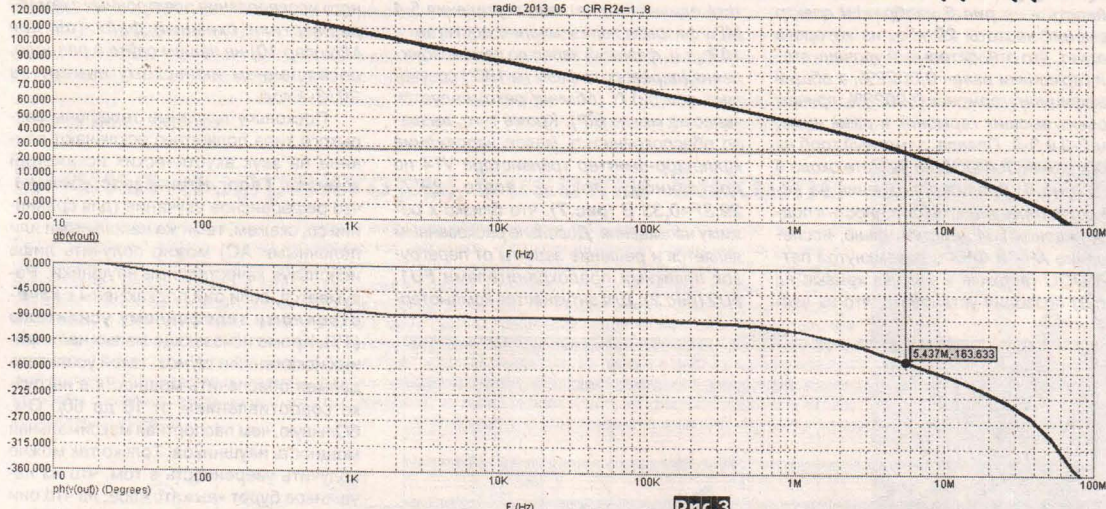


Рис.3

чение нескольких часов лаком. Вынув обмотку и высушив лак, обклеивают ее со всех сторон тонкой изолентой. Затем вставляют разрезной магнитопровод, обеспечив при сборке немагнитный зазор двумя прокладками из медной фольги размерами 38×9 мм и толщиной 0,05 мм. Обмотку фиксируют посередине магнитопровода двумя клиньями (заточенными «на ус спичками»). Собранную таким образом конструкцию укладывают в коробочку подходящих размеров (это и будет корпус дросселя) и заливают ферромагнитной пастой, состоящей из тщательно размешанного в эпоксидной смоле ферромагнитного порошка, применяемого для заправки электромагнитных тормозных муфт. Еще один технологический нюанс: рекомендуется с самого начала заливки и до окончания отверждения эпоксидки пропускать через обмотку постоянный ток около 3 А тем, чтобы обеспечить втягивание ферромагнитного порошка в окно между обмоткой и магнитопроводом, т.е. туда, где именно он и нужен. Блок питания (схема не приводится) выполнен на стандартных сетевых трансформаторах серии ТПП. Принципиально раздельное питание входного и выходного каскадов от разных выпрямителей как нельзя лучше предотвращает нежелательную паразитную связь по цепям питания. Выпрямитель выходного каскада питается от обмотки 12 В (или 18 В при варианте 8-омной нагрузки), собран по мостовой схеме на диодах Шоттки КД2998Г и имеет сглаживающий фильтр из двух конденсаторов 47000 мКФ x 20 В (или 33000 мКФ x 25 В для 8-омной нагрузки). Анодный выпрямитель выполнен на кенотроне 6Х2П и конденсаторе 150 мКФ x 300 В. Чувствительность описанного УМЗЧ равна 2 В (стандартный выход стационарного CD-плеера), номинальная выходная мощность 16 Вт ($Kr=0,3\%$), максимальная выходная мощность 25 Вт, АЧХ линейна вплоть до 200 кГц («Радио» №2/2013, с. 15, 16, №3/2013, с. 16).

Несмотря на относительно небольшое число деталей, УМЗЧ В. Гречиш-

кина (рис.2) по техническим характеристикам и естественности звучания может поспорить с многими схемотехнически более сложными конкурентами. Входной сигнал через инфразвуковой ФВЧ C1R2 и радиочастотный ФНЧ R1C2 поступает на дифференциальный УПТ на транзисторах VT2, VT3 с генератором тока (около 7 мА) на транзисторе VT1 в эмиттерном питании. VT4, VT5 формируют токовое зеркало в коллекторных нагрузках входного каскада. Интересным решением автора является построение второго каскада – усилителя напряжения (УН) по схеме ОЗ-ОК вместо обычно применяемой здесь пары ОК-ОЭ. Оказывается, от перемены в УН места эмиттерного повторителя (каскада VT9 с ОК – общим коллектором) со входа на выход предшествующий каскад сильно не пострадал, т.к. VT2, VT3 работают с относительно большими (более 3 мА) токами коллекторов и ток базы каскада с общим эмиттером VT8 их особо не нагружает. Зато сам VT8 оказывается нагруженным не сразу на тройку выходных двухтактных эмиттерных повторителей V10-VT15, а через «свой» развязывающий эмиттерный повторитель VT9, обеспечивающий почти идеальную высокоомную нагрузку, т.е. позволяющий в полной мере реализовать усиительные свойства VT8. В свою очередь, VT9 питается генератором тока (около 15 мА) на транзисторе VT6, что также способствует линейности. В результате общее усиление входного УПТ и УН на частоте 1 кГц достигает 110 дБ (рис.3), что больше, чем у хорошего современного интегрального ОУ.

Транзистор VT7 совместно с тристреммером R17 задает началь-

ный ток (100 мА) эмиттеров транзисторов VT14, VT15 выходного каскада, а также термостабилизирует его, т.к. смонтирован в тепловом контакте с радиатором (площадью 800 см²), на котором установлены VT14, VT15. Цель общей ООС R8R9C3C4 задает коэффициент усиления $K_u = 1 + R8/R9 = 24$ раза (или 28 дБ). Устойчивость УМЗЧ с замкнутой петлей ООС обеспечивает фазокорректирующий конденсатор C7, защиту выходных транзисторов от выбросов напряжения обратной полярности – диоды VD7, VD8, L1R29 отсекают из петли ООС емкостную нагрузку, а цепочка Цобеля R28C15 компенсирует реактивную составляющую импеданса громкоговорителей. Катушка L1 содержит 8 витков провода ПЭЛ-0,7, намотанных на оправке диаметром 10 мм. При номинальном входном напряжении 550 мВ усилитель развивает на 4-омной нагрузке выходную мощность 70 Вт. Коэффициент гармоники в диапазоне частот от 20 Гц до 20 кГц при этом не превышает 0,003%, неравномерность АЧХ в этом же диапазоне не превышает $\pm 0,5$ дБ. Входное сопротивление 68 кОм, напряжение собственных шумов и фона на выходе не превышает 1 мВ, выходное сопротивление 0,04 Ом («Радио» №5/2013, с. 14-16 *). Примечание редакции «РХ». Компьютерное моделирование описанного усилителя (рис.4), выполненное нашей редакцией, подтвердило его высокую ли-

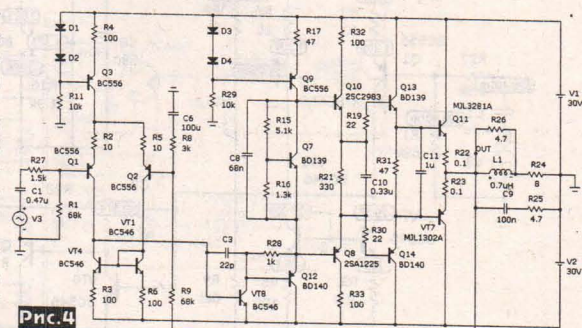


Рис.4

ДАЙДЖЕСТ

нейность - на рис.5 изображен спектр гармоник частоты 20 кГц, из которого следует, что относительный уровень второй гармоники равен 0,0022%, а общий коэффициент гармоник 0,0028%, причем уровень высших гармоник в разы ниже, чем 2-й и 3-й. Правда, заметный горб на АЧХ с замкнутой ООС на частоте около 4 МГц (рис.6) бросил подозрение на недокорректированность (склонность к подвоздушению). И действительно, исследование АЧХ и ФЧХ с разомкнутой петлей ООС (верхняя и нижняя кривые на рис.3) позволило установить, что на час-

тоте единичного петлевого усиления 5,4 МГц фазовое запаздывание достигает -163°, т.е. фазовый запас до самовозбуждения (переворота фазы на 180°) составляет всего 17° (обычно рекомендуется запас не менее 60°). Кроме того, вызвало обеспокоенность малое напряжение коллектор-эмиттер транзистора VT4 по постоянному току - всего 29,7-29,37=0,33 В (рис.7), что близко к режиму насыщения. Довольно рискованным является и решение защиты от перегрузок плавкими предохранителями FU1, FU2 (рис.2). Для энтузиастов компьютер-

ного исследования электронных схем мы разместили схемный файл (cir для Microsar 10) на нашем сайте в разделе, посвященном июньскому номеру за 2013-й год.

Поскольку головные телефоны закрытого типа полностью исключают влияние на звук акустических искажений комнаты, Георг Итанаварас убежден, что референсное звучание (для сравнения со, скажем, теми же напольными или полочными АС) можно получить лишь используя качественные наушники. Развеется, если они подключены к **качественному телефонному усилителю** (ТУ). Кроме исчезающие малых нелинейных искажений и шумов, такой усилитель должен обеспечить мощность в нагрузке сопротивлением от 16 до 600 Ом, большую, чем паспортная максимальная мощность наушников. Только так можно получить уверенность в том, что из наушников будет «выжато» все, на что они способны, или, другими словами, усилитель никогда не будет «слабым звеном» всего аудиотракта. Пересмотр технические данные сотен аудиофильских и профессиональных наушников, Георг пришел к выводу, что мощности 1 Вт на нагрузке 32 Ом будет достаточно на все случаи жизни. Блок-схема его варианта ТУ приведена на рис.8. Регулятор громкости Volume установлен непосредственно на входе In для избежать малейшей возможности перегрузки внутренних каскадов входным сигналом непредвиденно большой амплитуды (ТУ нормально работает от 2-вольтовых выходов стационарных CD/DVD/BD-плееров, но ведь не исключен вариант соединения и с ламповыми линейными усилителями, выходное напряжение которых может быть больше). За регулятором громкости следует усилитель напряжения Gain (его назначение - обеспечить на наушниках напряжение по меньшей мере 5,7 В при напряжении источника сигнала 2 В), на-груженный на 8 запараллеленных буферных повторителей Output buffers. Назна-

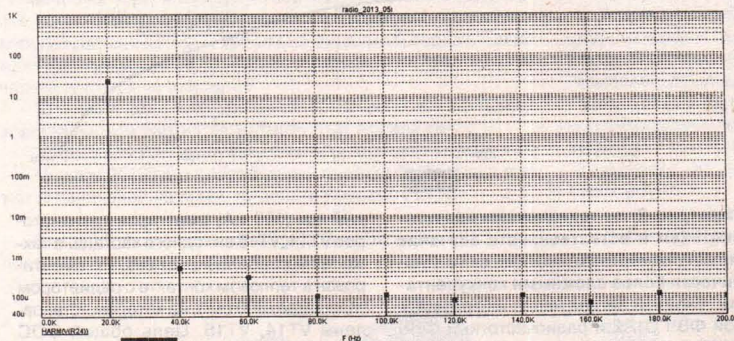


Рис.5

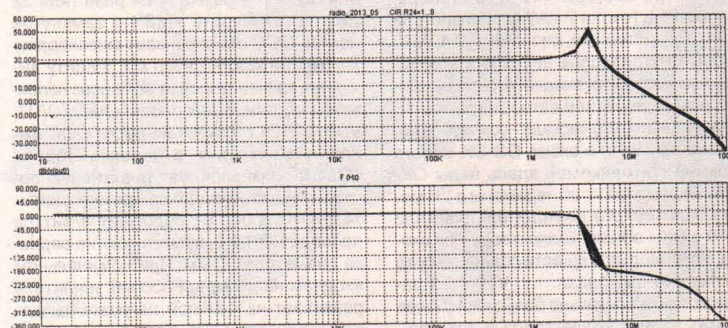


Рис.6

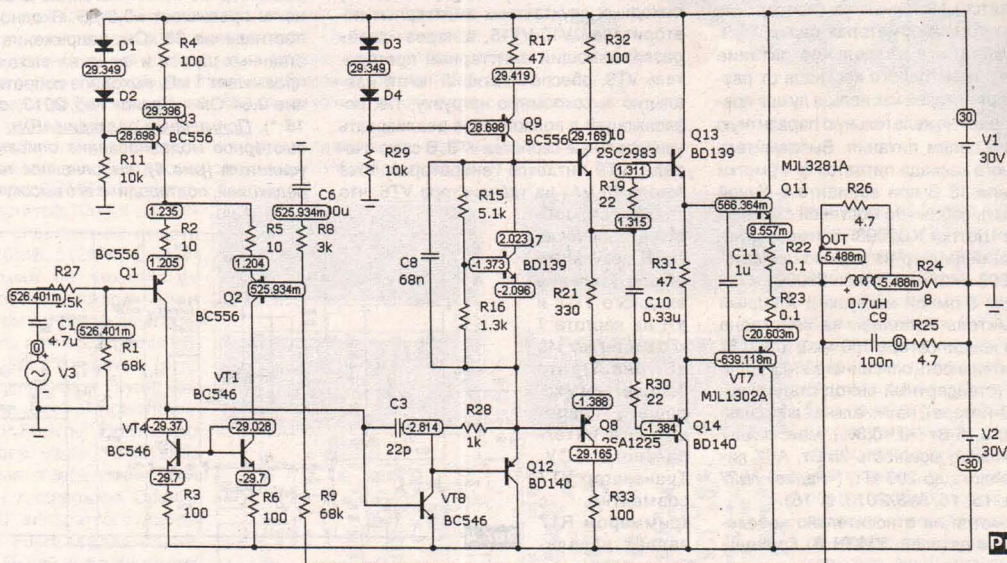
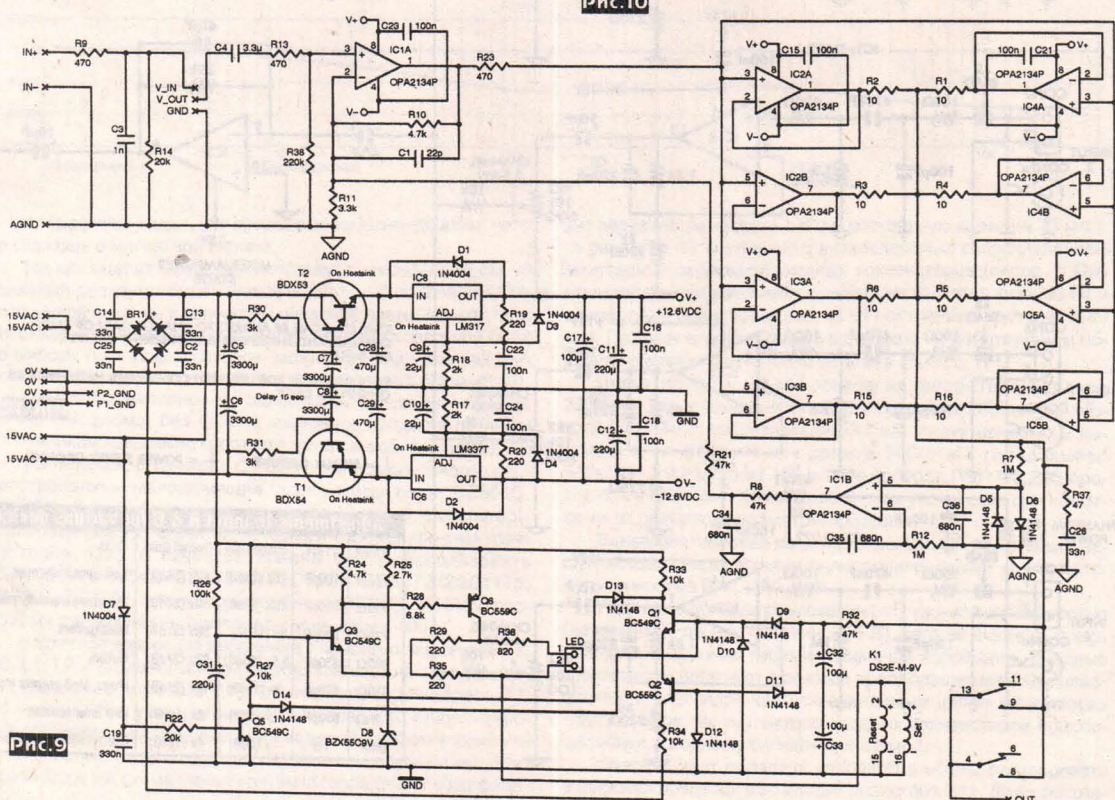
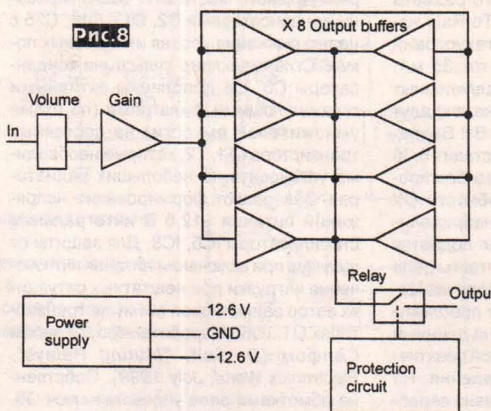


Рис.7

чение вспомогательных элементов блок-схемы - блока питания Power supply и схемы защиты Protection circuit поясняется не требует. Принципиальная схема устройства приведена на **рис. 9**. Здесь R9C3 - радиочастотный ФНЧ с частотой среза 340 кГц, предотвращающий возможную электромагнитную интерференцию как от работающих сотовых телефонов, так и при расположении рядом с вышками телевизионных, радиовещательных или базовых станций мобильной связи. Выходное сопротивление источника сигнала влияет на понижение частоты среза этого ФНЧ, поэтому в случае, если оно превышает 500 Ом (например, при работе с ламповыми схемами), то емкость конденсатора C3 необходимо уменьшить. К контактам V_{IN}, V_{OUT} и GND подключают переменный резистор регулятора громкости Volume (100 кОм, ALPS Electric), установленный на передней панели (**рис. 10**). Единственный конденсатор C4 на пути звукового сигнала входит в состав инфразвукового ФВЧ C4R38, обрезающего возможную постоянную составляющую входного сигнала, фликер-шумы, а также помехи от покоробленных грампластинок. На ОУ IC1A собран неинвертирующий усилитель напряжения с коэффициентом усиления $K_u = 1 + R10/R11 = 2,43$ (7,7 дБ). При подключении к бытовой аудиотех-

нике с выходным напряжением 0,245...0,775 В чувствительность ТУ можно повысить, уменьшив сопротивление резистора R11 до 330...750 Ом. Через резистор R23 усиленный сигнал поступает на 8 запараллеленных входов повторителей напряжения на ОУ IC2A/B...IC5A/B. Выходы повторителей также запараллелены, но не непосредственно, а через 10-омные резисторы R1...R6, R15, R16, что необходимо для предотвращения токовых коллапсов из-за различия напряжений смещения



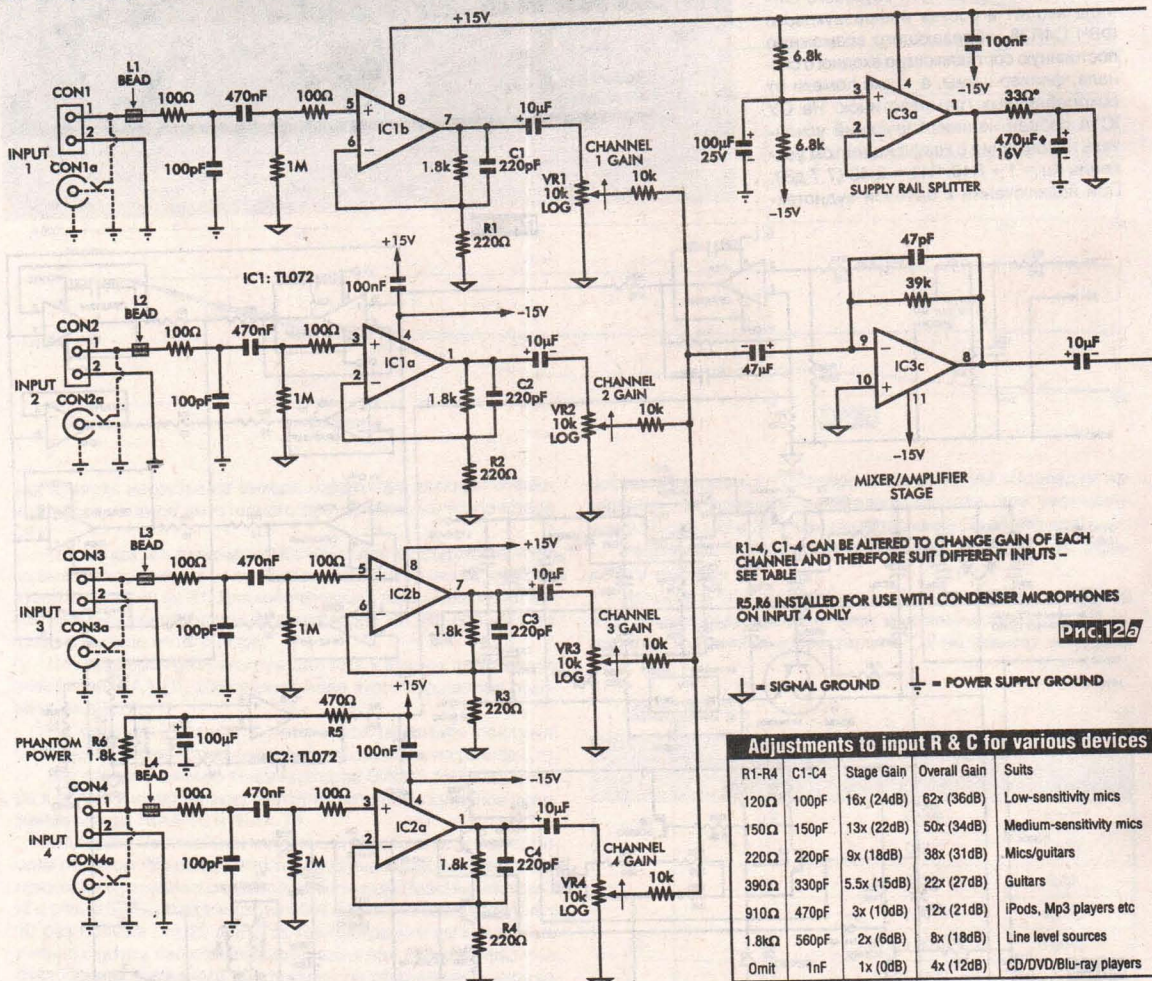
ДАЙ ДЖЕСТ

нуля у разных экземпляров ОУ. Примененные автором ОУ Texas Instruments OPA2134 разработаны специально для аудиоприменений и обеспечивают ультрамалые искажения и шумы. Кроме того, они штатно способны работать на низкоомном (600 Ом для полного размаха выходного напряжения Rail-To-Rail) нагрузку: один ОУ согласно техусловий может развивать выходной ток 35 мА. $35 \cdot 8 = 280$ мА, т.е. 8 запараллеленных OPA2134 на 32-омной нагрузке создадут мощность 0,28 \cdot 32/2 = 1,26 Вт! Выходное напряжение при этом составит 6,36 Вэфф или 9 В амплитуды, что без проблем укладывается в способности ОУ при двухполарном питании напряжением $\pm 12,6$ В. Выходной сигнал подается на наушники (OUT) через контакты реле K1 (Panasonic DS2E-M-9V). Цепочка Цо-беля R37C26 предотвращает проблемы с устойчивостью при работе на длинный кабель и нагрузку с выраженной реактивной составляющей сопротивления. На интеграторе IC1B сформирована сервосистема, поддерживающая нулевой потенциал выхода ТУ путем охвата усилителя напряжения и буферных повторителей общей ООС по постоянному току,

прикладываемой на инвертирующий вход IC1A через резистор R21. Двухполарное питание осуществляется от двух вторичных 15-вольтовых обмоток сетевого трансформатора (15VAC со средней точкой 0V) мощностью 15 Вт. Диоды выпрямительного моста BR1 зашунтированы конденсаторами C2, C13, C14, C25 с целью снижения уровня импульсных помех. Сглаживающие пульсации конденсаторы C5, C6 дополнены активными сглаживающими фильтрами (по схеме умножителей емкости) на составных транзисторах T1, T2, которые необходимо установить на небольших радиоточках. Завершают формирование напряжений питания $\pm 12,6$ В интегральные стабилизаторы IC6, IC8. Для защиты от щелчков при включении питания и отключения нагрузки при нештатных ситуациях автор заимствовал схему на транзисторах Q1...Q6, разработанную Дугласом Селфом [D. Self, "Muting Relays", Electronics World, July 1999]. Собственно обмотками реле управляет ключ Q6. Интегрирующая цепочка R26C31 на время своего заряда до потенциала примерно 9,5 В (напряжение на стабилитроне D8 плюс напряжение база-эмиттер Q3)

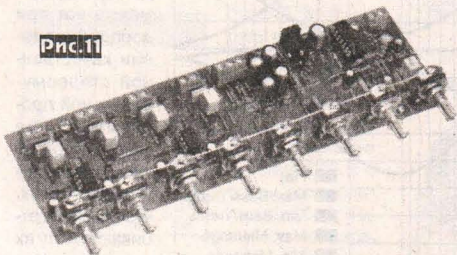
задерживает срабатывание реле K1 при включении питания. Инфразвуковой ФНЧ R32C32C33 с детекторами положительного D9Q1 и отрицательного D11Q2 напряжения через диод D13 и транзисторы Q3, Q6 отключают реле в случае, если постоянное напряжение на выходе ТУ станет выше +2 В или ниже -2 В. Быстрый детектор напряжения сети D7C19 и ключ Q5 через диод D14 и далее по цепочки Q1-D13-Q3-Q6 отключают реле K1 сразу после выключения сети, что предотвращает щелчок в телефонах и в этом случае АЧХ описанного ТУ простирается от 1 Гц до 250 кГц, на нагрузке сопротивлением 300/100/32/8 Ом он развивает мощность 0,22/0,6/1,28/0,4 Вт. Тщательно отслушав его звучание как с низкоомными (17 Ом) наушниками Sony MDR35EX, так и с высокоомными (300 Ом) Sennheiser HD650, автор не нашел, к чему можно было бы придраться к «AudioXpress» №6/2013, с. 20-25 *.

Четырехканальный аудиомикшер
Николаса Вайнена (рис. 11) можно использовать как дома для создания караоке из mp3-плеера и микрофона, так и дикс-хокею на школьной дискотеке, на импровизированных концертах на све-



жем воздухе, и даже звукорежиссеру в любительских студиях звукозаписи или при озвучивании видео. Каждый из несимметричных входов имеет входное сопротивление 1 МОм и входную емкость 100 пФ, а чувствительность можно регулировать в пределах от 18 до 900 мВ, что позволяет подключать практические любые источники звука от микрофо-

Рис.11



нов до электрогитар, mp3 и CD-плееров. Принципиальная схема микшера показана на рис. 12. Каждый из входов INPUT1 ... INPUT4 начинается с ферритовой бусинки L1...L4 BEAD, в которую пропадет провод между разъемом и печатной платой. Вместе с ФНЧ из 100-омных резисторов и заземленных конденсаторов по 100 пФ бусинки формируют ФНЧ, подавляющие радиопомехи с частотой выше нескольких сотен килогерц. Кстати, разделение в данной конструкции сигнальной и мощной земель питания (соответственно SIGNAL GROUND и POWER GROUND) также преследует цель минимизации помех, но на этот раз - фона с частотой сети и ее гармоник. ОУ IC1a/b и IC2a/b (TL072 с входными каскадами на полевых транзисторах, ис-

пользование которых оправдано стремлением минимизировать емкость разделительных конденсаторов) сконфигурированы неинвертирующими усилителями напряжения, коэффициент усиления которых можно изменять резисторами R1-R4, сопротивление которых для разных источников сигнала выбирают в соответствии с таблицей в нижнем правом углу рис. 12a. Одновременно с упомянутыми резисторами придется корректировать и емкость конденсаторов C1-C4, руководствуясь той же самой таблицей. Таким способом можно индивидуально для каждого входного ОУ установить коэффициент усиления в диапазоне от 0 дБ до 24 дБ. На одном из входов (INPUT4) через резисторы R5 и R6 формируется напряжение фантомного питания конденсаторного микрофона (если таковой используется). Сигналы с выходов IC1, IC2 через плавные регуляторы

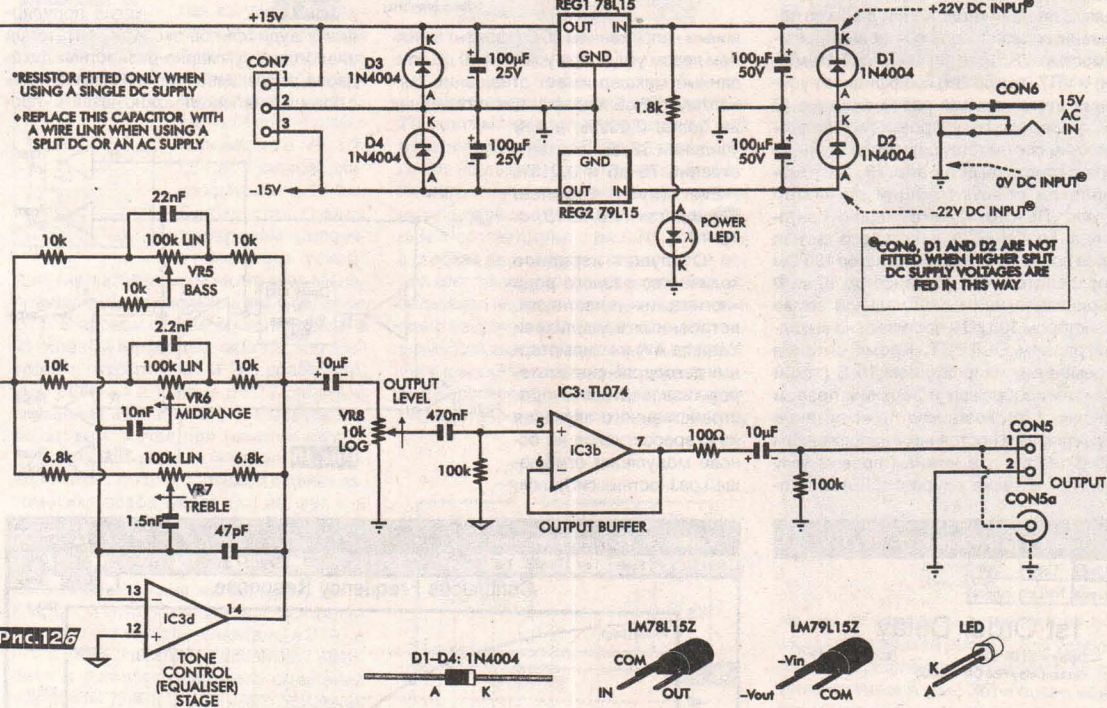
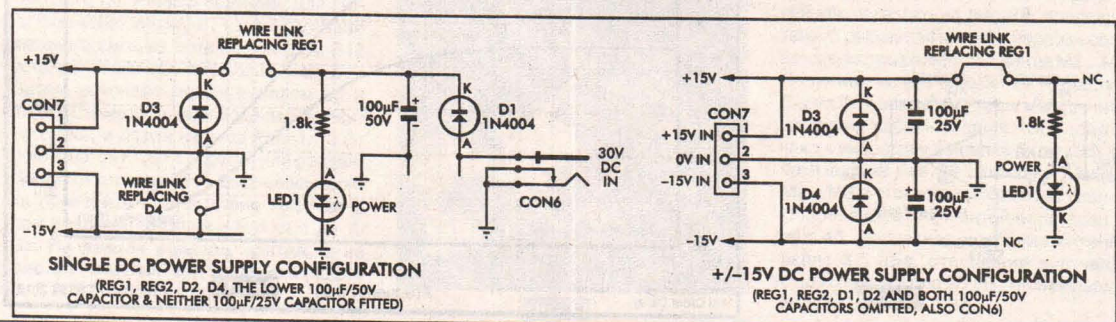
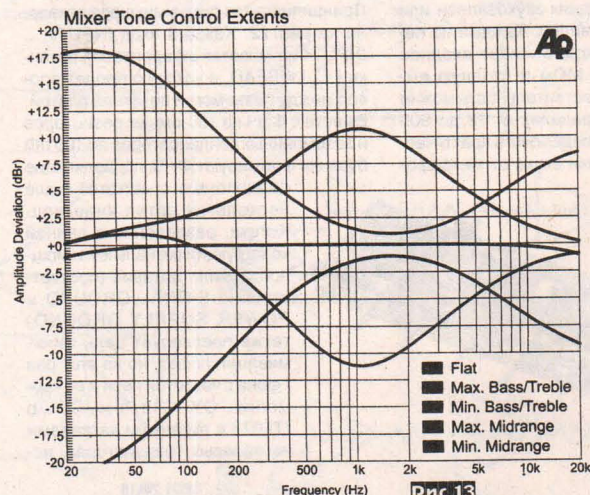


Рис.12a
TONE CONTROL (EQUALISER)
STAGE





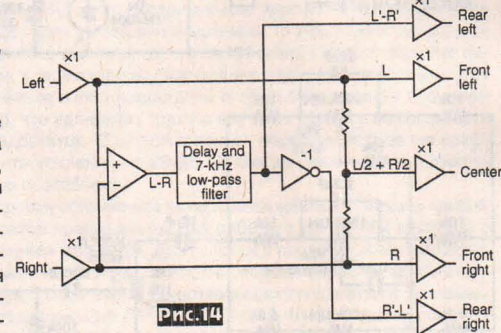
уровня VR1...VR4 (переменные резисторы с логарифмической зависимостью от противления от угла поворота оси), 10-килоомные резисторы и разделительный конденсатор 47 мкФ поступают на инвертирующий вход ОУ IC3c. Последний работает как инвертирующий усилитель-сумматор: 39-килоомный резистор обратной связи обеспечивает коэффициент усиления этого каскада -3,9 (12 дБ), если входами считать движки резисторов VR1...VR4. Поскольку принцип виртуального замыкания инвертирующего и неинвертирующего входов ОУ применительно к IC3c означает заземление его инвертирующего входа, то регулировка уровня любого из каналов никак не влияет на остальные каналы. С учетом каскада IC3c коэффициент усиления каналов можно установить от 12 дБ (или x4) до 36 дБ (или x62). Следующий за сумматором каскад - трехполосный активный регулятор тембра по схеме Баксандиля. В среднем положении движков переменных резисторов с линейной зависимостью VR5 (тембр НЧ), VR6 (тембр СЧ) и VR7 (тембр ВЧ) коэффициент усиления этого каскада равен единице (0 дБ), а пределы регулировки тембра отображены соответствующими частотными характеристиками на **рис. 13**. За темброблоком следуют общий регулятор уровня VR8 и выходной буферный повторитель на ОУ IC3b, с которого сигнал через предохраняющий резистор 100 Ом и разделительный конденсатор 10 мкФ с привязывающим к сигнальной земле резистором 100 кОм поступает на выходной разъем OUTPUT. Кроме питания переменным напряжением 15 В (такой вариант изображен в верхнем правом углу **рис. 12б**), возможно также питание двухполярным постоянным напряжением ±15 В (вариант в нижнем правом углу **рис. 12б**), а также однополярным посто-

**Рис.13**

янным напряжением 30 В (вариант в нижнем левом углу). При усиении 0 дБ описанный микшер имеет отношение сигнал/шум 92 дБ и коэффициент гармоник не более 0,002%, а при усиении 32 дБ - соответственно 75 дБ и 0,015% (*«Everyday Practical Electronics» №6/2013, с. 10-18 **).

Отслушав изрядное количество разного рода «логических» (в частности, встроенных в усилители Yamaha AV) и компьютерных декодеров-синтезаторов-«извлекателей» пространственного звучания из стереосигналов на основе модуляции огибающей разностных сигналов,

ных у аудиофилов-экспериментаторов аналоговых суммарно-разностных декодеров, то создаваемый ими эффект лишь с большой натяжкой можно назвать «про-

**Рис.14**

Thomas 1 Active Filter

Print Copy Exit
Annote NetList Freeze

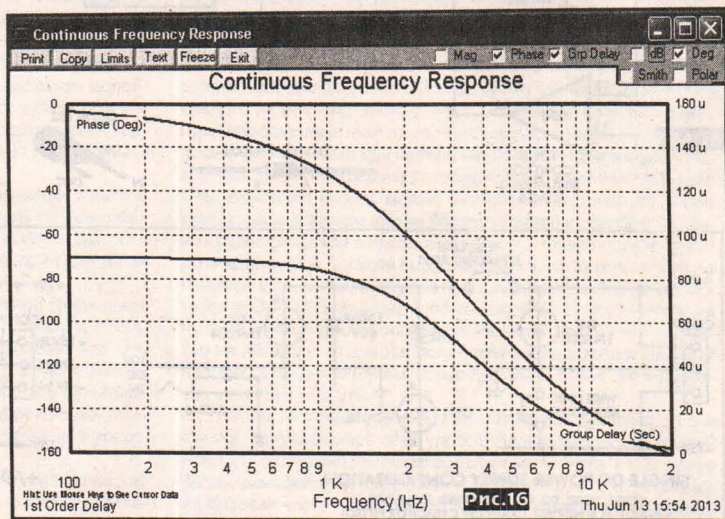
1st Order Delay

Delay = 90.00 uSec Ripple Period = 2
Group Delay Roll Off = 0.000

4.700 kΩ R13
4.700 kΩ R14
4.700 kΩ R11
9.575 nF C12

F₀ = 3.537 KHz

V_{in} → A1 → V_{out}

Рис.15**Рис.16**

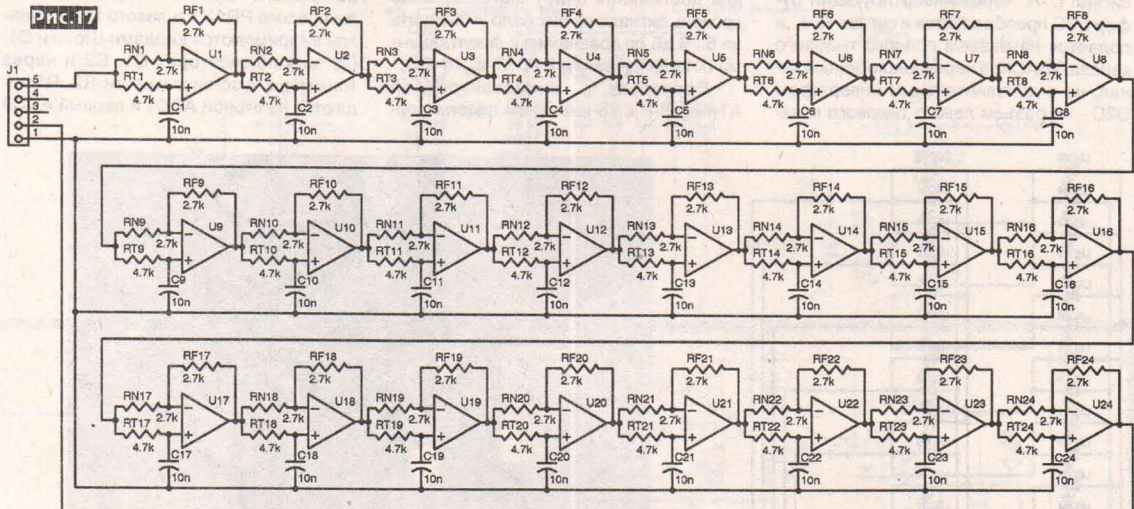
Дуглас Форд пришел к выводу, что они обеспечивает более-менее впечатляющий эффект лишь в компьютерных играх или видеомультиплексах, а вот при воспроизведении качественной стереомузыкальной программы чаще всего настолько неадекватно «корежат» звук, что навсегда отбивают охоту их включать. Что же касается некогда популяр-

странственным звучанием», они чаще всего лишь вводят слух в заблуждение, вообще устранивая возможность локализации источника звука. Дуглас объясняет это тем, что слух определяет направление источника звука не по уровню наиболее мощного сигнала, а по первой пришедшей звуковой волне: в реальной жизни тыловые звуки задержаны по отношению к фронтальным, а в суммарно-разностных декодерах такой адекватной задержки нет. На блок-схеме пространственного декодера (рис. 14) ключевым элементом является именно блок задержки Delay. Отказавшись от прошедших в свое время неудачную (из-за неприемлемого отношения сигнал/шум) апробацию аналоговых пружинных, «микрофон-

одного ОУ обеспечивает время задержки $T_d = 2R_1C_1 = 90 \text{ мкс}$ для сигналов средних и нижних звуковых частот (рис. 16 - нижняя кривая представляет частотную зависимость времени задержки в мкс, а верхняя - ФЧХ; АЧХ звуна линейна). Дуглас подсчитал, что для достижения требуемой задержки 10 мс достаточно соединить последовательно 10 мс/90 мкс = 111 звеньев рис. 15 и не постеснялся реализовать идею на четырех соединенных последовательно платах, каждая из которых содержит (рис. 17) по 6 корпусов счетверенных ОУ U1...U24. Общее число звеньев в четырех платах равно 96 и реализуемая задержка, таким образом, составляет 8,64 мс, что в принципе приемлемо. С другой стороны,

дабы избежать «провала операции» опять-таки из-за плохого отношения сигнал/шум, Дуглас применил высококачественные ОУ типа MC33079 (On Semiconductor, шумы 4,5 нВ/Гц, нелинейные искажения 0,002%, полоса единичного усиления 16 МГц, смещение нуля 0,15 мВ), обеспечившие даже после 96 «проходов через ОУ» относительный уровень шумов -91 дБА с 20 дБ перегрузочной способности. То есть динамический диапазон полученной линии задержки равен $91 + 20 = 111 \text{ дБ}$ - это на порядок лучше, чем у 16-разрядного цифрового канала! Осталось подключить блок задержки в схему декодера (к разъему DELAY на рис. 18) и устройство готово. Здесь сигналы левого L (с разъе-

Рис.17



но-динамиков-в-ванне», магнитофонных и микросхемно-зарядово-связных (на ИМС SAD1024 charge-coupled sampling analog delay, выпускавшейся серийно в 80-х годах прошлого века) вариантов, автор решил попробовать реа-

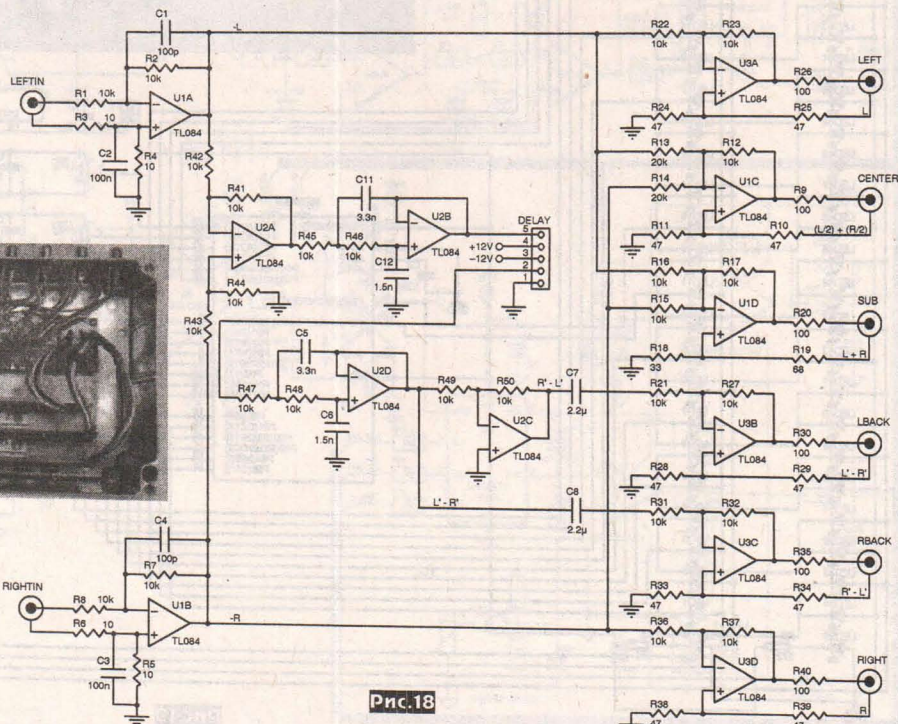


Рис.18

лизовать аналоговую линию задержки на 10 мс последовательным соединением необходимого количества все-пропускающих фазовых фильтров Томаса первого порядка (рис. 15). Здесь каждое звено из

ДАЙДЖЕСТ

ма LEFTIN) и правого R (с разъема RIGHTIN) каналов после входных инвертирующих повторителей U1A, U1B без преобразований поступают на инверторы-повторители U3A, U3D левого LEFT и правого RIGHT фронтальных каналов. Сумматоры на ОУ U1C и U1D формируют сигналы (L+R) для центрального (CENTER) и сабвуферного (SUB) каналов. Вычитатель на ОУ U2A формирует разностный сигнал L-R, который после активного ФНЧ второго порядка с частотой среза 7,5 кГц на ОУ U2B подается через разъем DELAY на блок задержки. Задержанный разностный сигнал L'-R' возвращается на второй ФНЧ U2D (аналогичный U2B), где очищается от возможных радиочастотных помех. Далее сигнал L'-R' через инвертирующий буфер U3C преобразуется в сигнал R'-L' и подается на разъем правого тылового канала RBACK, а через аналогичный канал, но с дополнительным инвертором U2C - на разъем левого тылового канала.

ла LBACK. Прослушка описанного декодера вселила оптимизм - как выразился автор, «он звучит чище, свежее и менее шершаво», чем остальные, ранее испытанные Дугласом. В заключение он дал несколько советов. Во-первых, «не наступите на мои грабли»: конденсаторы C1-C24 (рис. 17) должны быть самого высокого качества, иначе возможно проявление обусловленной ними (если применить дешевую сегнетокерамику) нелинейности в виде возрастания коэффициента гармоник до нескольких процентов (вместо сотых долей %) на частотах от 100 до 500 Гц при уровнях сигнала от 0 до +20 дБ. Во-вторых, поскольку тыловые динамики обычно расположены ближе к слушателю, чем фронтальные, то для достижения наилучшего звучания уровень сигнала на них надо уменьшить на 6...9 дБ по сравнению с фронтальными («AudioXpress» №1/2013, с. 18-23).

Поскольку микроконтроллер ATmega8-P в 28-выводном пластмассово-

вом PDIPе сегодня стоит (около 2\$) чуть ли не дешевле, чем давно известная ИМС светодиодного индикатора уровня звукового сигнала (VU-метра) LM3915, Петр Хавличек решил попробовать сбрать светодиодный VU-метр на ATmega8. Оказалось, что идея просто блестящая, поскольку 23 программируемые линии ввода-вывода позволяют управлять свечением 64 светодиодов (при динамической индикации), а 6-канальный 10-разрядный АЦП без труда справится с измерением уровня не то что обоих стереоканалов, а даже 5+1. И это при том, что «старый добрый» LM3915 рассчитан только на один канал и управляет всего десятью светодиодами. Схема микроконтроллерного стерео VU-метра показана на рис. 19. Звуковые сигналы правого PRAVY и левого LEVY каналов выпрямляются диодами Шоттки D1, D2 на конденсаторах C1, C2 и через триммеры чувствительности R2, R1 подаются на второй ADC1 и первый ADC0

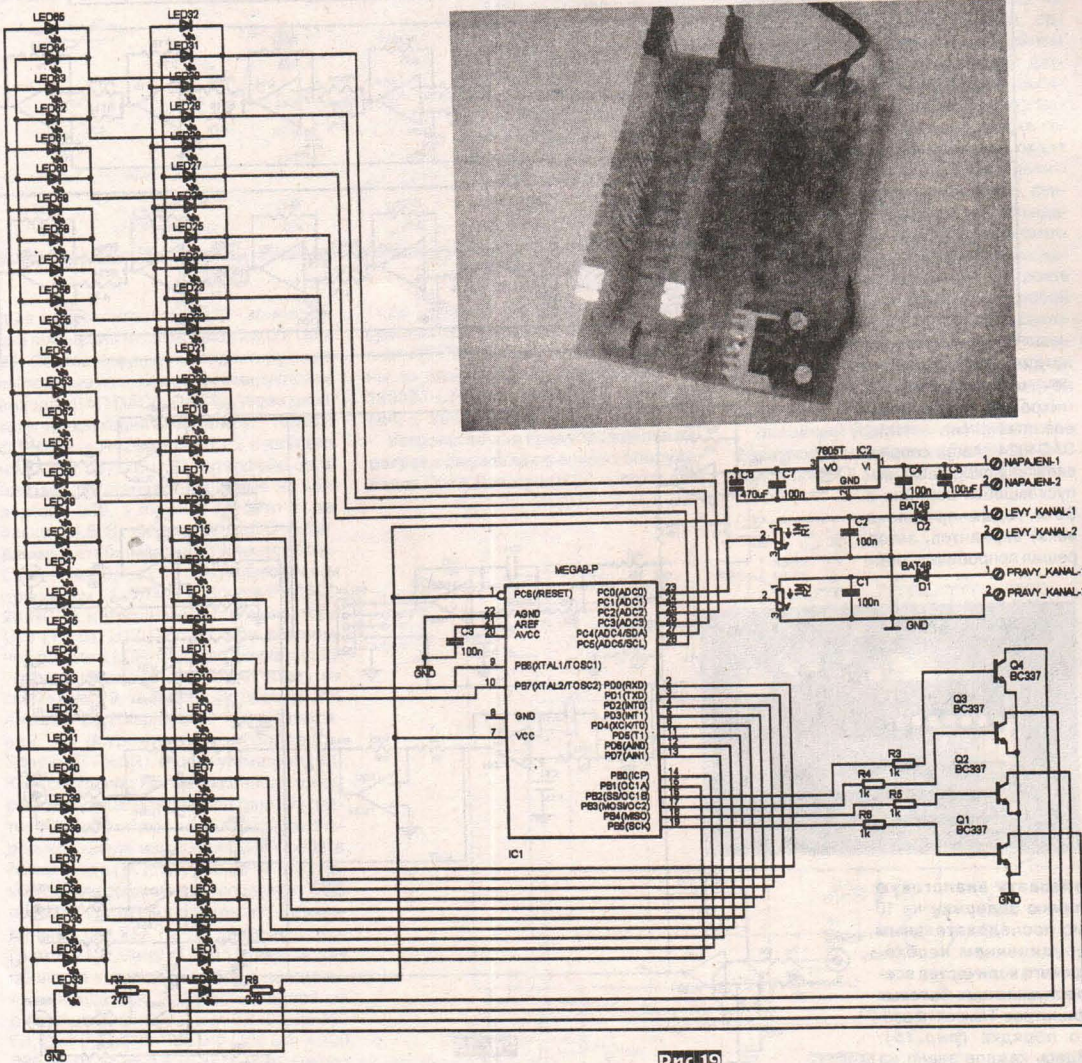


Рис.19

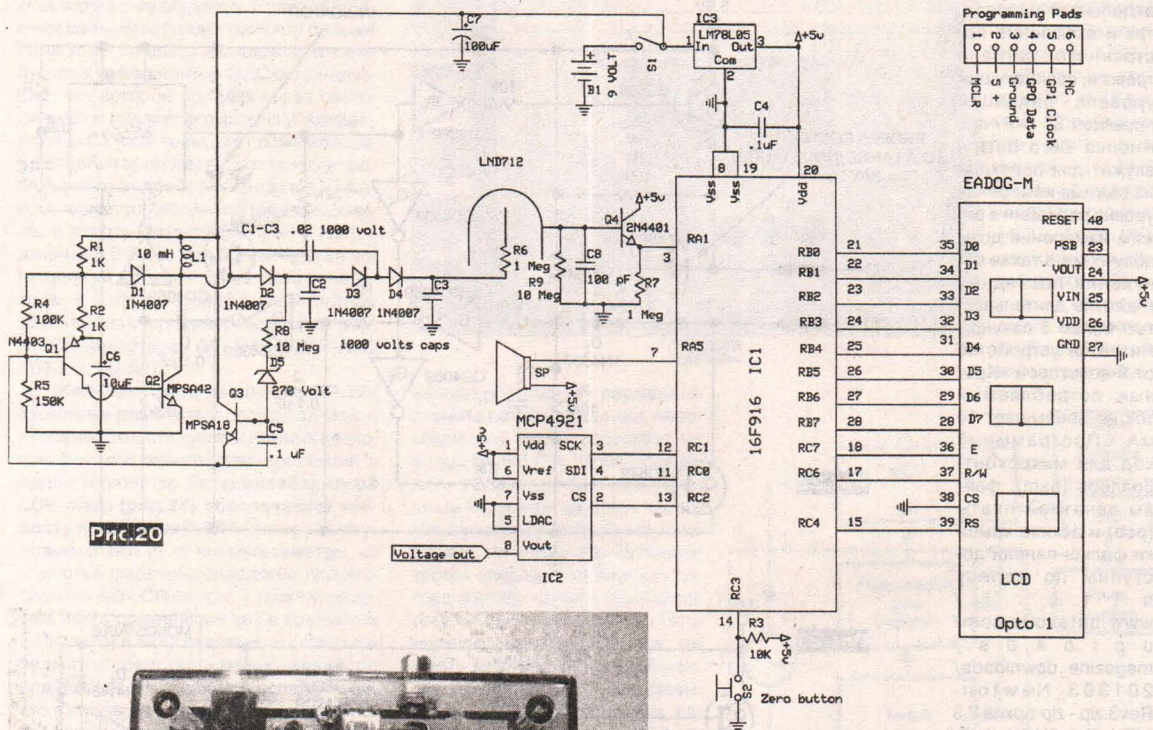
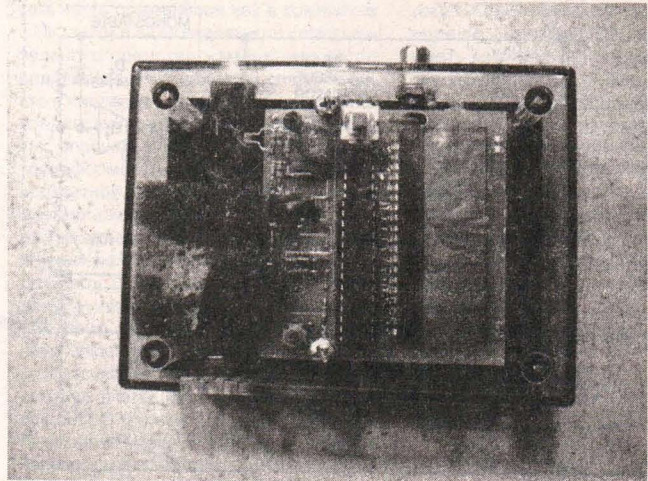


Рис.20



каналы АЦП микроконтроллера IC1. После соответствующих программных преобразований последний через 16 линий ввода-вывода, каждая из которых подключена к анодам четырех светодиодов, сгруппированных в 4 столбца динамической индикации, управляет светением светодиодов. Поскольку ток каждой линии микроконтроллера ограничен величиной 80 мА, светодиоды подключены без токоограничительных резисторов, а (средний) ток 20 мА в каждый светодиод обеспечен включением каждого столбца транзисторными коммутаторами Q1-Q4 на протяжении $\frac{1}{4}$ периода динамической индикации ($80/4=20$). Два нижних по схеме светодиода LED33 и LED66 являются индикаторами включения и питаются от напряжения питания 5 В че-

мая им мощность может достигать 3...4 Вт. Пять верхних по схеме пар светодиодов должны иметь красный цвет свечения, затем 8 пар - желтый, а остальные (нижняя часть) - зеленый. hex-файл прошивки микроконтроллера доступен по адресу <http://www.aradio.cz/programs/1211-vumetr.zip>, размер zip-архива 2 КБ («Prakticka Electronika Amaterske Radio» №11/2012, с. 18, 19 *). Примечание редакции «РХ». Полярность включения всех светодиодов необходимо изменить на обратную.

Рон Ньютон добавил к типовой схеме счетчика Гейгера микроконтроллер + ЦПУ и в результате получил **дозиметр** (измеритель ионизирующей радиации) с новыми функциями. В схеме устройства, показанной на **рис.20**, трубка Гей-

геря LND712 (примерный аналог отечественных СБМ-20, но вдвое короче, в полтора раза больше по диаметру и с большим - 500 В против 400 В - рекомендуемым рабочим напряжением, см. <http://www.lndinc.com/products/711/>) запитывается от блокинг-генератора на транзисторах Q1, Q2 через выпрямитель с утроением напряжения на диодах D2-D4. Высоковольтный стабилитрон D5 с транзистором Q3 образуют схему стабилизации напряжения, призываемую по цепи базы транзистора Q1 при достижении на конденсаторе C3 напряжения около 270 В. При этом напряжение на конденсаторе C3 (и трубке Гейгера) составляет около 600 В. Импульс тока, возникающий на катоде трубки Гейгера вследствие ударной ионизации от гамма-кванта, испускаемой радиоактивным изотопом, через развязывающий эмиттерный повторитель Q4, выполняющий одновременно функции ограничителя напряжения, подается на таймер микроконтроллера IC1, который подсчитывает число импульсов за минуту и индицирует результат на ЖКИ LCD Opto1. Одновременно с этим, IC1 по SPI интерфейсу передает данные на 12-разрядный микромощный ЦАП IC2, выход которого (Voltage out) можно подключить к самописцу или даталоггеру для непрерывной фиксации уровня радиации с масштабом 1 мВ = 1 разряд в минуту. Прибор также обеспечивает звуковую индикацию мик-

родинамиком SP как отдельного разряда, так и включение постоянного сигнала тревоги, если текущий уровень радиации превысит 30 мкР/час. Кнопка Zero button служит для перехода из режима измерения уровня радиации в режим измерения дозы облучения, а также обнуления последней (нажатие длительностью более 5 секунд). Питается устройство от 9-вольтовой «Кроны», потребляемый ток не превышает 10 мА. Программный код для микроконтроллера (asm), файлы печатной платы (pcb) и эскиза крышки фальш-панели доступны по адресу http://www.nutsvolts.com/upr/oads/magazine_downloads/2013_03_Newton-Rev3.zip - zip-архив 2,3 МБ («Nuts & Volts» №3/2013, с. 32-38*).

Автоматический генератор зондирующего импульса предложен Раджем Бадди. Он выполнен в виде

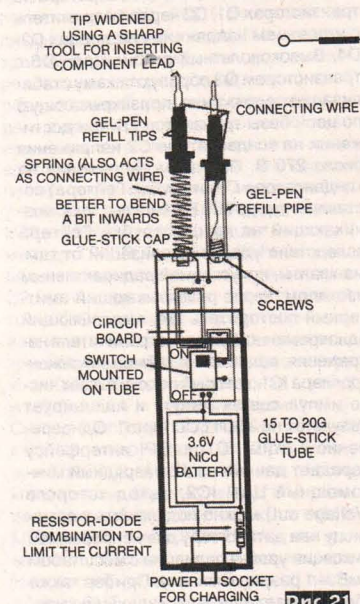


Рис.21

PROBES CONNECTED
TO A LARGE INDUCTANCE,
SAY 20 mH

Рис.22

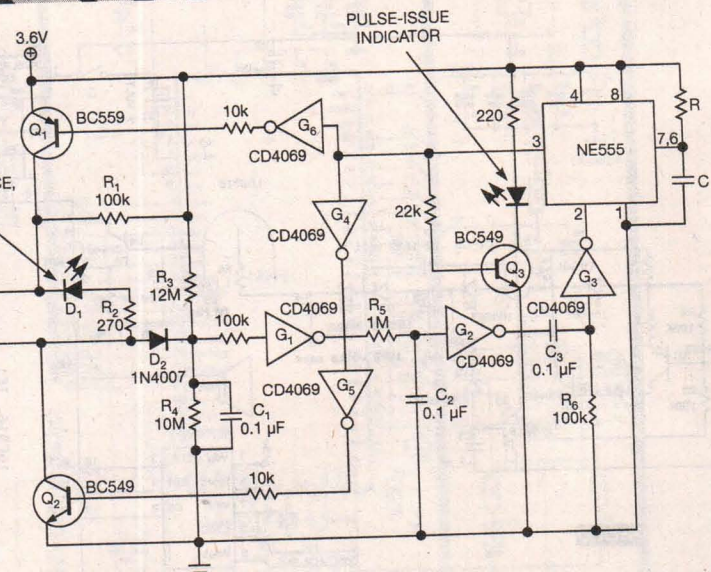
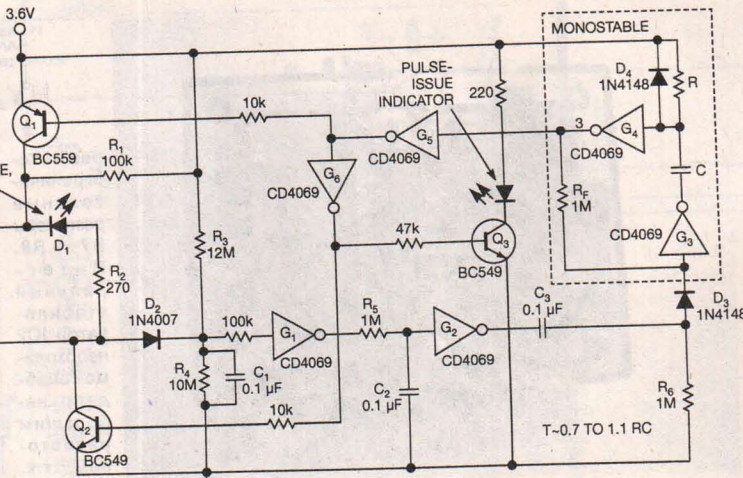


Рис.23

PROBES CONNECTED
TO A LARGE INDUCTANCE,
SAY 20 mH



гаджета с двумя щупами (рис. 21), подключаемыми к контактам логического элемента, светодиода на печатной плате, реле, трансформатора и т.п. элемента, работоспособность которого проверяется подачей на него однократного импульса напряжения. Пока щупы свободны, делитель R3R4 (рис. 22) формирует на входе КМОП инвертора G1 (отечественный аналог K561ЛН2) потенциал чуть ниже порога логической 1, в результате чего на выходе G1 присутствует логический 0, а на выходе G2 - логическая 1. Транзисторные ключи Q1 и Q2 закрыты, а цепочка элементов R1D1R2D2 ввиду обратносмещенного D2 обладает большим сопротивлением и никак не влияет на текущее состояние устрой-

ства. Но как только к щупам подключится тестируемый элемент (резистор, катушка индуктивности, диод и т.д.), его меньшее, чем R3 сопротивление сместит напряжение на входе G1 в зону логической 1, в результате чего по цепочке G1-G2-дифференцирующая C3R6-G3 запустится моновибратор на интегральном таймере 555. Одиночный импульс на выходе (выход 3) последнего длительностью примерно 1,1RC через ключевой Q3 засветит индикаторный светодиод PULSE-ISSUE INDICATOR, а через инверторы G4-G6 одновременно откроетключи Q1, Q2. На щупах и подключенным к ним элементе сформируется импульс напряжения амплитудой около 3 В. Процесс повторится только в том случае,

если щупы оторвать и вновь подключить к тестируемому элементу. Если тестируемая цепь имеет индуктивность больше 20 мГн, то по сладу зондирующего импульса в ней возникнет ЭДС самоиндукции, ток которой пройдет через светоизлучающий диод D1 и вызовет его вспышку. Конденсаторы C1 и C2 повышают помехозащищенность и предотвращают ложные срабатывания от дребезга контактов. Питается гаджет от небольшой никель-кадмийевой аккумуляторной батареи с напряжением 3,6 В. На рис.23 изображен упрощенный вариант описанного генератора, в котором интегральный таймер 555 заменен моновибратором на двух КМОП-инверторах G3, G4 («EDN» №2/2013, с. 50-52).

Жан-Жак Обри своими изящными схемными решениями развел миф о несовместимости чувствительных аналоговых и микроконтроллерных секций в одном устройстве. Его малогабаритный LCR-метр (рис.24) обеспечивает точность измерения 0,05%, которой могут позавидовать не то что мультиметры, но и многие фабрично-заводские профессиональные LCR-метры, а также универсальность применения как в комплексе с ПК, так и в виде отдельного самостоятельного средства измерения. Автор разработал свой прибор в связи с тем, что в последнее время все больше smd-конденсаторов не имеют маркировки, как, впрочем, и катушки индуктивности, трансформаторы и т.д. Кроме того, для адекватной оценки пригодности для конкретной схемы очень желательно знать не только емкость конденсатора С или индуктивность катушки L, но и их добродобротность Q; описанный ниже прибор обеспечивает одновременное измерение двух параметров подключенного двухполюсника (например, L и Q) и даже отображает на ЖК дисплее его эквивалентную схему. Блок-схема аналоговой секции LCR-метра показана на рис.25. Принцип измерения основан на самобалансирующемся мосте переменного тока синусоидальной формы изменяемой (100 Гц ... 10 кГц) частоты, который формируется генератором Generator и через резистор R1 подается в измеряемый двухполюсник DUT (Device Under Test). Напряжение на DUT измеряется дифференциальным усилителем INA128 в режиме схемы положения Voltage переключателя на 2 направления, а ток через DUT, проходя через резистор-сенсор Rsense, в цепи ООС ОУ (IU converter), формирует на выходе последнего напряжение, пропор-

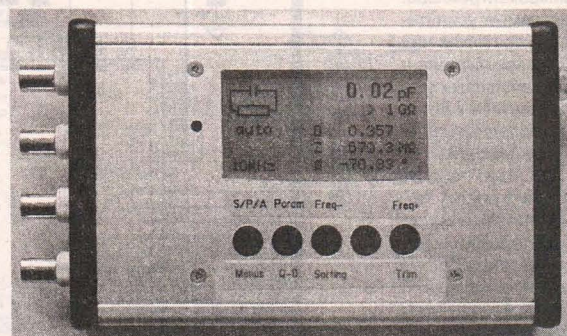


Рис.24

циональное току, и в верхнем положении Current переключателя также поступает на входы ДУ INA128. Чтобы определить параметры DUT, остается лишь поделить напряжение на ток с учетом их фазовых соотношений. Но чтобы эта математическая операция не вносила погрешностей, каналы измерения тока и напряжения должны быть хорошо согласованы, т.е. не иметь дрейфов ни коэффициентов усиления, ни сдвига фазы. Именно поэтому Жан-Жак использовал один и тот же канал усиления как для напряжения, так и для тока, применив на входе коммутатор. Кроме того, для достижения минимальной погрешности оцифровки АЦП (он встроен в микроконтроллер, о котором рассказано ниже) амплитуда подаваемого на его вход аналогового сигнала максимизируется (но, разумеется, так, что остается ниже порога ограничения) программируемым усилителем PGA103 (грубо, x1, x10, x100) и умножающим ЦАПом

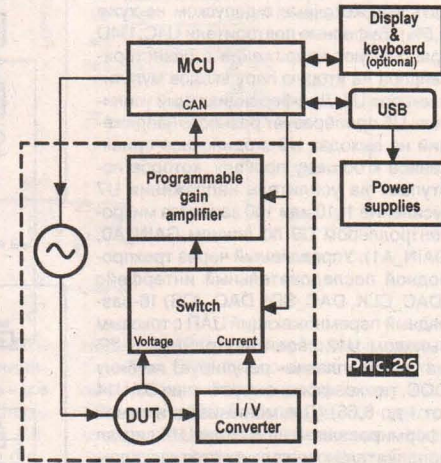


Рис.26

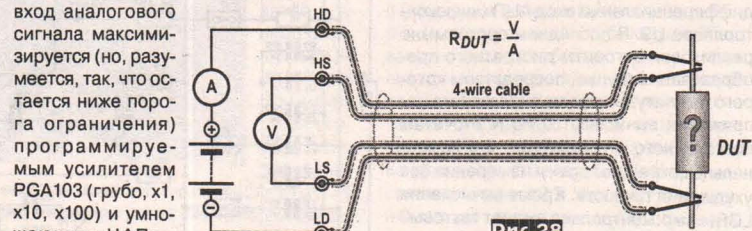


Рис.28

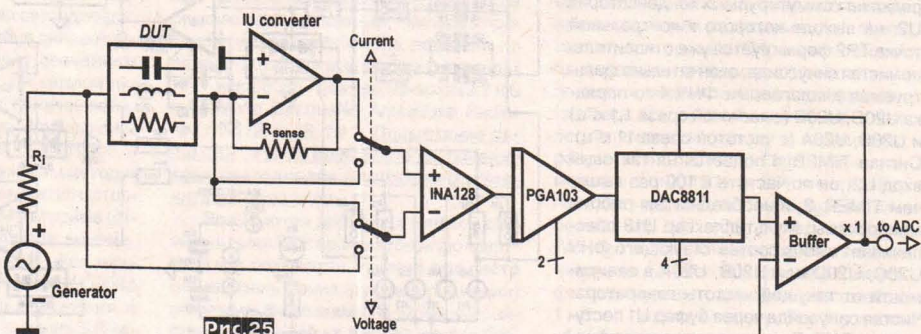


Рис.25

DAC8811, резистивная матрица которого включена в цепь ООС ОУ Buffer (точно, от x1 до x8,66 на 16 шагах). Управление как уровнем, так и частотой осуществляется микроконтроллером MCU (рис.26), служащий основой цифровой секции, в которую, кроме того, входят USB/UART конвертер для связи с

ДАЙДЖЕСТ

ПК и точечный (128x64) графический ЖК дисплей Display с кнопочной станцией Keyboard для автономной работы. Принципиальная схема LCR-метра приведена на рис.27. Здесь нижняя левая часть содержит элементы измерительного моста, верхняя левая - микроконтроллер, нижняя правая - управляемые усилители с синусоидальным генератором над ними, верхняя правая - блок питания и интерфейсы для связи с внешними устройствами. DUT подключается к контактам J10-J12 прибора 4-проводным кабелем (пробником Кельвина, рис.28). Буферные повторители U4A, U4B передают на входы двухканального аналогового мультиплексора U8 напряжение на DUTе. На ОУ U6 собран преобразователь ток-напряжение (IU converter на рис.25), резистор-сенсор тока в цепи ООС которого выбирается 4-канальным аналоговым мультиплексором U3 из резисторов R18, R20, R21, R22 (от них в первую очередь зависит точность измерения, поэтому здесь следует использовать высокоточные с допуском не хуже 0,5%). Буферные повторители U4C, U4D транслируют напряжение с резистор-сенсора на вторую пару входов мультиплексора U8. Дифференциальный усилитель U5 преобразует разность напряжений на выходах U8 в одиночное привязанное к общему проводу, которое поступает на усилитель напряжения U7 (усиление 1, 10 или 100 задается микроконтроллером U9 по линиям GAIN_A0, GAIN_A1). Управляемый через трехпроводной последовательный интерфейс (DAC_CLK, DAC_SD1, DAC_CS) 16-разрядный перемножающий ЦАП с токовым выходом U12 своей внутренней R-2R матрицей «главно» регулирует глубину ООС, т.е. коэффициент усиления ОУ U14 (от 1 до 8,66). Для минимизации помех сформированный на выходе U14 сигнал дополнительно инвертируется каскадом на ОУ U11 и в дифференциальном виде по линиям ADC0, ADC1 поступает на дифференциальный вход АЦП микроконтроллера U9. В последнем программно реализован алгоритм дискретного преобразования Фурье, посредством которого амплитуды и фазы аналогового напряжения вычисляются по N отсчетам всего одного его периода, что кардинально сокращает время измерения без ухудшения точности. Кроме вычисления LCR, микроконтроллер выдает тактовый меандр TIMER_2 на вход ФНЧ 8-го порядка на коммутируемых конденсаторах U2, на выходе которого в контрольной точке TP2 формируется уже относительно чистая синусоида, окончательно фильтруемая аналоговыми ФНЧ 4-го порядка U20C, U20D (с частотой среза 1,1 кГц) и U20B, U20A (с частотой среза 11 кГц). Сигнал TIMER_4 подается на тактовый вход U2, он по частоте в 100 раз выше, чем TIMER_2, и необходим для работы микросхемы. Мультиплексор U13 обеспечивает выбор соответствующего ФНЧ U20C, U20D или U20B, U20A в зависимости от текущей частоты генератора. Чистая синусоида через буфер U1 поступает на DUT. Еще одна аналоговая фун-

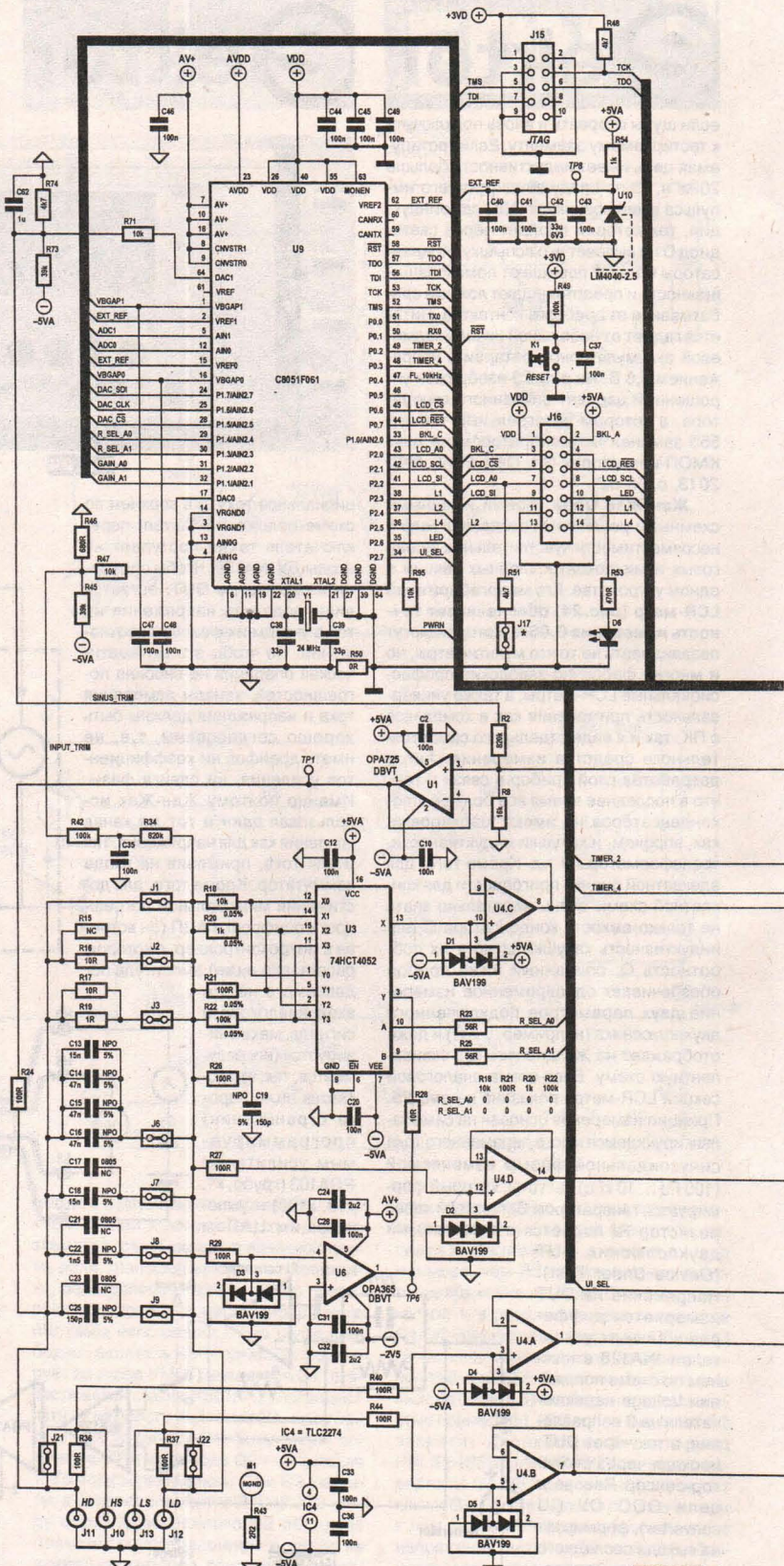


Рис.27а

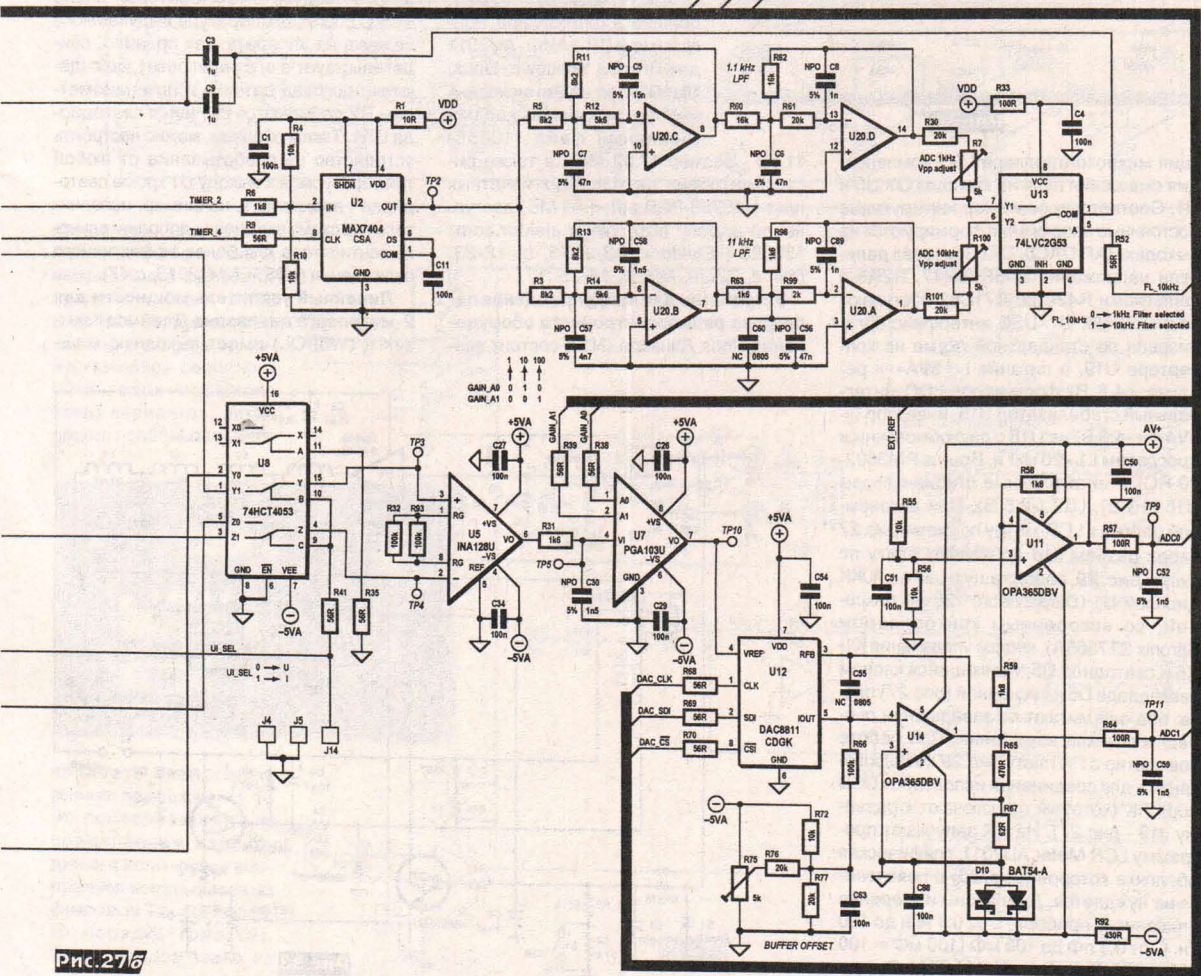
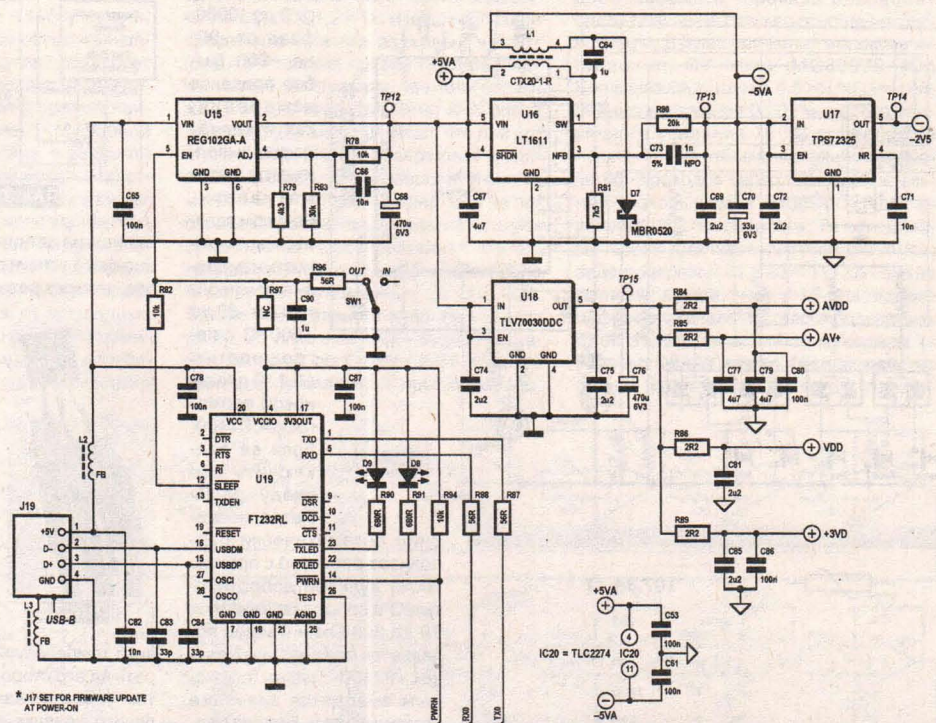


Рис.27б

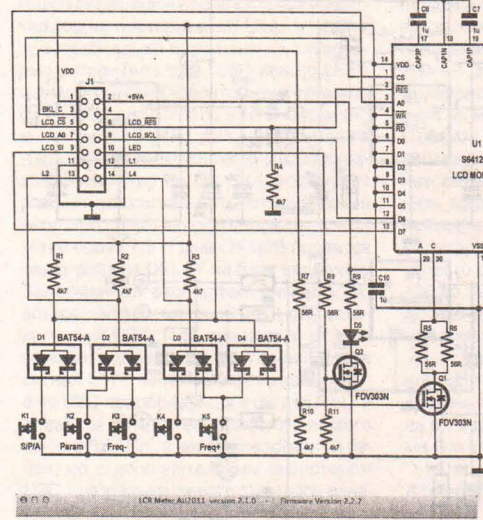


Рис.29

дний автоматически распознает резистор с практически нулевой добротностью Q и сопротивлением от 70 до 300 Ом и в меню появляется специальный значок «PT100», рядом с которым выводится значение температуры. Бутлоадер, прошивка контроллера, программа LCR Meter AU2011 для ПК под Windows, Linux, Mac OSX со всеми исходными программными кодами (архивный файл 110758-11.zip - размер 17,02 МБ), а также рисунками обеих двухслойных печатных плат (110758-PCB.pdf, 1,41 МБ) доступны по адресу <http://www.elektor.com/130099> (*«Elektor» №3/2013, с. 12-23, №4, с. 22-30, №5, с. 18-25 *.*)

Устройство для предупреждения перегрева радиоэлектронного оборудования Пола Дэнзера (N1II) состоит все-

го лишь из датчика температуры, операционного усилителя, двух потенциометров, четырех резисторов и в качестве индикатора - красного светодиода (рис.31). ИМС датчика температуры подпаивается к плате на трех проводах (рис.32) и расположается возле выходного отверстия вентилятора. В начале настройки потенциометром R1 устанавливают напряжение 2 В на выводе движка, соединенным с крайним справа выводом датчика температуры NTE7225 (если смотреть на его сторону с маркировкой). Затем устанавливают датчик потока горячего воздуха с температурой около +65°C (такая температура выдуваемого воздуха из аппарата, как правило, свидетельствует о его перегреве), дожидаются прогрева датчика и потенциометром R2 добиваются свечения светодиода DS1. Таким образом, можно настроить устройство на срабатывание от любой температуры, а к выходу U1 кроме светодиода - подключить, например, исполнительную схему включения дополнительного вентилятора для более эффективного охлаждения («*QST*» №4/2013, с. 47).

Линейный усилитель мощности для 2-метрового диапазона Джеймса Клинзинга (W6PQL) имеет выходную мощ-

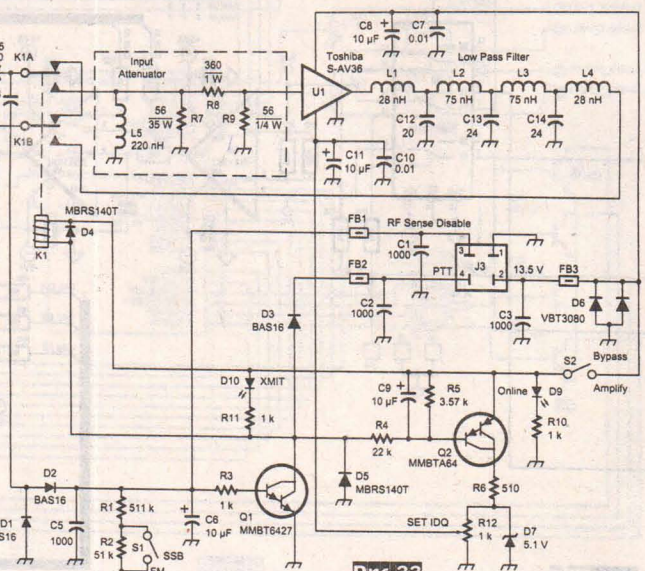


Рис.33

ции микроконтроллера U9 - компенсация смещения нуля на выходах ОУ U6 и U1. Соответствующие корректирующие постоянные напряжения формируются на выходах ЦПФ DAC0, DAC1 и через делители напряжения R45R46R47, R2R8 с фильтрами R42C35, R71C62 поступают на входы U6, U1. USB интерфейс организован по стандартной схеме на конвертере U19, а питание (+5ВА = реально +4,6 В) формируют LDO интегральный стабилизатор U15, инвертор (+5ВА = -4,6 В) на U16 с двухобмоточным дросселем L1 - 20 мГн, Bourns PM3602-20-RC) и интегральные стабилизаторы U18 (+3 В, U17 -2,5 В). При автономной работе к LCR-метру по схеме рис.27 через разъем J16 добавляют плату по схеме рис.29, содержащую цветной ЖК дисплей U1 (Displaytech, 128x64 пикселей, со встроенным контроллером Sitronix ST7556R), кнопки управления K1-K5 и светодиод D6 на основной (рис.27) плате: оба они мигают по завершении очередного цикла измерения. При работе совместно с ПК плату рис.29 не подключают, а для соединения используют USB порт ПК (который подключают к разъему J19 - рис.27). На ПК запускают программу LCR Meter AU2011, графическая оболочка которой (рис.30) в пояснениях не нуждается. Диапазоны измерения описанного прибора: L от 0,1 нГн до 100 Гн, С от 0,1 пФ до 100 мФ (100 мФ = 100 000 мкФ), R от 0,1 мОм (0,0001 Ом) до

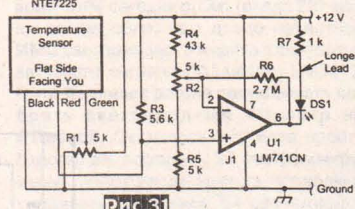


Рис.31



Рис.32



ность не менее 80 Вт при работе SSB, CW или FM (рис. 33), при этом на вход достаточно подать Рвх=50 мВт, а с дополнительным аттенюатором R7-R9 - до Рвх=10 Вт (таблица 1). На схеме (рис.33) показан вариант для работы с Рвх=10 Вт. В качестве усиленного элемента автор использовал тошибовский модуль усилителя мощности S-AV36 (U1 на рис.33). Этот модуль имеет на 2-метровом диапазоне входное и выходное сопротивления по 50 Ом, напряжение питания 13,5 В с током потребления до 15 А. На выходе усилителя установлен ФНЧ L1-L4,C12-C14, где катушки бескаркасные с внутренним диаметром 4 мм, выполнены проводом диаметром 1 мм: L1, L4 - по 4 витка, длина катушек по 8 мм, L2, L3 - по 7 витков, длина катушек по 10 мм.

Таблица 1

Рвх, Вт	Подавление, дБ	R7, R9, Ом	R8, Ом
1	13,0	79	106
2	16,0	69	154
3	17,8	65	191
4	19,0	63	220
5	20,0	61	248
6	20,8	60	272
7	21,5	59	295
8	22,0	59	313
9	22,6	58	335
10	23,0	58	351

Таблица 2

Рвх, Вт	Рвых, Вт	Ипот, А (U=13,5 В)
1	12	8,2
2	29	9,0
3	44	9,5
4	53	10,0
5	66	11,0
6	74	11,5
7	80	12,0
8	85	12,5
9	89	12,8
10	92	13,0

тель как поступающим на его вход ВЧ напряжением от трансивера, так и педалью PTT. В первом случае ВЧ напряжение с J1 через C4 выпрямляется D1D2, что приводит к открытию Q1 и Q2, срабатыванию реле K1 и подаче с R12 рабочего смещения на усиленный модуль U1. Во втором случае при нажатии кнопки (педали) PTT контакт 4 разъема J3 соединяется с общим проводом и далее автомата срабатывает также, как и в первом случае. Переключателем S1 выбирается необходимая постоянная времени пикового выпрямителя для надежного переключения на передачу как в FM, так и SSB. Светодиод D9 сигнализирует о готовности усилителя, а D10 - о его работе. Настройку усилителя начинают с установкой рабочего смещения усилителя для оптимального усиления как в FM, так и в SSB режимах. Для этого нажимают кнопку PTT и в отсутствии входного сигнала потенциометром R12 устанавливают ток потребления U1 8 А. Затем включают между выходом U1 и ФНЧ KCB-метр, а на выходе эквивалент нагрузки, и подав на вход Рвх=1...2 Вт добиваются KCB=1 сдвигая или раздвигая витки катушек ФНЧ. В конце настройки проверяют соответствие таблице 2 при реальной антенне и Рвх от 1 до 10 Вт. На рис.34 показан монтаж, а на рис.35 - внешний вид усилителя («QST» №5/2013, с.30-34).



Magazin für Amateurfunk
Elektronik · Funktechnik

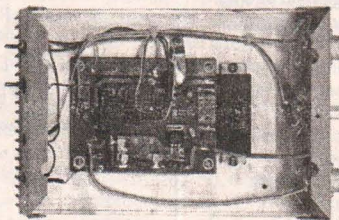


Рис.34



Рис.35

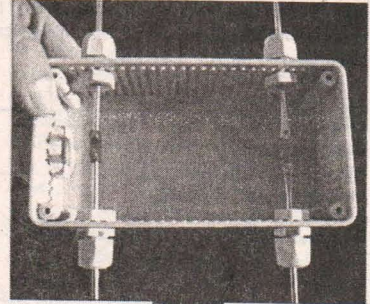


Рис.38

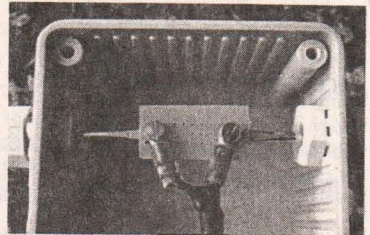


Рис.39

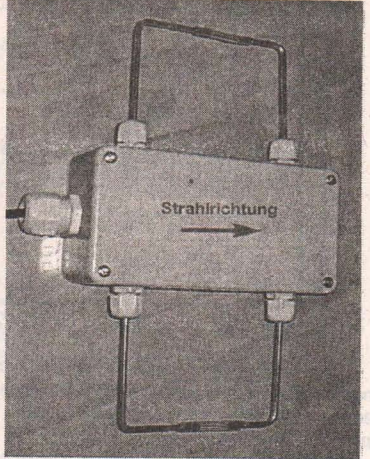


Рис.40

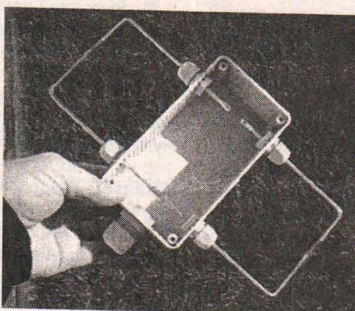
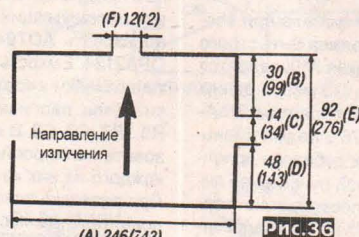


Рис.37

на рис.36 элементы вставляют во втулки как показано на рис.37. Для удобства монтажа рефлектор разрезают по средине стороны А (рис.36) и после монтажа соединяют металлической перемычкой как показано на рис.38, предварительно расклепав концы и нарезав соответствующую резьбу под винты M3...M2. Наружные концы элементов в участках С (рис.36) фиксируют термоусадочными трубками. Кабель питания RG58 подключают к вибратору в участке F (рис.36) как показано на рис.39 с помощью винтов M2...M3 и стеклотекстолитовой планки. Общий вид готовой антенны показан на рис.40. Расчетное усиление антенны - около 3,5 дБд, отношение излучений фронт/тыл - около 20 дБ («Funkamateur» №5/2013, с.528-529).

Пассивные Боде для винила

Александр Петров, г. Могилёв

Подавляющее большинство корректоров RIAA выполнены с активной коррекцией, часть с комбинированной и только небольшая часть с пассивной коррекцией. При записи на пластинки в звуковой сигнал вносятся предыскажения в соответствии с рис. 1, линия Recording.

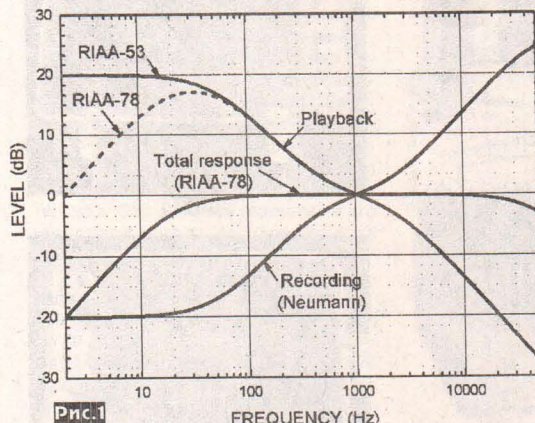
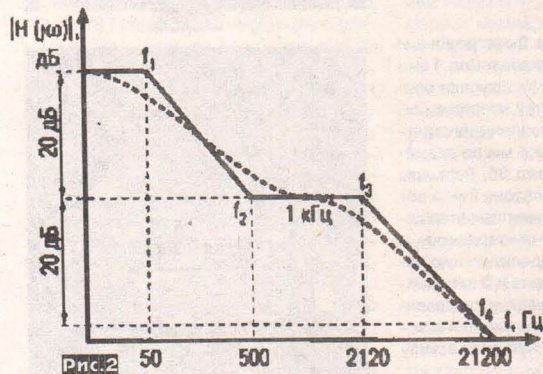


Рис.1



Для полного восстановления исходного сигнала при воспроизведении АЧХ усилителя-корректора должна быть строго зеркальной АЧХ записи, линия Playback. Такая АЧХ задается двумя полюсами 50 Гц (3180 мкс) и 2122 Гц (75 мкс) и одним нулем 500 Гц (318 мкс) в соответствии со стандартом RIAA-53, рис. 2. В более новом стандарте RIAA-78 с целью уменьшения перегрузки на инфразвуковых частотах добавлен дополнительный полюс на частоте 20 Гц (7950 мкс), пунктирующая линия. Однако, многие меломаны по сей день предпочитают корректоры с RIAA-53, считая что с RIAA-78 АЧХ на НЧ «подрезана».

Активная коррекция получила распространение с легкой рукой Питера Баксандалла, который в 1952 году опубликовал активный регулятор тембра. С тех пор утекло много воды, пока наконец разобрались, что активная коррекция приносит больше вреда звуку, чем пользы.

Основные структуры корректоров с пассивной коррекцией со коэффициентом передачи на частоте 1 кГц, равном 40 дБ, показаны на рис. 3. Первая из них предусматривает два каскада усиления с коэффициентом передачи по 30 дБ с цепями коррекции между ними. Недостаток этого простого решения - в определенной сложности расчета цепей коррекции из-за их взаимного влияния. Достоинством является предельно короткий тракт.

Второй вариант также выполнен на двух усилителях, но цепи коррекции разнесены. Между первым и вторым каска-

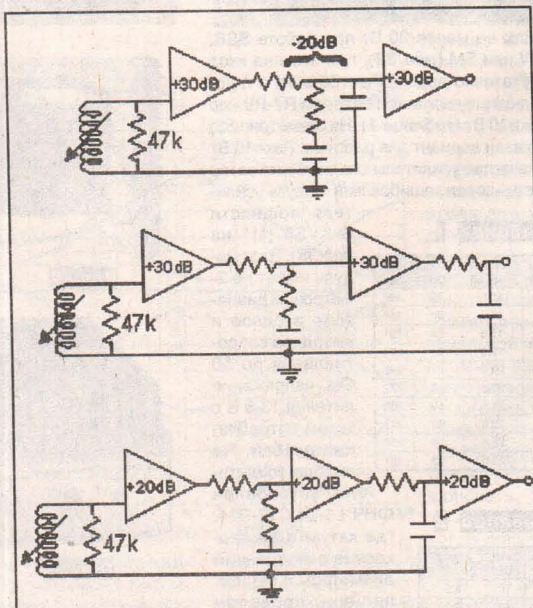
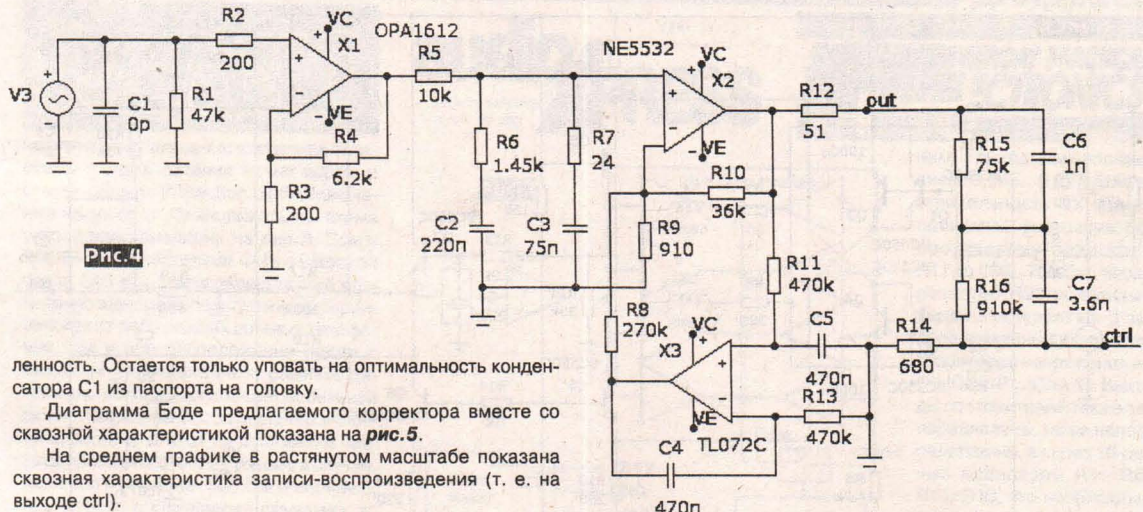


Рис.3

дом стоят RC-цепи, формирующие первый полюс и ноль, а на выходе - цепь с постоянной времени 75 мкс. Недостатком этого варианта является то, что он критичен к сопротивлению нагрузки, т. е. к входному импедансу следующего каскада. Для устранения этого недостатка в третьем варианте добавлен буфер, что удлиняет тракт и это тоже можно рассматривать как недостаток. С другой стороны, перераспределение коэффициента усиления по 20 дБ на каскад увеличивает перегрузочную способность.

Поэтому остановимся на первом варианте реализации - рис. 4. Корректор предназначен для работы с магнитной головкой с подвижным магнитом. Для головки с подвижной катушкой необходимо использовать дополнительный малошумящий линейный предусилитель. В качестве входного усилителя использован малошумящий ОУ типа OPA1612. Вместо него можно использовать AD794, LME49710, LM4562, OPA2228, LM837, OPA2134. Ёмкость конденсатора C1 не указана, так как её установливают в соответствии с паспортом используемой головки. Цепи пассивной коррекции выполнены на элементах R5...R7, C2, C3. В качестве конденсаторов желательно использовать полипропиленовые и подобрать суммарную ёмкость каждого из них как можно точнее к номинальному значению. При разводке печатной платы желательно предусмотреть дополнительные места для набора необходимого номинала. Резисторы также необходимо отобрать с отклонением не более 1 %. Выходной каскад можно выполнить на одной из ранее указанных микросхем или на более дешевой и распространенной аудиофильской микросхеме NE5532. Коэффициент передачи корректора, а также выравнивание чувствительностей по каналам можно корректировать с помощью одного из резисторов в ОС ОУ, например с помощью R10. Для обеспечения нуля на выходе усилителя служит неинвертирующий интегратор на X3. Если на выходе усилителя последовательно с R12 поставить конденсатор ёмкостью 2,2 мкФ и более, то интегратор можно исключить.

Так как тестовые пластинки достаточно дефицитны, то для сверки получившейся АЧХ удобно пользоваться инверсной RIAA [1] с коэффициентом передачи на частоте 1 кГц минус 40 дБ, выполненной на элементах R14...R16, C6, C7. Правда, на высоких частотах все равно остается некоторая неопределен-



ленность. Остается только уповать на оптимальность конденсатора C_1 из паспорта на головку.

Диаграмма Боде предлагаемого корректора вместе со сквозной характеристикой показана на **рис.5**.

На среднем графике в растянутом масштабе показана сквозная характеристика записи-воспроизведения (т. е. на выходе ctrl).

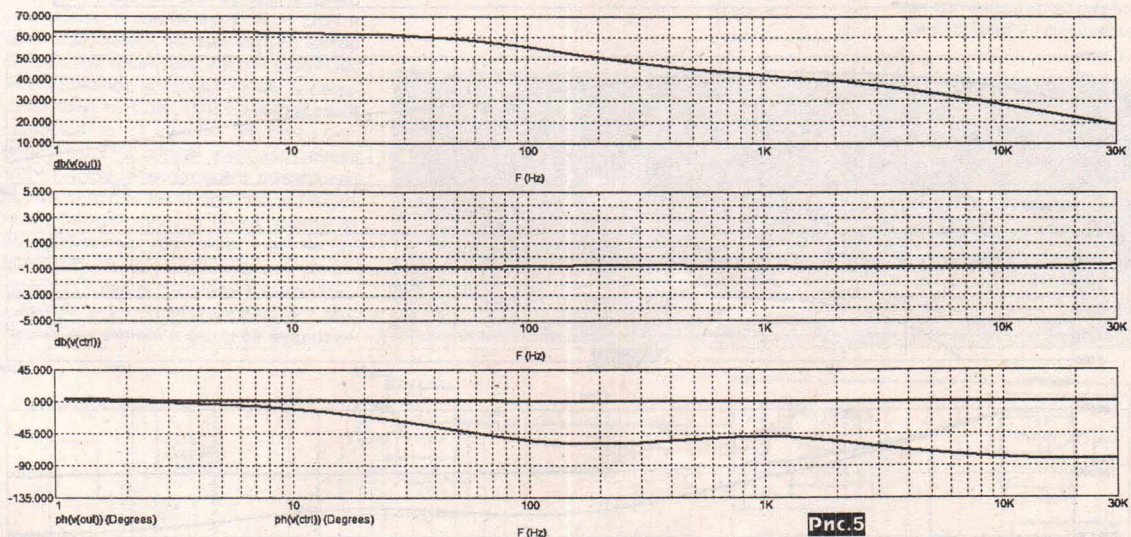


Рис.5

Из графиков видно, что процесс абсолютно обратим, чего не скажешь о магнитной записи.

Так как в цепях коррекции используются конденсаторы, то конечный результат будет зависеть не только от качества ОУ, источников питания и топологии печатной платы, но и от типа используемых конденсаторов. Чтобы избежать головной боли по выбору типа конденсаторов, можно обойтись без них (почти без них), используя RL-цепи коррекции, **рис.6** (см. с. 40).

Корректор выполнен на однокаскадном усилителе типа сломанный каскод без ООС и наверняка придется по вкусу сторонникам предельно короткого тракта и любителям безОС-ных усилителей. В качестве Q1-Q8 использованы широко распространенные малошумные транзисторы типов BC550C, BC560C. С целью уменьшения шумов входные транзисторы сдвоенные (иногда ставят до четырех и более спаренных транзисторов, ОУ). В качестве замены можно использовать 2SA1083/2SC2545; 2SA1269/2SC3201; 2SA872/2SC1175; 2SB772/2SD787, а также отечественные КТ3102, КТ3107, отбрав их с коэффициентом передачи не менее 400.

Частотная коррекция выполнена с помощью элементов R7, R8, L1, L2 и дополнительно (не обязательно) на самых высоких частотах с помощью R13, C4. Номиналы резисторов R7, R8 указаны без учета активной составляющей индуктивностей. Их необходимо уменьшить на величину сопротивлений индуктивностей, т.е на 3 и 2 Ома соответственно (см. ниже). Если к резистору R8 схема менее критична (определяет коэффици-

ент передачи на частоте 1 кГц и постоянную времени 75 мкс), то резистор R7 совместно с эквивалентным сопротивлением эмиттерных переходов входных транзисторов (около 5 Ом) отвечает за коэффициент передачи на частотах ниже 50 Гц и совместно с индуктивностью L1 за постоянную времени 3180 мкс. Поэтому его желательно подобрать на действующем разце по максимально плоской АЧХ в области НЧ.

Индуктивность L1 выполнена на ферритовом кольце 2000НМ1 типоразмера K20x12x6 и содержит 235 витков провода ПЭЛ Ø0,2; сопротивление 3 Ома. Индуктивность L2 выполнена на ферритовом кольце 2000НМ1 типоразмера K16x10x4,5 и содержит 165 витков провода ПЭЛ Ø0,2; сопротивление 1,65 Ома. Количество витков уточняются при намотке из-за разброса параметров феррита.

Электролитические конденсаторы C2, C3 желательно зашунтировать неполярными полипропиленовыми конденсаторами емкостью 0,47...1,0 мкФ.

Усилитель обладает высокой перегрузочной способностью (не менее 20 дБ при питании ± 15 В), чего не скажешь о корректорах с другими типами пассивной коррекции. Входные транзисторы работают в режиме преобразователей напряжение-ток и благодаря частотнозависимым цепям в эмиттерах транзисторов ток коллектора входных транзисторов пропорционален исходному сигналу при записи.

Коэффициент передачи корректора можно регулировать в широких пределах с помощью резистора R11. Для исключе-

Рис.6

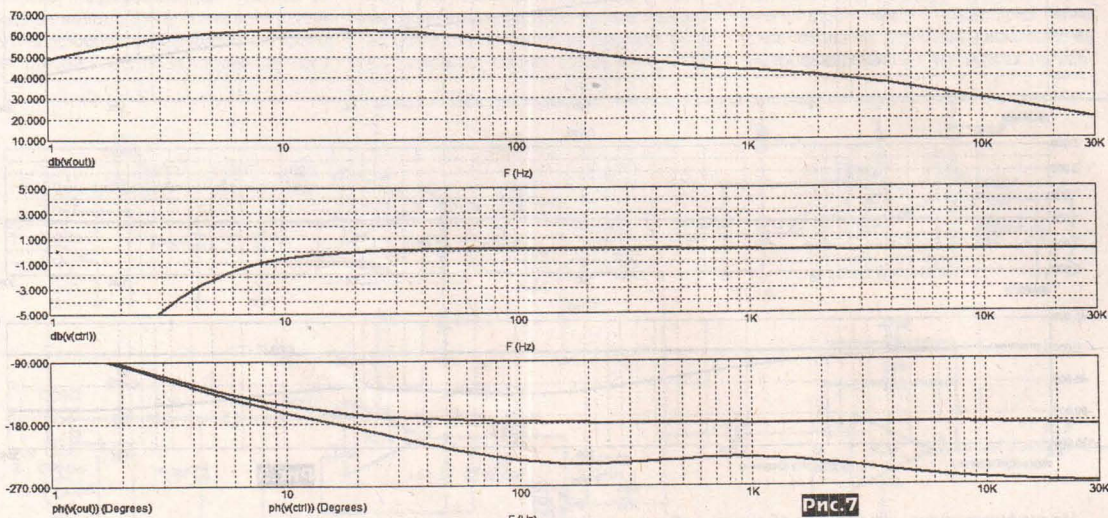
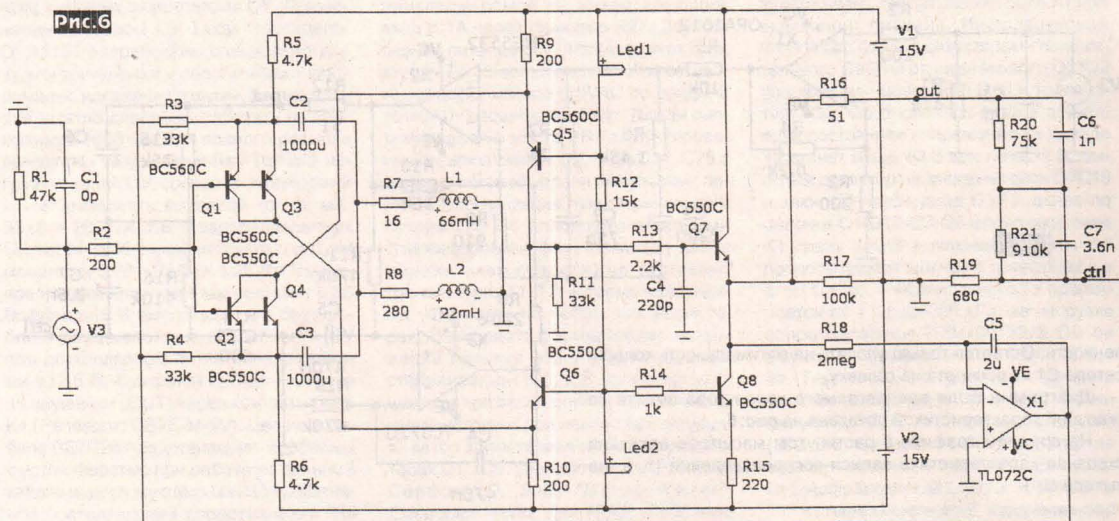


Рис.7

ния влияния нагрузки на выходе корректора включен буферный каскад в виде эмиттерного повторителя на транзисторе Q7.

Так же как и в предыдущей схеме, для поддержания нуля на выходе корректора использован интегратор (но на этот раз инвертирующий) на X1. Для минимизации переходных процессов при включении одним из резисторов R5, R6 добиваются нуля на выходе интегратора.

Для проверки результирующей АЧХ к выходу подключена инверсная RIAA [1]. Диаграмма Боде этого корректора показана на рис.7.

На среднем графике в растянутом масштабе показана сквозная характеристика записи-воспроизведения (выход ctrl). Благодаря наличию конденсаторов C2, C3 АЧХ корректора в области инфразвуковых частот имеет промежуточное положение между RIAA-53 и RIAA-78.

Проверку нелинейных искажений можно сделать следующим образом. Учитывая, что типовое значение выходного напряжения с головок с подвижным магнитом (ММ) на частоте 1 кГц равно 5 мВ, то для частоты 20 кГц будем считать, что оно в 10 раз больше (на 20 дБ). Так как программа не может правильно считывать нелинейные искажения при больших фазовых отклонениях выходного напряжения по отношению к входному, то для этой цели воспользуемся вспомогательным конт-

рольным выходом ctrl с инверсной схемой RIAA. Проведем измерения при номинальном входном сигнале, при уменьшении в 10 раз сигнала и при перегрузке на 20 дБ (10 раз).

Результаты проверки обоих схем на частоте 1 и 20 кГц свидетельствуют о высоком качестве обработки звука.

На частоте 20 кГц корректор на ОУ «переварил» только 400 мВ. При малых входных сигналах искажения обоих схем соизмеримы. Искажения корректора на ОУ не зависят от уровня

Таблица 1

Частота, кГц	Уровень напряжения, мВ	Коэффициент НИ (Kr), %	
		На ОУ	На транзисторах
1	0,5	0,002	0,002
	5	0,002	0,004
	50	0,002	0,02
20	5	0,0015	0,002
	50	0,0015	0,0045
	500	0,005 (400 мВ)	0,05 (500 мВ)

сигнала, в то время как искажения корректора на транзисторах имеют тенденцию к росту с ростом сигнала. В целом корректор на сломанном каскаде по искажениям почти не уступает корректору на ОУ, а по перегрузочной способности его пре-восходит. И это при том, что он не имеет ООС и выполнен всего на одном каскаде.

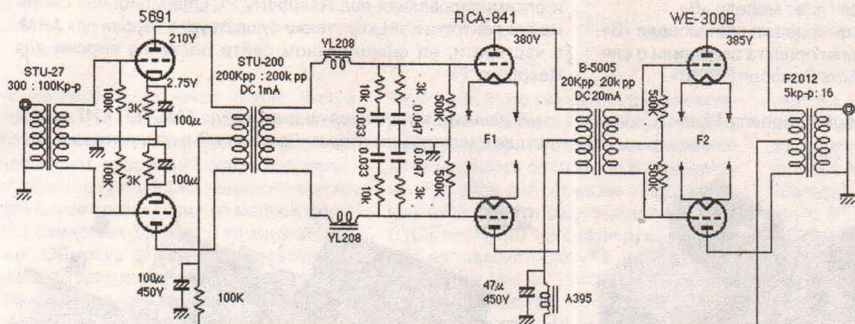
Схемные файлы (*cir* для *MicroCap*) обоих вариантов схем (рис.4 и рис.6) доступны на сайте журнала Радиохобби в разделе, посвященном июньскому номеру за 2013-й год.

Литература

1. Stanley P. Lipshitz, Walt Jung, A High Accuracy Inverse RIAA Network, The Audio Amateur 1/1980

Винил-корректоры Susumu Sakuma

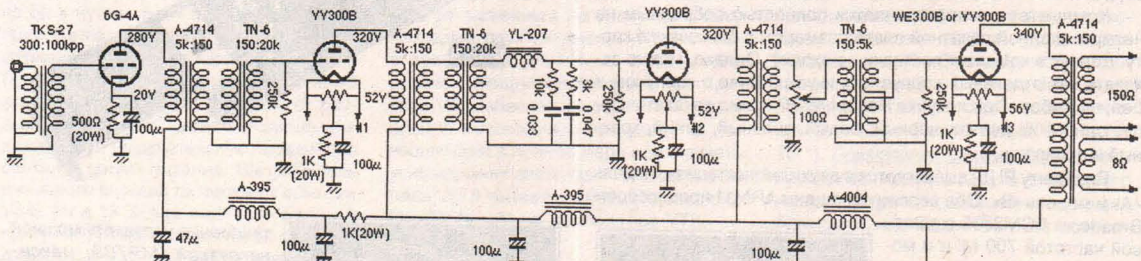
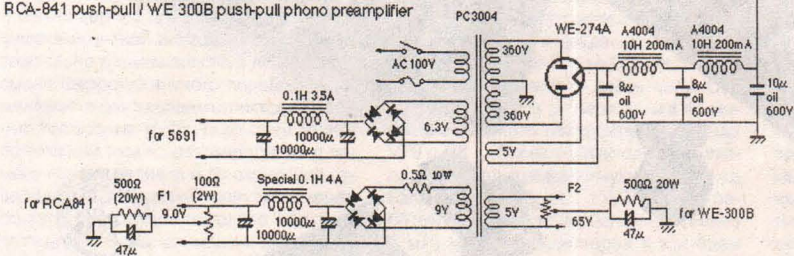
С темой предыдущей статьи А. Петрова настолько перекликается творчество Сакумы-сан - японского High-End аудиозэоттика, что мы публикуем, как говорится, «без комментариев» схемы некоторых его винил-корректоров. В обеих схемах корректирующие RIAA-цепочки выполнены на пассивных LCR звенях (соответственно между первым и вторым каскадом и вторым и третьим). Но если первый корректор Сакумы ущен полной балансностью всех каскадов от входа до выхода, то второй можно назвать гипертрансформаторным. «Некоторые "необычные" аспекты в моих схемных решениях представляют собой таинственные противоречия и могут посеять сомнения в некоторых умах» - так написал о своих конструкциях Сусуму Сакума в своей книге "The Remembrance of Sound Past". «Только после многих проб и ошибок я нахожу наилучший вариант. Руководство по лампам подобно телефонной книге. Она дает правильные номера. Это полезно, чтобы сделать возможным поговорить с девушкой, но мы не можем видеть ее красивое лицо из простого телефонного номера».



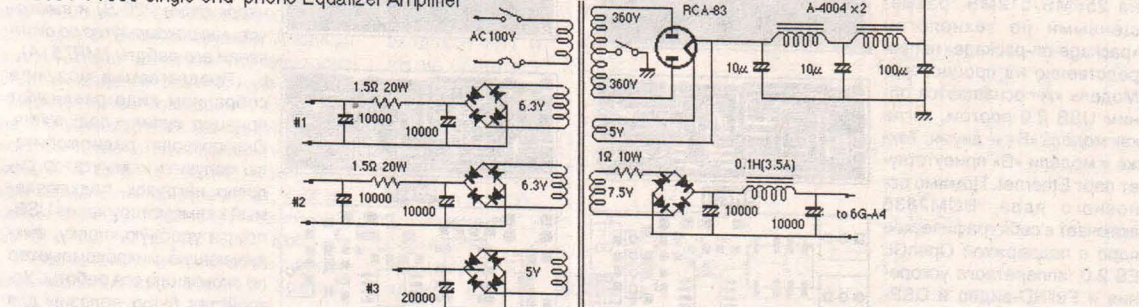
RCA-841 push-pull / WE 300B push-pull phono preamplifier



«Я использую тяжелую голую медную проволоку диаметром 3 мм для главных земляных шин. Шина земли сигнала соединена со входным разъемом, другой конец соединен с выходным разъемом для громкоговорителя. Эта линия соединяется с шасси в одной точке около входного разъема. Шина земли источника питания соединяется с шасси в одной точке около силового трансформатора. Все земляные точки подсоединяются к земле сигнала. Однако, не соединяйте конец шины "земля сигнала" с шасси, пока не сделаете весь монтаж. Когда разводка закончена, прикоснитесь шупом тестера к шасси и шине "земля сигнала". Если тестер показывает отсутствие тока, то вы можете соединить шину "земля сигнала" с шасси. Однако если тестер показывает наличие тока, вы должны найти и устранить короткое замыкание где-нибудь в цепи».



VY300 / VV300 single end phono Equalizer Amplifier



МИКРОКОНТРОЛЛЕРЫ MP709/MP751A - Интернет управление через USB и аппаратно-программный включатель/ выключатель микрокомпьютера Raspberry Pi

Виктор Иноземцев, г. Подлипки Московской области

Что такое Raspberry Pi?

В мае 2011 года Дэвид Брэбен представил первый концепт Raspberry Pi размером с USB-флеш-накопитель.

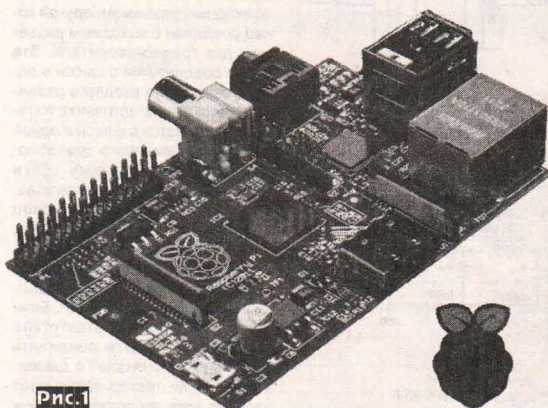
В конце июля 2011 года была закончена и отправлена в производство альфа-версия платы, а уже 12 августа Raspberry Pi Foundation получила первую партию устройств. Альфа-версия компьютера содержала некоторые тестовые функции и дорогие детали, которые убрали из финальной версии. Также конечная версия на 20 % меньше и содержит четыре слоя печатной платы, а не шесть.

10 января 2012 года компания объявила о начале производства первой партии из 10 тысяч плат модели «B».

29 февраля 2012 года началась продажа плат модели «B».

16 июля 2012 года разработчики проекта сообщили о снятии ограничений на заказ устройств Raspberry Pi «B».

Внешний вид микрокомпьютера Raspberry Pi на OC Linux изображен на рис. 1.



14 декабря 2012 года Raspberry Pi «A» запущен в производство.

Компьютер распространяется полностью собранным на четырехслойной печатной плате размером с банковскую карту. Корпус в комплект поставки не входит. Однако, можно заказать как отдельный корпус, так и устройство с корпусом и без, на выбор. При покупке Raspberry Pi можно заказать корпус одного из цветов: чёрный, белый, зелёный, синий, красный и прозрачный.

Raspberry Pi [5] выпускается в двух комплектациях: модель «A» и модель «B». Обе версии оснащены ARM11 процессором Broadcom BCM2835 с тактовой частотой 700 МГц и модулем оперативной памяти на 256МБ/512МБ, размещенными по технологии «package-on-package» непосредственно на процессоре. Модель «A» оснащается одним USB 2.0 портом, тогда как модель «B» — двумя. Также у модели «B» присутствует порт Ethernet. Помимо основного ядра, BCM2835 включает в себя графическое ядро с поддержкой OpenGL ES 2.0, аппаратного ускорения и FullHD-видео и DSP-ядро. Одной из особенностей

является отсутствие часов реального времени.

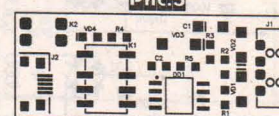
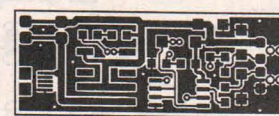
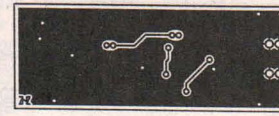
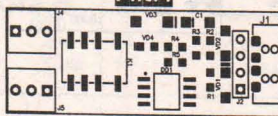
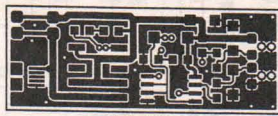
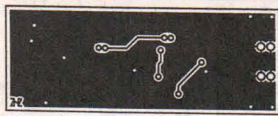
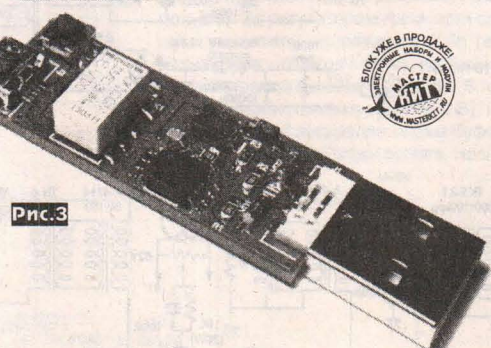
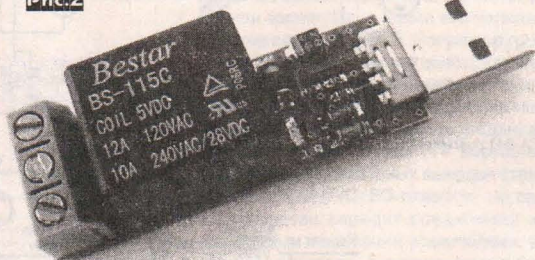
Вывод видеосигнала возможен через композитный разъем RCA или через цифровой HDMI-интерфейс. Корневая файловая система, образ ядра и пользовательские файлы размещаются на карте памяти SD, MMC или SDIO.

Программное обеспечение

Raspberry Pi работает под управлением свободных операционных систем Debian, Fedora, Gentoo, RISC OS, AROS или FreeBSD. Кроме того, в базовую поставку включены браузер Iceweasel, офисный пакет KOffice и интерпретатор языка Python. Также разработана ОС Raspbian, основанная на Debian и оптимизированная под Raspberry Pi. Операционная система для пентеста Kali Linux, также существует в версии для ARM, в частности, на официальном сайте доступна версия для Raspberry Pi.

В данной статье описаны два модуля МАСТЕР КИТ, работающие с микрокомпьютером Raspberry Pi и позволяющие дис-

Рис.2



танционно управлять мощной нагрузкой (MP709, максимальный ток нагрузки 10 А при напряжении 220 В) и выключать микрокомпьютер по окончании его работы (MP751A).

Предлагаемые модули в собранном виде реализуют принцип: купил — подключил. Они позволят радиолюбителю получить коммутатор силовых нагрузок, подключаемый к компьютеру через USB-порт и удобную кнопку, выключающую микрокомпьютер по окончанию его работы. Устройства будут полезны для

применения в быту, дома, на даче. С их помощью можно включать свет, водопроводные клапаны и другие нагрузки. Общий вид устройства представлен на **рис. 2** (MP709) и **рис. 3** (MP751).

Конструкция

Конструктивно оба устройства выполнены на двусторонней печатной плате из фольгированного стеклотекстолита - **рис. 4** и **рис. 5**.

Через USB-разъём J1 устройство подключается к компьютеру, а к разъёму J2 подключается нагрузка.

Описание работы устройства и его подключение

Принципиальная электрическая схема MP709 приведена на **рис. 6**, MP751A - на **рис. 7**.

Центральная часть устройства - микроконтроллер ATTiny45, работающий на частоте 16.5 МГц. Управление осуществляется с помощью компьютера через USB-порт.

Блок MP751A программно полностью совместим с MP709, но имеет следующие отличия:

- * изменена схема подачи питания на устройство, добавлен разъем USB-Micro и др.

- * добавлена настройка состояния реле (включено/отключено) при подаче питания

- * добавлен таймер, позволяющий полностью снимать питание с устройства через заданный интервал (1...65535 секунд, ±5%)

На **рис. 8** изображены варианты подключения нагрузки к модулю MP709.

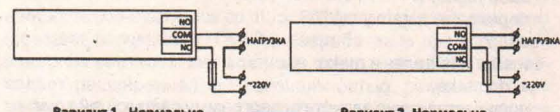


Рис.8

Вариант 1. Нормально подключённая нагрузка.

Вариант 2. Нормально отключённая нагрузка.

Описание программного обеспечения (ПО)

Для работы с устройствами необходимо скачать программы MP709.exe и MP751A.exe (они есть на сайте журнала «Радиохобби» в разделе, посвященном ионьюскому номеру за 2013-й год).

Программы могут работать в двух режимах: локальный и удалённый.

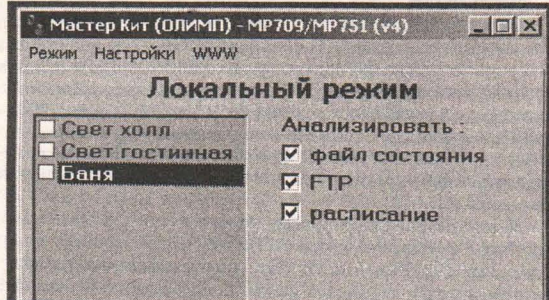


Рис.9

В локальном режиме (рис. 9) в левом окне отображаются подключенные устройства MP709. С помощью правой кнопки мыши осуществляется переименование устройства на одно из приведённых в списке (см. **рис. 9**). Введение дополнительной информации производится при начальной установке с клавиатуры РС. Для удобства работы переименуйте каждое устройство в соответствии с выполняемой задачей, например «RELE_1». Максимальное количество подключённых устройств - 32. В этом же окне можно изменять состояние нагрузки. Справа

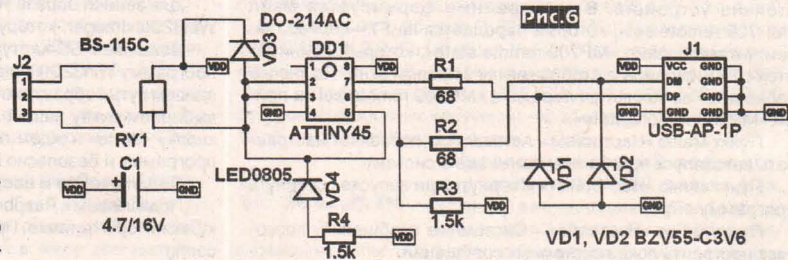


Рис.6

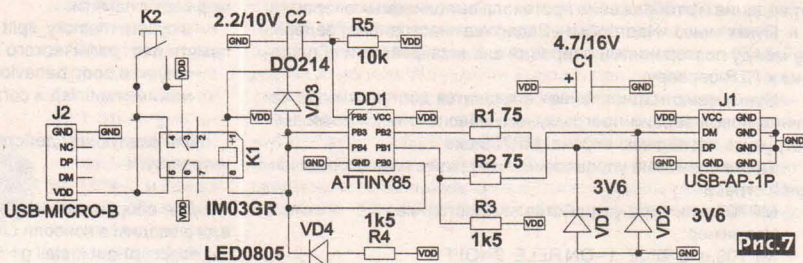


Рис.7

ва находятся пункты меню анализа внешних воздействий на нагрузку.

Установка галочки в поле «файл состояния» позволяет управлять нагрузками через файл «MP709.local.set», формат файла текстовый, формат команды <имя устройства>=<состояние>, например RELE_1=ON, RELE_1=OFF.

Установка галочки в поле «FTP» позволяет управлять нагрузками через файл «MP709.remote.set», хранящийся на FTP-сервере (формируется в удалённом режиме).

Установка галочки в поле «расписание» позволяет управлять нагрузками по расписанию, файл расписания - «MP709.local.shd». Формат записи в файле (регистр важен!): DD.MM.YYYY D HH:MM:SS <NAME>=<ON/OFF>

Где DD.MM.YYYY - день, месяц, год, D - день недели (значение от 1 до 7, где 1 - воскресенье, 2 - понедельник, и т. д.), HH:MM:SS - часы, минуты, секунды, NAME - имя реле, ON - включить, OFF - отключить. В полях даты, дня недели и времени допустимо использовать «*», например:

.*.*** 6 20:***:** RELE_1=ON

означает: каждую субботу в 20:00-22:59:59 RELE_1 включается.

В удалённом режиме (рис. 10) в левом окне отображается список устройств MP709. В левом окне можно изменять состояние нагрузки, а в правом отображается дата, время и со-

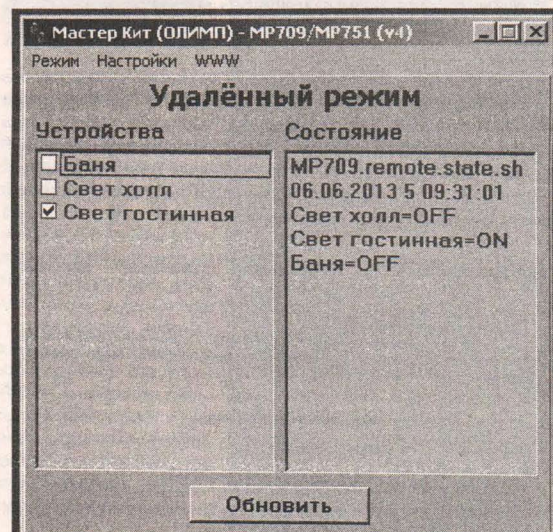


Рис.10

МИКРОКОНТРОЛЛЕРЫ

состояние устройства. В этом режиме формируется файл «MP709.remote.set», который передаётся на FTP-сервер, затем читается файл «MP709.remote.state», который принимается с FTP-сервера и отображается в правом окне. По кнопке «обновить» выполняется передача «MP709.remote.set» и приём «MP709.remote.state».

Пункт меню «Настройки - Автозапуск» позволяет настраивать автозапуск программы при входе в систему.

Пункт меню «Настройки - Свернуть при запуске» сворачивает программу в трей.

Пункт меню «Настройки - Системные сообщения» позволяет настроить показ системных сообщений.

Пункт меню «Настройки - Вести лог действий» настраивает ведение и отображение протокола выполняемых операций.

Пункт меню «Настройки - Задержка» настраивает задержку между повторениями операций анализа файлов и обращения к FTP-серверу.

Пункт меню «Обновление» становится доступным при наличии новой версии программного обеспечения и позволяет загрузить последнюю версию MP709.exe.

Также возможно управление нагрузкой с помощью командной строки:

```
MP709.exe <имя устройства>=<состояние> ...
```

Например:

```
MP709.exe RELE_1=ON RELE_2=OFF
```

Для управления нагрузками через интернет необходимо пройти регистрацию на любом публичном сервере, поддерживающем FTP доступ к файлам, например, <http://narod.yandex.ru/> и создать персональную страницу. После этого необходимо отредактировать файл MP709.ini, вписав в него свои регистрационные данные, например:

```
[FTP]
HOSTNAME=ftp.narod.ru
USERNAME=my_mp709
HOSTDIRNAME=
PASSWORD=password
```

Только после этого будет возможно удалённое управление нагрузками.

Если Вы хотите запустить программу в локальном режиме на нескольких компьютерах, то задайте разные имена файлов в параметре REMOTE_STATE_FILE, например,

```
Компьютер 1:
REMOTE_STATE_FILE=MP709.PC1
```

```
Компьютер 2:
REMOTE_STATE_FILE=MP709.PC2
```

А в параметре REMOTE_LIST_FILES перечислите их через «;», например:

```
REMOTE_LIST_FILES=MP709.PC1;MP709.PC2;
```

Не забудьте сохранить ini-файл и перезапустить программу.

Увлекательный эксперимент с Raspberry Pi и USB реле MP709

Для работы устройства MP709 под управлением Raspberry Pi нам нужна SD/MMC/SDIO карта памяти с дистрибутивом Linux. В данном случае используется система Raspbian (рис. 11), образ которой можно скачать с сайта [1].

Raspbian "wheezy"
If you're just starting out, this is the image we recommend you use. It's a reference root filesystem from Alex and Dom, based on the Raspbian optimised version of Debian, and containing LXDE, Midori, development tools and example source code for multimedia functions.

Torrent	2013-05-25-wheezy-raspbian.zip.torrent
Direct download	2013-05-25-wheezy-raspbian.zip
SHA-1	131f2810b1871a032dd6c1482d8a10964b43bd2
Default login	Username: pi Password: raspberry

Prc.11

Для записи образа Raspbian нам понадобится программа Win32DiskImager, которую можно скачать здесь [2].

Вставляем SD-карту в картридер и запускаем скачанную программу Win32DiskImager «от имени администратора», указываем путь к образу системы в поле Image File и в меню Device выбираем букву нашей карты памяти, после чего нажимаем кнопку «Write» и ждем окончание записи образа, закрываем программу и безопасно извлекаем карту памяти.

Подключение и настройка Raspberry Pi

Подключаем к Raspberry Pi карту памяти, клавиатуру, мышку, монитор и питание. При первой загрузке увидим меню raspi-config

- в пункте expand_rootfs увеличим root размер на весь размер карты памяти.

- в пункте memory_split выбираем количество оперативной памяти для графического процессора. Ставим 128.

- в пункте boot_behaviour выбираем команду startx

- нажимаем finish и соглашаемся на перезагрузку

Для следующих действий нужно подключить Raspberry pi к интернету!!!

Для сборки нам необходимо g++ и libusb-1.0-0-dev. Для этого вводим в консоли следующую команду

```
sudo apt-get install g++ libusb-1.0-0-dev
```

скачиваем нужные файлы mp709.tar.gz (на сайте «Радиохобби» и Мастер Кит).

Из Линукса они скачиваются в следующей последовательности:

```
wget http://www.masterkit.ru/linux/mp709.tar.gz
теперь распакуем архив следующей командой
```

```
tar zxvf mp709.tar.gz
```

Заходим в папку mp709/hidapi/linux

```
cd mp709/hidapi/linux,
```

выполняем команду make

```
sudo make,
```

переходим в папку mp709

```
cd ../..
```

и еще раз делаем make

```
sudo make,
```

после чего можно запустить программу следующей командой

```
sudo ./mp709,
```

должна вывестись информация о реле (если оно подключено),

для включения используем команду

```
sudo ./mp709 on,
```

для выключения

```
sudo ./mp709 off.
```

Заключение

Заказать модули MP709 и MP751A МАСТЕР КИТ в России Вы можете, позвонив бесплатно с мобильного или стационарного телефона на горячую линию 8-800-200-09-34 (с 9.00 до 18.00, кроме выходных), либо оформив заказ с курьерской или почтовой доставкой на сайте WWW.MASTERKIT.RU. Продажа в Украине осуществляется через посыльторг «Кэдр+»: т. (094) 925-64-96, (067) 782-55-91 и (044) 360-94-96. Вы можете заказать миникомпьютер Raspberry Pi в ДКО «Электронщик» по ссылке [6].

Архивный файл с рисунками печатных плат, hex-файлами прошивок микроконтроллера ATTINY85, управляющими программами MP709.exe и MP751A.exe можно скачать с сайта журнала Радиохобби из раздела, посвященного июньскому номеру за 2013-й год.

Ссылки и литература

1. Дистрибутив Linux <http://www.raspberrypi.org/downloads>
2. Программа Win32DiskImager <http://sourceforge.net/projects/win32diskimager/files/latest/download?source=navbar>
3. Описание MP709 http://masterkit.ru/main/set.php?code_id=579540
4. Описание MP751A http://masterkit.ru/main/set.php?code_id=1194408
5. <http://www.raspberrypi.org/>
6. <http://www.electronshik.ru/class/mikrokompyutri-raspberry-27>

Автоадаптирующаяся сенсорная кнопка на ATtiny13

Артем Виниченко, г. Мариуполь

Данная сенсорная кнопка может найти много применений, с её помощью можно коммутировать нагрузку постоянного тока, а с небольшим дополнением - нагрузку переменного тока. У меня она используется для включения/выключения света в спальне. Из-за простой конструкции и хорошей повторяемости она может стать частью какого-то более серьёзного устройства.

Из достоинств схемы следует отметить, что она автоматически калибруется через каждые 10 срабатываний, а также при первом включении. Такой режим работы сенсора обеспечивает быструю автоматическую подстройку под разные условия и внешние факторы. Например, если сенсор установлен на улице, то внешние факторы и паразитная ёмкость сенсора могут изменяться очень часто и существенно отличаться от эталонного значения, что может привести к ложным срабатываниям. Также весь сенсор построен на микроконтроллере, который обеспечивает высокую точность, цифровую обработку сигналов, и усреднение результатов измерения. Но, как и у всех устройств и конструкций, здесь есть свои минусы - для питания сенсорной кнопки требуется отдельный источник питания на 8 - 12 В, что исключает простую замену стационарных выключателей данной кнопкой.

Технические характеристики

Напряжение питания, В	8 - 12
Потребляемый ток, мА	5 - 8
Толщина диэлектрика сенсора, мм	2
Миним. расстояние устойчивого срабатывания, мм	5
Допустимая нагрузка выхода, мА	20

Функции устройства:

- чувствительный и точный сенсор
- автоматическая калибровка
- ручная калибровка
- ручное (принудительное) управление выходом

Принципиальная схема приведена на **рис. 1**. Рассмотрим принцип работы сенсора. Его основа - это измерение ёмкости

и сравнение с эталоном, сохранённым в памяти микроконтроллера. Микроконтроллер измеряет время заряда паразитной ёмкости одного из выводов SENSOR_PAD микроконтроллера от нуля до логической единицы. Когда к сенсору приближается рука или палец или же другой предмет, обладающий заметной ёмкостью, паразитная ёмкость заметно возрастает, что ведёт к увеличению времени заряда паразитной ёмкости и сигнализирует о прикосновении.

Чтобы было понятно как работает сенсор, я снял осциллограммы его работы (в программе PROTEUS).

Как мы видим на первой осциллограмме (**рис.2**), время зарядки составляет 17,75 мкс - довольно быстро. Это исход-

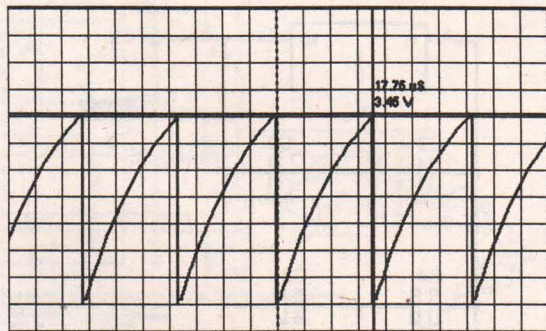


Рис.2

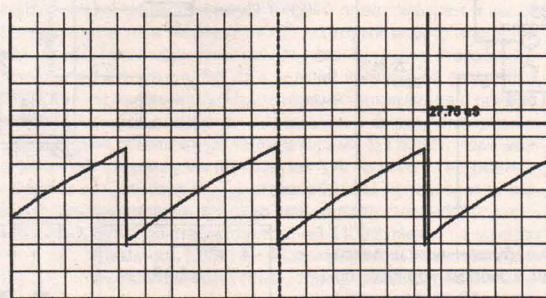


Рис.3

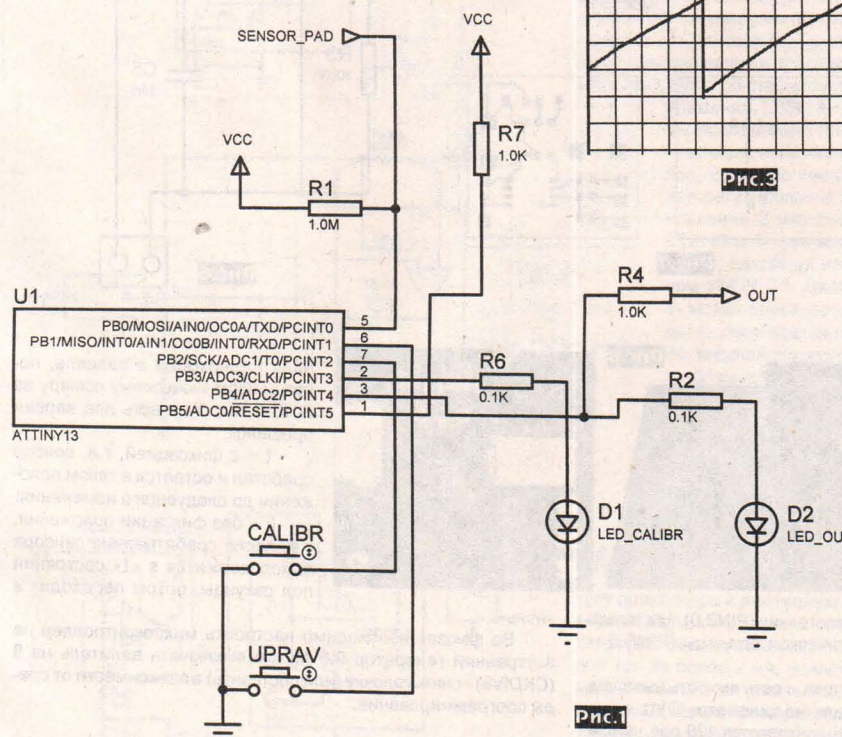


Рис.1

ное состояния сенсора в почти идеальных условиях (внесена паразитная ёмкость в 15 пФ).

Если подключить ещё 50 пФ к имеющимся 15, то время существенно изменится, в данном случае до 27,75 мкс (**рис.3**), что значительно отличается от исходного. Думаю, принцип работы сенсора понятен.

Схема входной части сенсора (**рис. 1**) очень проста - от вывода 5 (порт PB0) микроконтроллера на плюс питания подключен резистор большого сопротивления (подтяжка в 1 МОм), к этому же выводу подключена токопроводящая плёнка (фольга), которая изолируется от прямого прикосновения диэлектриком - вот и вся конструкция. Фольгу можно брать любую - лишь бы токопроводящей была. Размер 20x30 мм, можно и меньше, но чувствительность в этом случае

МИКРОКОНТРОЛЛЕРЫ

ухудшается. Также не следует слишком увеличивать размер платы, так как это тоже приведёт к потере чувствительности, - тут необходим некий баланс. Диэлектрик любой, толщиной не более 5 мм – чем тоньше, тем лучше. У меня в качестве диэлектрика выступала крышка выключателя (**рис.4**).

Что касается деталей устройства и их замены, то здесь всё просто. Микроконтроллер Attiny13 можно применять с лю-

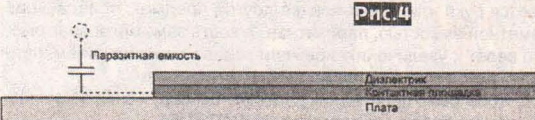


Рис.4

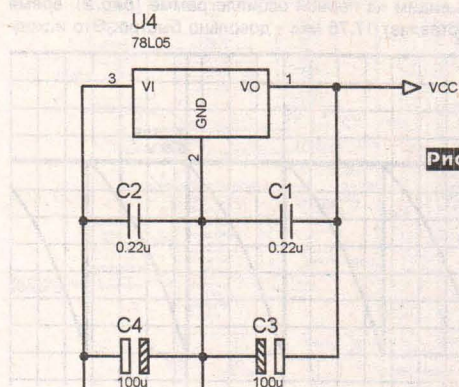


Рис.5

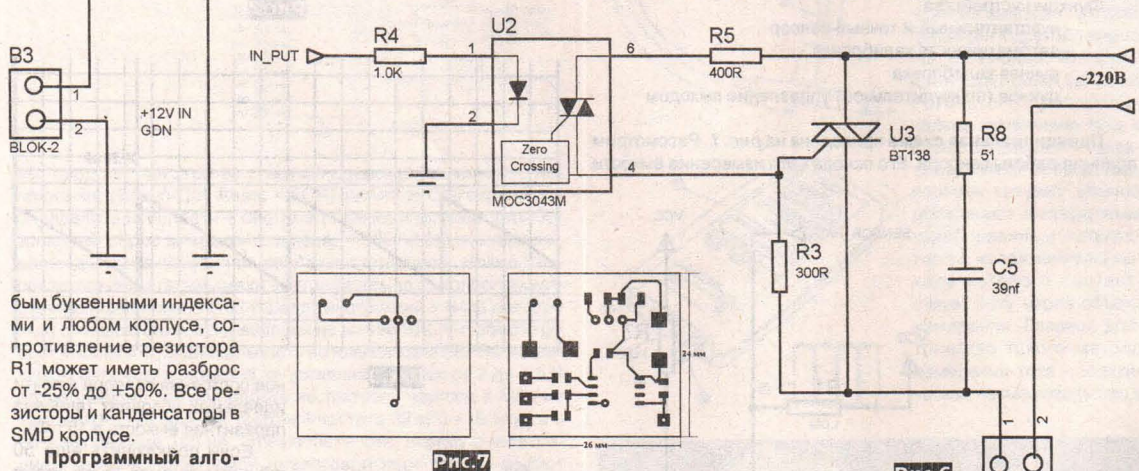


Рис.6

бым буквенными индексами и любом корпусе, со- противление резистора R1 может иметь разброс от -25% до +50%. Все ре- зисторы и конденсаторы в SMD корпусе.

Программный алго- ритм не сложнее схемы:

1. Порт PB0 переводится на вывод (DDRB.0=1) и сбрасывается в ноль (PORTB.0=0);

2. Порт переводится на ввод, в Z-состояние (DDRB.0=0). Так как до этого его потенциал был нулевым, то начинается процесс заряда паразитной емкости через внешний резистор под- тяжки;

3. С момента переклю- чения порта на ввод начи- нается отсчет времени с контролем состояния (PINB.0), как только потенциал достигает уровня логической единицы (PINB.0 = 1), останавливается счетчик;

4. Полученное значение счетчика и есть емкость вывода в относительных единицах (в «зайцах/на километр» ☺).

5. Вышеизложенный алгоритм повторяется 100 раз, потом складывается и усредненное значение выводится в результат.

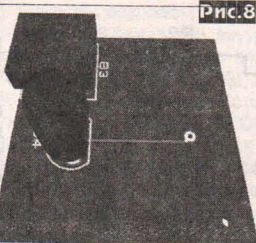


Рис.8

По величине этого значения можно судить о том, есть ли прикосновение к сенсору или нет.

Схема питается от источника 8-12 В (**рис.5**), но можно исключить стабилизатор на 5 В и питать устройство просто от 5 В.

Выход сенсора можно подключить к нагрузке постоянного тока не более 20 мА, для более мощной нагрузки следует использовать транзисторы, силовые ключи или тиристоры, а если нужно управлять нагрузкой переменного тока, то выход сенсора соединяется с опто-симисторной сборкой (с детектором перехода через ноль), который, в свою очередь, подключается к симистору (**рис.6**).

Работа с устройством очень проста. Настройка схемы не требуется, всё настраивается автоматически микроконтроллером. При включении сенсор калибруется и подстраивается под условия - в течение этого времени не стоит его трогать, чтобы не ввести ложные значения в настройки. Через пару секунд сенсор готов к работе. При касании сенсор загорается светодиод LED_OUT. После 10 срабатываний включается автокалибровка, о чём сигнализирует светодиод LED_CALIBR - в течение калибровки не стоит трогать сенсор (чтобы не внести ложную ёмкость). После того как светодиод LED_CALIBR погас, выход переключается в ноль и сенсор снова будет готов к работе. В схеме имеются две кнопки (ставит их не обязательно), думаю из названия понятно, для чего они - кнопка CALIBR запускает калибровку, а кнопка UPRAV - изменяет состояние выхода на противоположное, т.е. «ручное» управление нагрузкой в обход сенсора.

На **рис.7** изображен рисунок двухсторонней печатной платы, на **рис.8** - схема расположения элементов.

Файлы печатной платы и прошивки микроконтроллера с исходным программным кодом на языке Си (для CodeWizardAVR V2.05.0 Professional) доступны на сайте жур-

нала Радиохобби в разделе, по-священном июньскому номеру за 2013-й год. Там есть две версии прошивок:

1 - с фиксацией, т.е. сенсор сработал и остаётся в таком положении до следующего изменения;

2 - без фиксации положения, т.е. после срабатывания сенсора выход держится в «1» состоянии пол секунды, потом переходит в

«ноль».

Во фьюзах необходимо настроить микроконтроллер на внутренний генератор 9,6 МГц и выключить делитель на 8 (CKDIV8) - снять галочку (или поставить) в зависимости от срёды программирования.

ЭЛЕКТРОННЫЕ КОМПОНЕНТЫ, СИСТЕМЫ, ОБОРУДОВАНИЕ И АКСЕССУАРЫ

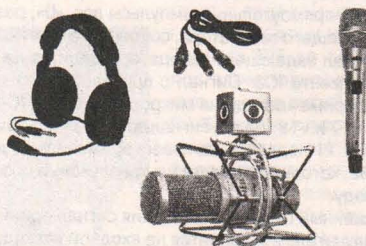
RADIO EXPERT.RU

MFJ
аксессуары
для
радиолюбителей



весь модельный ряд MFJ под заказ
и в наличии

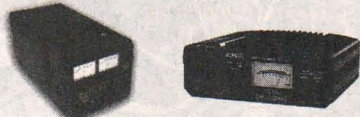
HEIL
Гарнитуры, микрофоны, аксессуары



Антенны КВ и УКВ



Блоки питания



трансформаторные и импульсные
от 20A до 40A

AMERITRON
усилители мощности для трансиверов



AL-811H
800 Ватт



AL-1500
2500 Ватт

весь модельный ряд

VECTRONICS

антенные тюнеры от 300 до 1500 Ватт



наборы для самостоятельного изготовления
трансиверов, приемников, передатчиков,
фильтров и т.д.

весь модельный ряд

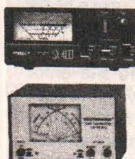
Поворотные устройства YAESU



G-1000DXA
G-800DXA
G800SA
G-450A



КСВ метры



DIAMOND
SX-200, SX-400, SX-600



VECTRONICS
PM-30, PM-30UV

кв, укв ксв/ватт метры в наличии и на заказ

Компания "Радиоэксперт", Россия, Санкт-Петербург, ул. Калинина, д.13, 2 этаж, офис 210
тел/факс: +7 (812) 386-75-20, (499) 638-84-10

www.radioexpert.ru
info@radioexpert.ru

Мини-эхолот для рыбака-спортсмена

Александр Козубенко, г. Немиров, Винницкая обл.

Представляю вашему вниманию мою разработку - самодельный мини-эхолот (рис. 1) на микроконтроллере Atmel ATMega8L и ЖКИ от мобильного телефона Nokia 3310. Устройство рассчитано для повторения радиолюбителем средней квалификации, но, я думаю, конструкцию сможет повторить каждый желающий.

Эхолот, сонар (sonar) - сокращение от **S**ound **N**avigation and **R**anging. Эхолот известен где-то с 40-х годов, технология была разработана во время Второй мировой войны для отслеживания вражеских подводных лодок. В 1957 году компания Lowrance выпустила первый в мире эхолот на транзисторах для спортивной рыбной ловли.

Современный эхолот состоит из таких основных функциональных блоков: микроконтроллер, передатчик, датчик-излучатель, приемник и дисплей. Процесс обнаружения дна (или рыбы) в упрощенном виде выглядит следующим образом: передатчик выдает электрический импульс, датчик-излучатель преобразует его в ультразвуковую волну и посыпает в воду (частота этой ультразвуковой волны такова, что она не ощущается ни человеком, ни рыбой). Звуковая волна отражается от объекта (дно, рыба, другие объекты) и возвращается к датчику, который преобразует его в электрический сигнал. Приемник усиливает этот возвращенный сигнал и посыпает его в микропроцессор. Микропроцессор обрабатывает принятый с датчика сигнал и передает его на дисплей, где мы уже видим изображение объектов и рельефа дна в удобном для нас виде.

На что следует обратить внимание: рельеф дна эхолот рисует только в движении. Это утверждение вытекает из принципа действия эхолота. То есть, если лодка неподвижна, то и информация о рельефе дна тоже неизменна, и последовательность значений будет складываться из одинаковых, абсолютно идентичных отсчетов. На экране при этом будет рисоваться прямая линия.

Первый вопрос, который, я уверен, возникнет у читателей «Почему использован такой маленький дисплей?». Поэтому я сразу на него отвечу: этот «мини-эхолот» разрабатывался по просьбе знакомого из того, что оказалось под рукой. А этими подручными средствами оказались ATMega8L, дисплей от Nokia 3310 и излучатель от промышленного ультразвукового датчика с рабочей частотой 200 кГц. Неким прототипом собранного мною мини-эхолота послужила разработка [1].

Конечно, конкурировать этот мини-эхолот с профессиональными фирменными эхолотами не может. Но он вполне может послужить альтернативой дешевым китайским эхолотам.

Теперь о характеристиках эхолота. Его рабочая частота около 200 кГц может перестраиваться под конкретный имеющийся излучатель (примерно до 300 кГц). Максимальная измеряемая глубина ограничена программно на уровне 16 метров. Измерение глубины разделено на два диапазона: до 4 м и до 16 м. Переключение между диапазонами автоматическое. Минимальная измеряемая глубина - 0,47 м. Информация о глубине и рельефе дна выводится на графический дисплей от мобильного телефона Nokia 3310. Предусмотрена регулировка скорости прокрутки картинки на дисплее, а также регулировка уровня чувствительности приема отраженных сигналов. Кроме того, в эхолоте реализован программный фильтр ошибочных измерений, который пропускает до 10 значений глубины, находящихся вне диапазона измерений. Также эхолот выдает предупреждающий звуковой сигнал при резком изменении глубины на определенное заданное пользователем значение. Эта функция будет полезна для определения потенциальных мест нахождения рыбы, не прибегая к постоянному вниманию на дисплей мини-эхолота.

Теоретически данным мини-эхолотом можно измерять и глубину, большую чем 16 метров, но возможности проверить работу устройства на больших глубинах у меня не было. Поэтому и было введено ограничение по максимальной глубине. Погрешность определения глубины в авторском образце (с использованием датчика с резонансной частотой 200 кГц) при



Рис.1

испытаниях в озере была не более 2..3% от верхнего предела измерений.

Схема мини-эхолота показана на рис. 2.

Основные функциональные блоки устройства: микроконтроллер ATMega8L, схема формирования зондирующих импульсов, датчик-излучатель, схема приема отраженного сигнала, преобразователь питания DC/DC, дисплей, клавиатура и схема зарядки аккумуляторной батареи.

Работает эхолот следующим образом: микроконтроллер ATMega8 в начале каждого цикла измерения формирует на выходе PD4 прямоугольные импульсы лог. «0», раз穿梭ие работы задающего генератора, собранного на микросхеме IC2. Далее сигнал задающего генератора делится на 2 D-триггером на элементе IC3. Сигнал с противофазных выходов IC3 через буферные каскады на микросхеме IC4.4, IC4.1 подается на ключи VT7 и VT8. Далее сигнал со вторичной обмотки трансформатора T1 подается на пьезокерамический датчик-излучатель LS2, который посыпает ультразвуковые посылки во внешнюю среду.

Отраженный от дна/препятствия сигнал принимается датчиком-излучателем и подается на входной каскад приемника, который является собой резонансный усилитель с регулируемым коэффициентом усиления. Далее сигнал с резонансного уси-

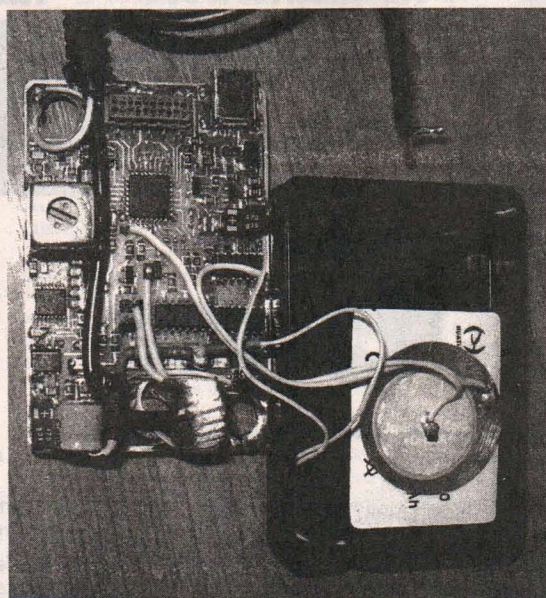
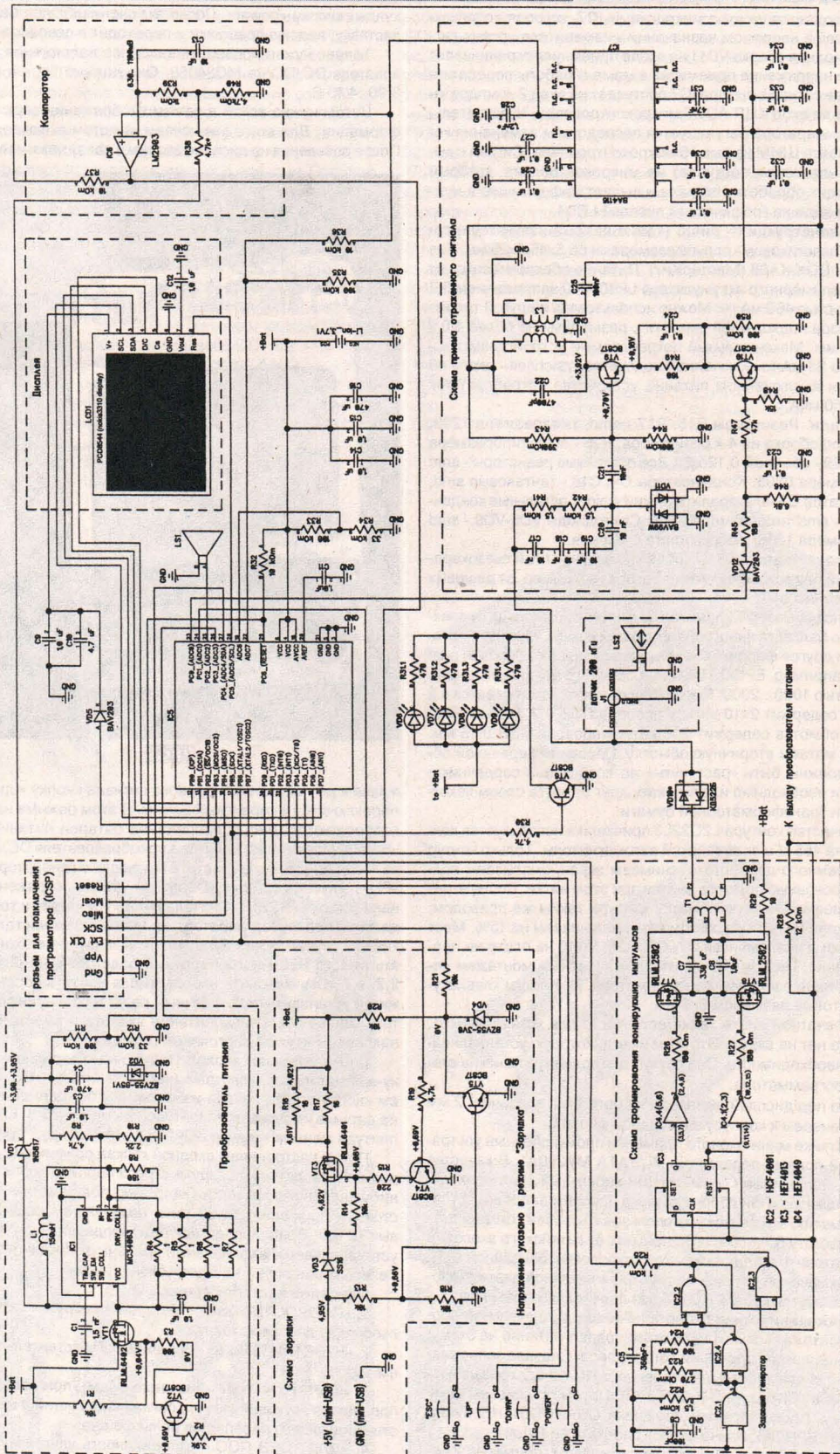


Рис.2



ИЗМЕРЕНИЯ

лиителя подается на вход микросхемы IC7, которая используется здесь в непрямом назначении - измерителе уровня сигнала. Диодная сборка VD11 на входе приемника ограничивает входное напряжение приемника в момент работы передатчика. Далее сигнал с выхода IC7 поступает на вход 2 компаратора IC6 и на вход АЦП ADC7 микроконтроллера. Чувствительность компаратора регулируется посредством изменения коэффициента ШИМ на вывод 15 микроконтроллера. Сигнал с выхода компаратора поступает на микроконтроллер, который производит обработку сигнала и выдает информацию в нужном нам виде на графический дисплей LCD1.

Вся конструкция - рис.3 (кроме датчика-излучателя) собрана в пластиковом корпусе размерами 65,5x45,5x25 мм. Тип корпуса: BOX-KA08 (МастерКит). Питание обеспечивается от литий-полимерного аккумулятора LP403040 напряжением 3,7 В и емкостью 460 мА·ч. Можно использовать и другой тип аккумулятора подходящей емкости с размерами не более 4,0 x 30 x 40 мм. Максимальный потребляемый устройством ток - не более 25 мА (с включенным подсветкой дисплея - около 40 мА). При выключенном питании устройство потребляет ток около 150 мкА.

Детали. Резисторы R16, R17 - smd типоразмера 1206, R31 - smd сборка из 4-х резисторов, R25 - smd типоразмера 0603, R29 - обычный 0,125 Вт. Все остальные резисторы - smd типоразмера 0805. Конденсаторы C4, C16 - tantalевые smd, конденсатор C7 - электролитический «мини», остальные конденсаторы - smd типоразмера 0805. Светодиоды VD6-VD9 - smd типоразмера 1206, любого цвета свечения.

Звукоизлучатель LS1 - любой малогабаритный пьезокерамический безстроенного генератора (например, от дешевых наручных часов).

Трансформатор T1 намотан на ферритовом кольце от электронного балласта энергосберегающей лампы. Можно использовать и другое ферритовое кольцо подходящего (10x6x5) размера (например, EPCOS B64290-L38-X87) с магнитной проницаемостью 1000...2000. Первичная обмотка наматывается в 2 жилы и содержит 2x10 витков провода ПЭВ 0,2..0,3 мм. Вторичная обмотка содержит 200 витков провода ПЭВ 0,15 мм. Первой мотаем вторичную обмотку. Половины первичной обмотки должны быть «растянуты» по всей длине сердечника. Обмотки необходимо изолировать друг от друга слоем лакоткани или трансформаторной бумаги.

В качестве контура L2C22L3 приемника используется контур ПЧ на 465 кГц от китайской автомагнитолы. Только контур нужно немного доработать: снимаем экран, сматываем полностью основную обмотку, считая при этом витки. После этого наматываем основную обмотку контура таким же проводом, только количество витков обмотки увеличиваем на 15%. Мест установки для элементов C7, C8, R29, VD10 на плате не предусмотрено. Поэтому их монтируем на винтовых монтажах непосредственно вблизи трансформатора T1. Кнопки клавиатуры - тактовые размером 6x6 мм.

На печатной плате также есть место для установки R51, которого нет на схеме. Это перемычка, которую устанавливают при необходимости. Она служит для подачи питания на схему от программатора.

Окно под дисплеем вырезаем из оргстекла толщиной 2 мм и приклеиваем к корпусу эпоксидной смолой.

В датчике мини-эхолота применен промышленный ультразвуковой приемо-передатчик MURATA MA200A1. В качестве корпуса использован герметичный кабельный ввод подходящего диаметра. При сборке датчика использовался водостойкий герметик. Также можно использовать любой готовый датчик на частоту 50..300 кГц (например, от китайского эхолота). Или изготовить датчик самому по технологии, описанной в [1]. Для подключения датчика-излучателя к печатной плате эхолота используется кабель RG174 без переходных разъемов.

Налаживание мини-эхолота начинают с тщательной проверки монтажа. Только после этого подают питание на схему. Следующий этап - прошивка контроллера. Сначала записываем fuse-bits для работы от встроенного RC-генератора на частоте 4 МГц (CKSEL=0011, SUT0=0). Потом прошиваем саму прошивку. После загрузки прошивки **ОБЯЗАТЕЛЬНО** нужно прошить EEPROM. Иначе эхолот работать не будет!

Включаем эхолот. Для этого удерживаем (примерно 2 се-

кунды) кнопку «power». После включения эхолот отображает заставку, версию прошивки и переходит в основное меню.

Теперь нужно проверить выходное напряжение преобразователя DC/DC на MC34063. Оно должно быть в пределах 3,90..4,10 В.

Потом нужно войти в режим отображения сервисной информации. Для этого выключаем, а потом включаем эхолот. После появления на дисплее заставки сразу нажимаем и удер-

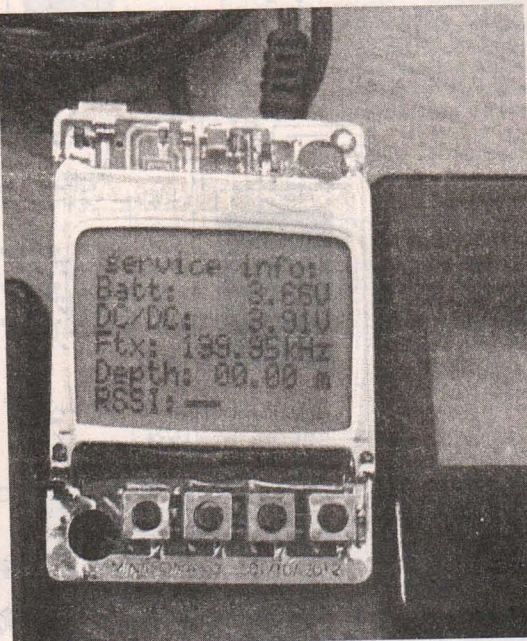


Рис.4

живаем до появления звукового сигнала кнопку «up». Эхолот переключится в сервисный режим. В этом режиме на дисплее отображаются (рис.4) напряжение батареи питания (строка «Batt.»), напряжение на выходе преобразователя DC/DC (строка «DC/DC»), рабочая частота задающего генератора (строка «Ftx»), глубина (строка «Depth») и уровень отраженного сигнала (строка «RSSI»). Сначала нужно убедиться в том, что задающий генератор работает на нужной Вам частоте. В противном случае нужно будет отключить питание эхолота, вставить вместо R22 многооборотный подстроочный резистор на 2,2..4,7 кОм, включить эхолот, снова войти в сервисный режим и установить подстроенным резистором нужную Вам частоту. Далее отключаем питание эхолота и вместо R22 устанавливаем нужный постоянный резистор.

Снова включаем эхолот. Подключаем параллельно датчику-излучателю осциллограф (через делитель 1:10) и нажимаем кнопку старта начала измерений. Убеждаемся в наличии на датчике импульсов амплитудой не менее 75 В. Если же амплитуда меньше - ищите ошибки в схеме.

Потом настраиваем входной каскад приемника. Для этого размещаем датчик в воздухе строго перпендикулярно какой-нибудь ровной плоскости (например пол, или стена) на расстоянии примерно 30..50 см и подключаем осциллограф к выводу IC7. Вращая подстроенный сердечник контура L2C22, устанавливаем максимальный уровень отраженного сигнала. Теперь мини-эхолот настроен окончательно.

Описание настроек меню:

1. «СКОРОСТЬ ИЗМ.» - скорость прокрутки картинки рельефа дна дисплея эхолота;
2. «ЧУВСТВИТЕЛЬН.» - регулировка чувствительности приемника;
3. «ОБНАРУЖ. ЯМ.» - значение в [дм], при котором будет подаваться звуковой сигнал, сигнализирующий о наличии соответствующего перепада в рельефе дна;
4. «ДЛИТ. У/З ПОС.» - длительность ультразвуковой по-

Аудиофилам все чаще приходится обращаться к цифровой схемотехнике. По крайней мере, надо знать хотя бы азы микроконтроллерного программирования. Помочь в этом деле могут различные стартовые наборы, которые как раз и рассчитаны на «нечипровиков». Об одном из таких культовых изделий (*Arduino*) пойдет речь дальше.

Что такое Arduino? Историю радиолюбительства можно условно разделить на две части - до появления Arduino и после него. Сравнение достаточно смелое, но в нем есть рациональное зерно, поскольку в любительские ряды сразу влилось очень большое количество людей.

Arduino - это открытая микроконтроллерная программно-аппаратная платформа. «Открытая» - потому что схемы и программы не засекречены и свободно доступны на главном сайте в Италии <<http://arduino.cc/>>. «Микроконтроллерная» - потому что содержит МК семейства AVR. «Платформа» - потому что имеет много модификаций плат, об одной из которых подробно рассказано в [1].

Визуально Arduino представляет собой небольшую печатную плату с установленным МК, кварцевым резонатором, стабилизатором питания, конвертором USB-UART и, главное, «гребенкой» контактов, которые подводят сигналы к цифровым и аналоговым портам (рис. 1).

Arduino в лаборатории современного радиолюбителя должен занимать примерно такое же место, как осциллограф или вольтметр. С помощью Arduino отлаживаются небольшие части программы, демонстрируются визуальные эффекты, макетируются нестандартные конструкции и делаются измерительные приборы-однодневки. Почему «однодневки»? Потому что их легко собрать и разобрать за один день.

К «однодневкам» можно отнести низковольтный USB-программатор на базе Arduino. Никакие дополнительные радиоэлементы для него не требуются. Припаяв 5 проводов и программируй, на здоровье, внешний МК. Таким способом, например, можно обновить прошивку МК ATmega8, который входит в предварительный звуковой усилитель из цикла статей М.У.З. [2].

Порядок действий.

1) Приобрести одну из плат Arduino, желательно новее, с разъемом USB и МК ATmega328, ATmega8U2, ATmega16U2. Устаревшие версии Arduino с поддержкой COM-порта легко изготовить самостоятельно, но они, по понятным причинам, подходят лишь владельцам ретро-компьютеров.

2) Скачать и установить на компьютер программную среду Arduino-1.0.5 <<http://arduino.cc/en/Main/Software>>. Подключить USB-кабель к Arduino, дождаться, пока будут в автоматическом режиме установлены драйвера, и появится сообщение о том, что найдено новое оборудование и оно готово к работе. В системе должен появиться новый виртуальный COM-порт, например, COM3, под названием Arduino.

К программируемому МК ATmega8

Выходы : 8 : 19 : 18 : 17 : 1 : (GND : SCK : MISO : MOSI : RES#)



Рис.2

3) Собрать схему, приведенную на рис.2. Вместо пучка проводов можно изготовить кабель-переходник со штыревы-

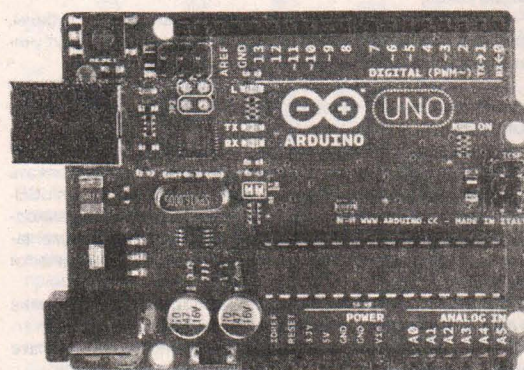


Рис.1

ми PLS-контактами, где используются цепи GND, SCK, MISO, MOSI, RES#.

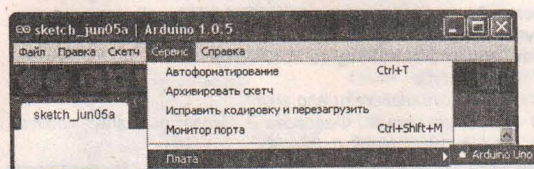


Рис.3

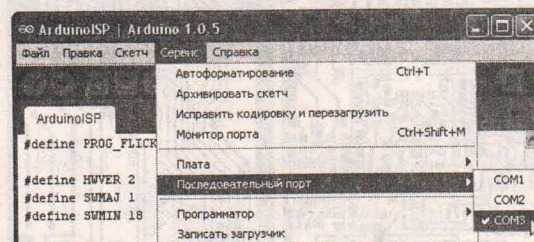


Рис.4

4) В начальном меню Arduino-1.0.5 выбрать тип применяемой платы (рис.3) и номер виртуального COM-порта (рис.4). Загрузить программу-скетч под названием ArduinoISP (Файл-Примеры-ArduinoISP). Запрограммировать МК Arduino, нажав пиктограмму «Загрузить» или через меню «Файл-Загрузить». В процессе программирования на плате Arduino должны мигать светодиоды. Окончание прошивки знаменуется надписью «Загрузка выполнена», после чего Arduino превращается в автономный USB-программатор для широкого спектра AVR-контроллеров.

5) Подать питание на программируемый МК. Запустить на выполнение среду WinAVR, точнее открыть редактор PN2 [2]. Выбрать какой-нибудь ранее отложенный проект для М.У.З. Откорректировать имеющийся в нем make-файл изменением двух строк (табл.1). Выбрать в PN2 пункт меню «Tools-[WinAVR] Program». Через несколько секунд программирование внешнего МК будет завершено (рис.5). Задача выполнена.

Тем, кто желает, не выходя из WinAVR, программировать еще и фьюзы, следует проштудировать справку помощи <http://www.nongnu.org/avrdude/user-manual/avrdude_4.html#Options> или файлы в папке C:\WinAVR-20100110\doc\avrdude\. Дополнительные команды для

МИКРОКОНТРОЛЛЕРЫ

Таблица 1

Имеется в Makefile	Должно быть в Makefile
AVRDUDE_PROGRAMMER = stk500	AVRDUDE_PROGRAMMER = avisp -b 19200
AVRDUDE_PORT = com1 # programmer connected to serial device	AVRDUDE_PORT = com3 # programmer connected to serial device

```

Output

Reading | ##### | 100% 0.14s
avrduke: verifying ...
avrduke: 114 bytes of flash verified
avrduke done. Thank you.

> Process Exit Code: 0
> Time Taken: 00:03

```

Рис.5

AVRDUDE дописываются последовательно в первую строку табл.1 и начинаются с дефиса.

Модернизация WinAVR. В цикле статей [2] применялись различные версии WinAVR по мере их выпуска в свет. Читатели могли воочию наблюдать процесс «возмужания» программы от версии 20050214 до 20080610. В 2010 году вышла последняя версия WinAVR-20100110. После этого наступило долгое затишье. В чем же дело?

Судя по сообщениям на форумах, главный идеолог WinAVR Eric Weddington завершил участие в этом проекте и переключился на разработку аналогичной программной среды AVR Toolchain под крылом фирмы Atmel. С октября 2010 года он официально занимает на фирме должность «Open Source Community Manager». Разработанный им Toolchain входит в состав пакета Atmel Studio-6. Единственное, что «вес» Studio составляет более 700 МБ и требует 1-2 ГБ ОЗУ и 4 ГБ места на винчестере. Кроме того, при переносе make-файлов из WinAVR в Toolchain могут возникнуть проблемы, описанные в [3].

А что же WinAVR? Полюбившаяся многим среда программирования дала свои «ростки» (табл.2). В их основе лежит периодическое обновление версий головных частей пакета, а именно, компилятора AVR-GCC (было 4.3.3, сейчас 4.8.1), набора утилит Binutils (было 2.19, сейчас 2.23.52), библиотеки AVR-libc (было 1.6.7, сейчас 1.7.1), программатора AVRDUDE (было 5.6, сейчас 5.11) и т.д.

Чтобы не отставать от времени, можно модернизировать WinAVR-20100110 и проще всего это сделать патчем обновле-

Пятый год финальный этап Всеукраинской студенческой олимпиады среди молодых радиотехников был проведен в стенах Винницкого национального технического университета (ВНТУ), входящего в 25 лучших университетов Украины (рейтинг ТОП-200 ВНЗ за 2012 год).

Олимпиада проходила с 2 по 5 апреля. В ней приняли участие шестьдесят два участника из большинства ведущих высших технических учреждений Украины. Молодые специалисты демонстрировали свои знания по базовым радиотехническим дисциплинам: «Основы теории цепей», «Сигналы и процессы в радиотехнике», «Аналоговые электронные устройства», «Электродинамика и распространение радиоволн», «Цифровые устройства и микропроцессоры».

В день официального закрытия и награждения победителей для участников Олимпиады проведен мастер класс на тему «Организация канала оперативной связи с использованием телеметрического управления и VoIP технологий в открытым радиолюбительским FM сетях» от учебно-научного центра систем радио и радиоаматорства ВНТУ Владимира Белова.

Определение победителей и награждение их ценными призами стало заключительным аккордом интеллектуальных соревнований в индивидуальном первенстве:

первое место - Гаврасенко Анатолий (Винницкий национальный технический университет);

второе место - Султан Бекболат (Хитомирский военный институт им. С. П. Королева Национального авиационного университета);

третье место - Дубровка Роман и Маринин Николай (Национальный технический университет Украины «Киевский политехнический институт»);

четвертое место - Гуменик Петр (Национальный университет «Львовская политехника»);

пятое место - Маринин Николай (Национальный технический университет Украины «Киевский политехнический институт»).

Также были определены победители командного зачета:

первое место - Национальный университет «Львовская политехника»;

второе место - Харьковский национальный технический университет им. С. П. Королева Национального авиационного университета;

третье место - Одесский национальный политехнический университет, Винницкий национальный технический университет.

Приятный бонус от производителя: в архиве WinAVR-20100110 в папке «avr» есть папка «share», в которой находятся пакеты AVR-GCC, AVR-libc, AVR-libm, AVR-libc и т.д. Для установки достаточно скопировать их в соответствующие папки в WinAVR-20100110.

Указанная процедура существенно обновляет весь пакет WinAVR, но компилятор «дотягивается» лишь до версии 4.7.0. Чтобы иметь самую свежую версию AVR-GCC, надо дополнительно скачать файл патчей от «GCC team» (http://sourceforge.net/projects/mobilechessboard/files/avr-gcc%20snapshots%20%28Win32%29/avr-gcc-4.8_2013-03-06_mingw32.zip/). В его архиве содержатся папки «avr»...«share», которые надо тоже скопировать в C:\WinAVR-20100110\ с заменой файлов более новыми по дате.

Важное уточнение. В программировании не всегда самый свежий релиз лучше предыдущего. Существуют так называемые «стабильно работающие версии», это своего рода конт-

Таблица 2

Программная среда	Автор	Комментарии
WinAVR-20100110 (patch)	"srmeister"	Патч обновленный WinAVR на первой странице форума http://www.avrfreaks.net/index.php?name=PPhpBB2&file=viewtopic&t=117504
WinAVR-20100110 (patch GCC)	"GCC team"	Свежие патчи AVR-GCC от самих разработчиков (из первых рук) http://sourceforge.net/projects/mobilechessboard/files/avr-gcc%20snapshots%20%28Win32%29/
MHV AVR Tools	"Make Hack Void"	Автономное развитие WinAVR в Австралии http://www.makehackvoid.com/
KGP	"klen"	Сборки GCC для AVR, ARM под Windows, Linux на форуме http://electronix.ru/forum/index.php?showtopic=42167

рольные точки для проверки корректности функционирования последующих изменений. В среде WinAVR стабильными можно условно считать версии: 20060421, 20070525, 20081205, 20090313, 20100110. Их пути находятся на странице <http://sourceforge.net/projects/winavr/files/WinAVR/>. Следовательно, если модернизация WinAVR почему-то дает сбои (многочисленные предупреждения «Warning...» не в счет), то надо всегда иметь под рукой среду с более старым компилятором. Пусть полученный код будет не совсем оптимальным, но зато устойчиво работающим на практике.

Литература

- Слепнев С. Светодиодный куб для Arduino Nano // Радиохобби, 2013, №2, С. 40-43.
- Рюмик С. Микроконтроллерное управление звуком // Радиохобби, 2005...2008.
- Перенос make-файлов (Makefile) с WinAVR на AVR Toolchain / «avtvolk», 2011 <<http://we.easylelectronics.ru/AVR/perenos-make-faylov-makefile-s-winavr-na-avr-toolchain.html>>.

второе место - Национальный технический университет Украины «Киевский Политехнический Институт» и Житомирский военный институт им. С. П. Королева Национального авиационного университета;

третье место - Национальный технический университет «Харьковский политехнический институт», Одесский национальный политехнический университет, Винницкий национальный технический университет.

Хотелось бы отметить успех в направлении сотрудничества оргкомитета с еще большим количеством профильных радиотехнических журналов с подписанной на территории Украины и ближайших союзных государств - Информационными партнерами ВСOPT-13 - «Радиохобби», «CHIP NEWS Украина», «РадиоМир».

К. Т. н., доцент кафедры РТ Коваль К. О.,

К. Т. н., доцент Семенов А. О.

(окончание со с. 21)

антенны. Как отмечает производитель, достигнут значительный прорыв в развитии многодиапазонных вертикальных КВ антенн, в сравнении с антеннами, требующими использования тюнера. В результате, антенна более точно отвечает потребностям современного радиолюбителя. Более подробно можно ознакомиться с антенной в блоге YL3BU по адресу: http://www.yl3bu.lv/news/2013-03-19_New_Cushcraft_R9_and_whats_new. Характеристики R9: усиление 3 дБи; КСВ 1,2; максимальная подводимая ВЧ мощность 1500 Вт; высота 9 м; максимальный диаметр излучателя 5 см; ветровая нагрузка 0,23 м²; вес 12 кг.

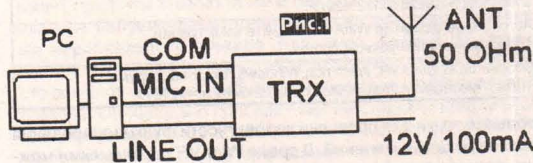
Трансивер «Digi-80»

Андрей Мошенский (UT5UU), г. Киев

Путь в эфир в наше время значительно отличается от подготовки специалистов Советской эпохи. Школы подготовки при ТСО Украины (преемник ДОСААФ) функционируют неудовлетворительно. Кружков по интересам, клубных радиостанций очень мало. Как результат, новые кадры в ряды радиолюбителей-коротковолнников и ультра-коротковолнников проходят самоподготовку. Не редко происходит подготовка в клубах и сообществах, имеющих потребность в радиосвязи. Как пример - туристы, автомобилисты, охотники, и.т.д.

Освоение начинают не с КВ, а с УКВ диапазонов. Причина тому - широкий ассортимент общедоступных портативных радиостанций. При стоимости до 50 дол. за новую Вы можете приобрести двухдиапазонный УКВ трансивер. Пример Baofeng, Voxung, Puxing. Следующий шаг - внешние антенны кругового и направленного излучения.

При знакомстве с КВ возникает острая необходимость в недорогом и надёжном трансивере. Очень жаль, что на данный момент не существует дешёвой серийной аппаратуры для КВ связи, доступной начинающему.



Не имея возможности купить, всегда есть возможность изготавливать самостоятельно аппаратуру. Сложность возникает только в настройке. Тем не менее, в схемотехнику можно заложить стабилизацию режимов работы по постоянному и переменному току, например ООС, и стабилизацию частоты на основании пьезоэффекта (кварцевая стабилизация).

Анализируя несложные конструкции для самостоятельной сборки, становится очевидно, что наиболее просты телеграфные аппараты. Особенно привлекательны «PIXIE» или «Миро-80». Однако, незнание начинающим радиолюбителем телеграфа, делает эти проекты малопривлекательными при всей

простоте и технологичности.

Для работы голосом в однополосной модуляции заслуживают внимания конструкции «Аматор-КФ», «BITX», «Клопик», и т.п. Но для SSB необходима мощность, которую не сразу удается обеспечить, из-за чего работа телефоном будет утомительна.

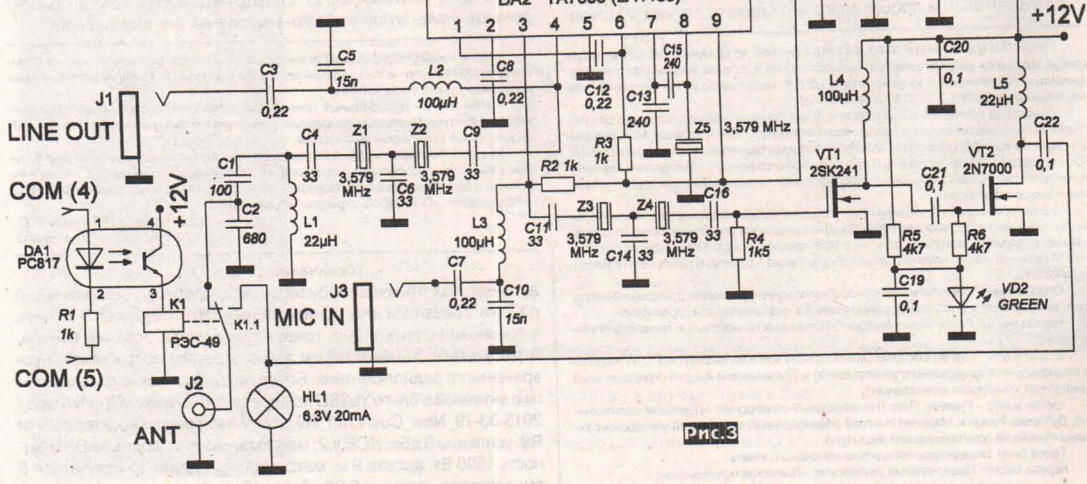
Удачный компромисс - простые трансиверы для цифровых видов связи. Интересные конструкции «NIKI-80» и «WARBLER». Но первый из них обеспечивает режим двух боковых полос, что приводит к возникновению излишних помех при работе. Второй дорог по комплектации и сложен в наладке.

Вашему вниманию предлагается простой, надёжный, однополосный КВ трансивер, предназначенный для ведения связи цифровыми видами излучения (DIGI MODES). При сборке из исправленных компонентов, трансивер не нуждается в настройке и регулировке. Стоимость деталей составляет эквивалент 3 (трёх) дол. США. Для работы необходим компьютер и управляющая программа, например MixW или др. Трансивер подключается к ПК по схеме на рис. 1.

Основные характеристики трансивера:

- чувствительность приёмника не хуже: 1 мкВ,
- полоса пропускания (рабочая полоса): 3579.5-3581.0 кГц,
- мощность передатчика: 500 мВт,
- питание: 12 В, не более 100 мА макс.,
- режим работы: PSK, RTTY, HELL, MT...

Блок-схема трансивера показана на рис. 2. Общие для приемника и передатчика гетеродин (G), смеситель (MIX) и усилитель (AMP) взяты из состава микросхемы УКВ приемника



Pic.3

ТА7358 (LA1185). Нестандартность использования данной микросхемы заключается в применении ее штатного УВЧ в качестве УНЧ на приём и драйвера на передачу. Ввиду специфики диапазона 80 метров стало возможным применять тракт TA7358 (LA1185) со входом смесителя, а не в стандартном включении УВЧ-Смеситель+гетеродин. При таком включении удалось получить чувствительность приемного тракта не ниже 1 мкВ.

Схема трансивера (рис.3) представляет собой на приём приёмник прямого преобразования с КФ на входе, а на передачу - классический фильтровый метод формирования сигнала. На 2SK241 выполнен драйвер, работающий в режиме «А». На 2N7000 - оконечный УМ в режиме С - с углом отсечки чуть менее 90 градусов, что позволило упростить коммутацию приём-передача. При отсутствии сигнала на входе УМ он надёжно заперт и не влияет на работу тракта.

В режиме приема сигнал с антены через разъем J2, нормально замкнутые контакты K1.1 реле K1, диапазонный полосовой фильтр (ДПФ) L1C1C2 и кварцевый ДПФ Z1Z2C6 поступает на вход смесителя (выв.4 DA2). С выхода смесителя (выв.6 DA2) НЧ сигнал подается на вход УНЧ (выв.1 DA2), а с его выхода (выв.3 DA2) через ФНЧ L3C10 - на микрофонный вход ПК, где обеспечивается предельная чувствительность приемника.

В режиме передачи сигнал с COM порта переключает при помощи опто-транзистора DA1 и реле K1 антенну на выход УМ. Сформированный программой НЧ сигнал определенного цифрового режима связи с линейного выхода ПК через разъем J1 поступает на вход смесителя-модулятора (выв.4 DA2), с его выхода (выв.6 DA2) - на вход усилителя-драйвера УМ (выв.1 DA2, а с его выхода (выв.3 DA2) через полосовой фильтр Z3Z4C14 - на УМ (VT1VT2). Лампа накаливания HL1 служит для

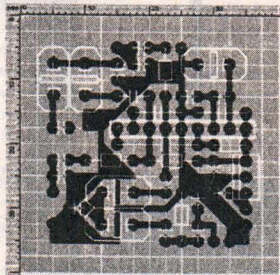


Рис.4

визуального контроля ВЧ напряжения на выходе передатчика. При 500 мВ она горит почти в полный накал. (От редактора: выбор лампы накаливания с рассеиваемой мощностью 126 мВт не является оптимальным решением при Рвых.=500 мВт. В этом случае можно применить более экономичный индикатор ВЧ, например, связь с выходом передатчика через виток связи диодный выпрямитель, УЛП на транзисторе и светодиоде в качестве его нагрузки). Частота гетеродина трансивера в составе DA2 стабилизирована кварцем Z5.

Настройка комплекса ПК-трансивер сводится к установке уровня сигнала на линейном выходе ПК для достижения на

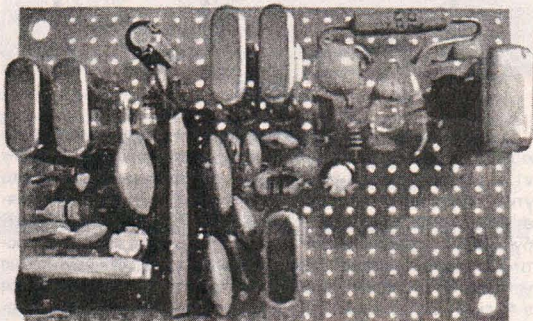


Рис.5

выходе передатчика полной мощности, контролируя последнюю по свечению индикаторной лампы.

Детали: L1-L5 - серийно выпускаемые дроссели, C17 - электролитический конденсатор с рабочим напряжением 16 В.

Чертеж печатной платы мало-сигнальной части трансивера размером 35x35 мм показан на **рис.4**, а ее файл DIGI80_UT5UU.lay в формате Sprint-Layout 5.0 - можно скачать на сайте журнала Радиохобби в разделе, посвященном июньскому номеру. Монтаж трансивера можно выполнить и на универсальной макетной плате, как показано на **рис.5** и на первой странице обложки.

Ноу-хау направленной Wi-Fi антенны

(Окончание, начало см. в «РХ» №2/2013, с.54-57)

Георгий Божко (UT5ULB), г. Киев

Приступим к изготовлению рассчитанной в первой части статьи 4-элементной Wi-Fi антенны в соответствии с эскизом на **рис.14** («РХ» №2/2013, с.57). Учитывая, что в качестве вибратора будет использоваться штатная вертикальная антенна роутера, вначале изготовим траверсу по чертежу **рис.15**, на

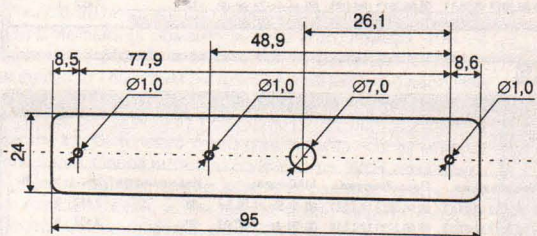


Рис.15

которой будут размещены рефлектор и два директора. В связи с малым весом этих элементов траверсу удобно выполнить из листового пенопласта толщиной около 4 мм, использовав, например, для этого дно упаковочной пенопластовой прямоугольной тарелки. Отверстие для вибратора должно иметь диаметр на 1 мм меньше, чем диаметр вибратора роутера. В авторском варианте диаметр этого отверстия - 7 мм. Отверстия для проволочных элементов удобно проколоть 1-миллиметровой иглой. Затем с помощью штангельциркуля, надфilia и бокорезов изготавливаем из провода ПЭЛ диаметром 1,6 мм по размерам на **рис.14** два директора и рефлектор. Внача-

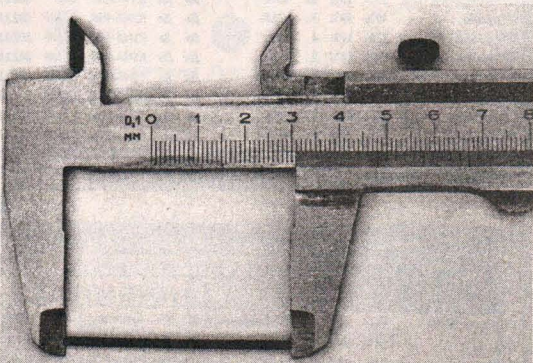


Рис.16

ле отрезаем куски на 0,3-0,5 мм больше, а затем укорачиваем их надфилем до нужного размера, контролируя этот процесс штангельциркулем, как показано на **рис.16**. Затем аккуратно вставляем в отверстия соответствующие элементы, как показано на **рис.14** и фиксируем их на пенопластовой траверсе с двух сторон каплями клея ПВА. Внешний вид траверсы с тремя пассивными элементами показан на **рис.17**. Полученную заготовку антенны осторожно одеваем на вертикально установленный вибратор роутера - в результате получаем весьма симпатичную конструкцию Wi-Fi антенны из подручных материалов (**рис.18**).

ГГц

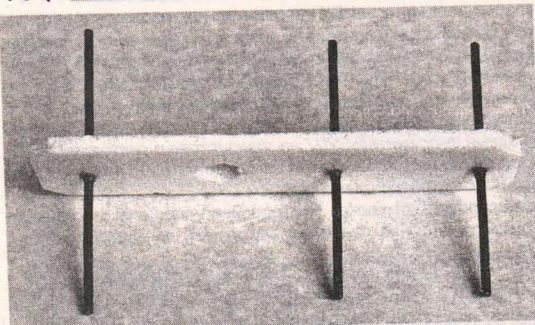


Рис.17

Измерение усиления антенны автором производилось с помощью бесплатно распространяемой утилиты WirelessNetView v1.41 [4] для мониторинга сигналов беспроводных сетей. Эта утилита, установленная на ноутбуке с Wi-Fi модулем, позволяет мониторить все сигналы Wi-Fi в месторасположении ноутбука, в т.ч. и уровни их сигналов в дБм (графа «Инд.мощности»). В ходе эксперимента по измерению мощности роутер был установлен на системном блоке настольного ПК и располагался в 40 см от стены, а ноутбук с измерительной утилитой - в следующей комнате на расстоянии около 4 м с ориентацией плоскости экрана перпендикулярно роутеру (как правило Wi-Fi антенны в ноутбуках размещают по периметру крышки-экрана). Результаты измерения мощности сигнала роутера на выходе Wi-Fi модуля ноутбука со штатной антенной показаны на **рис.19 (третья строка сверху, «Asus», «Инд.мощности» = -44 дБм), а с 4-элементной антенной - на **рис.20** (третья строка сверху,**

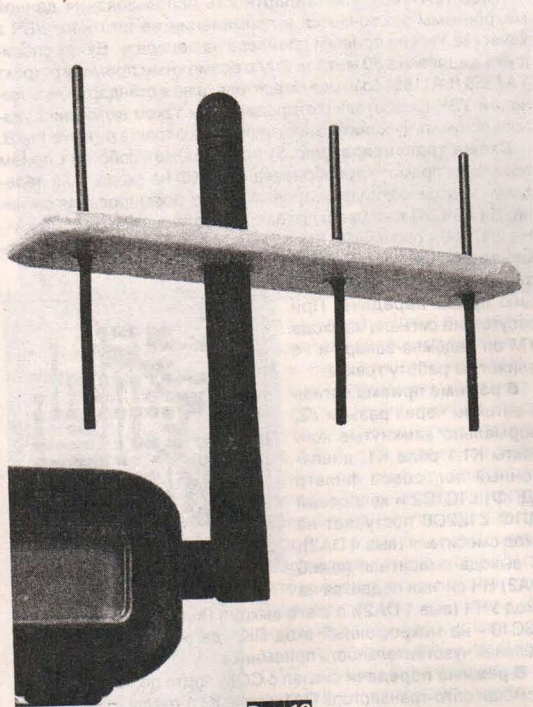


Рис.18

Имя сети (SSID)	П...	С...	О...	% обнаруже...	З...	П...	Аутенти...	Ши...	Физи...	Перв.обнаруже...	Посл.обнаруже...	МАС-адрес	Инд.мощности	Ча...	Н...
(pp) 28%	30%	2..	38.2%		Да	Да	RSNA-PSK	CCMP	802.11n	08.06.2013 18:05:13	08.06.2013 18:14:23	90-46-52-20-36-1c	-86	2,452	9
(pp) 401	12%	13%	3..	61.2%	Да	Да	RSNA-PSK	Tkip	802.11g	08.06.2013 18:05:13	08.06.2013 18:14:25	00-90-4c-c0-00-03	-91	2,437	6
(pp) ASUS	10..	10..	3..	100.0%	Да	Да	RSNA-PSK	CCMP	802.11n	08.06.2013 18:08:09	08.06.2013 18:14:25	48-5b-39-d7-3a-ce	-44	2,412	1
(pp) CANYON_35E32E	14%	27%	2..	43.8%	Да	Да	RSNA-PSK	CCMP	802.11n	08.06.2013 18:05:13	08.06.2013 18:14:23	6-c4-d9-35-e3-2e	-90	2,452	9
(pp) DIR-300NRU	12%	15%	3..	59.8%	Н..	Да	802.11 ..	Нет	802.11n	08.06.2013 18:05:29	08.06.2013 18:14:11	84-c9-b2-88-9a-ee	-91	2,462	11
(pp) DIR-300NRU.2	12%	15%	3..	57.5%	Н..	Да	802.11 ..	Нет	802.11n	08.06.2013 18:05:29	08.06.2013 18:14:03	84-c9-b2-88-9a-ef	-91	2,462	11
(pp) Home Sweet Ho...	16%	15%	21	4.3%	Да	Да	WPA-PSK	Tkip	802.11g	08.06.2013 18:06:15	08.06.2013 18:10:12	00-14-78-ec-52-88	-89	2,437	6
(pp) maxon	40%	39%	3..	62.1%	Да	Да	RSNA-PSK	CCMP	802.11n	08.06.2013 18:05:13	08.06.2013 18:14:25	a0-f3-c1-be-59-0a	-80	2,417	2
(pp) PEUGEOT_Network	12%	12%	4..	8.9%	Да	Да	RSNA-PSK	CCMP	802.11n	08.06.2013 18:13:41	08.06.2013 18:13:44	18-d1-11-bb-15-ca	-91	2,412	1
(pp) TP-LINK_76	16%	19%	2..	51.5%	Да	Да	RSNA-PSK	CCMP	802.11n	08.06.2013 18:05:13	08.06.2013 18:14:03	90-46-52-96-2e-5e	-89	2,462	11
(pp) TP-LINK_7EA802	28%	29%	5..	93.9%	Да	Да	RSNA-PSK	CCMP	802.11n	08.06.2013 18:05:13	08.06.2013 18:14:25	a0-f3-c1-7e-a8-02	-86	2,462	11
(pp) Valeria	32%	34%	3..	60.3%	Да	Да	RSNA-PSK	CCMP	802.11n	08.06.2013 18:05:13	08.06.2013 18:14:25	30-85-e9-ee-fd-c0	-84	2,417	2
(pp) vladislav	8%	8%	5..	3.4%	Да	Да	RSNA-PSK	CCMP	802.11g	08.06.2013 18:11:55	08.06.2013 18:11:59	00-1e-e5-f9-dc-b8	-93	2,412	1
(pp) XENON	57%	46%	5..	99.8%	Да	Да	RSNA-PSK	CCMP	802.11n	08.06.2013 18:05:13	08.06.2013 18:14:25	60-84-4c-7a-4e-d0	-74	2,412	1

Беспроводных сетей: 14

NirSoft Freeware. <http://www.nirsoft.net>

Рис.19

Имя сети (SSID)	П...	С...	О...	% обнаруже...	З...	П...	Аутенти...	Ши...	Физи...	Перв.обнаруже...	Посл.обнаруже...	МАС-адрес	Инд.мощности	Ча...	Н...	К...
(pp) 30%	30%	1..	39.0%		Да	Да	RSNA-PSK	CCMP	802.11n	08.06.2013 18:05:13	08.06.2013 18:12:17	90-46-52-20-36-1c	-85	2,452	9	
(pp) 401	14%	13%	2..	59.8%	Да	Да	RSNA-PSK	Tkip	802.11g	08.06.2013 18:05:13	08.06.2013 18:12:18	00-90-4c-c0-00-03	-90	2,437	6	
(pp) ASUS	10..	10..	2..	100.0%	Да	Да	RSNA-PSK	CCMP	802.11n	08.06.2013 18:05:13	08.06.2013 18:12:17	48-5b-39-d7-3a-ce	-36	2,412	1	
(pp) CANYON_35E32E	26%	28%	1..	45.5%	Да	Да	RSNA-PSK	CCMP	802.11n	08.06.2013 18:05:13	08.06.2013 18:12:18	84-c9-b2-88-9a-ee	-87	2,452	9	
(pp) DIR-300NRU	16%	16%	2..	60.9%	Н..	Да	802.11 ..	Нет	802.11n	08.06.2013 18:05:29	08.06.2013 18:12:18	84-c9-b2-88-9a-ef	-89	2,462	11	
(pp) DIR-300NRU.2	10%	15%	2..	60.9%	Н..	Да	802.11 ..	Нет	802.11n	08.06.2013 18:05:29	08.06.2013 18:12:18	84-c9-b2-88-9a-ef	-92	2,462	11	
(pp) Home Sweet Ho...	16%	15%	21	5.9%	Да	Да	WPA-PSK	Tkip	802.11g	08.06.2013 18:06:15	08.06.2013 18:10:12	00-14-78-ec-52-88	-89	2,437	6	
(pp) maxon	88%	39%	2..	54.8%	Да	Да	RSNA-PSK	CCMP	802.11n	08.06.2013 18:05:13	08.06.2013 18:12:18	a0-f3-c1-ee-59-0a	-56	2,417	2	
(pp) TP-LINK_76	18%	19%	2..	49.5%	Да	Да	RSNA-PSK	CCMP	802.11n	08.06.2013 18:05:13	08.06.2013 18:12:18	90-46-52-96-2e-5e	-88	2,462	11	
(pp) TP-LINK_7EA802	14%	28%	3..	93.3%	Да	Да	RSNA-PSK	CCMP	802.11n	08.06.2013 18:05:13	08.06.2013 18:12:18	a0-f3-c1-7e-a8-02	-90	2,462	11	
(pp) Valeria	88%	33%	2..	57.4%	Да	Да	RSNA-PSK	CCMP	802.11n	08.06.2013 18:05:13	08.06.2013 18:12:17	30-85-e9-ee-fd-c0	-56	2,417	2	
(pp) vladislav	8%	8%	5..	21.7%	Да	Да	RSNA-PSK	CCMP	802.11g	08.06.2013 18:11:55	08.06.2013 18:11:59	00-1e-e5-f9-dc-b8	-93	2,412	1	
(pp) XENON	52%	44%	4..	99.8%	Да	Да	RSNA-PSK	CCMP	802.11n	08.06.2013 18:05:13	08.06.2013 18:12:18	60-84-4c-7a-4e-d0	-74	2,412	1	

Беспроводных сетей: 13

NirSoft Freeware. <http://www.nirsoft.net>

Рис.20

«Asus», «Инд. мощности» = -36 дБм). Как видим, сигнал с доработанной антенной возрос на 8 дБ, что является 100% совпадением с расчетными данными усиления для 4-элементной антенны. Конечно, в расчете и измерении есть несколько компромиссов и случайностей. Во-первых, добавление пассивных элементов к вибратору изменяет его сопротивление излучения и теоретически, без принятия мер по согласованию, уменьшает расчетное усиление. Во-вторых, при измерениях параметров антенн, расположенных, не в свободном пространстве, трудно учесть все мешающие факторы, воздействующие на параметры антенны. Но, тем не менее, в конкретных условиях измерения автором были получены сопоставимые с расчетными данными показатели усиления антенны. Несколько слов о повторяемости. Данная антenna была разработана по просьбе моего товарища Владимира Клебанова, которому необходимо было поднять уровень сигнала в месте приема на 6-8 дБ. Им были изготовлены два образца рассчитанных автором антенн и получены показатели усиления не менее 6 дБ. Следует учесть, что при повторении использовались элементы с другим диаметром (около 1 мм) и, естественно, другая окружающая среда (вместо одной стены прислоило «пробивать» сигналом три.

Таблица 1

Качество	дБм
Превосходное	>-51
	-53
	-55
	-57
	-59
	-61
	-63
Хорошее	-65
	-67
	-69
	-71
	-73
	-75
	-77
Удовлетворительное	-79
	-81
	-83
	-85
	-87
	-89
	-91
Плохое	-93
	-95
	-97
	-99
	-101
	-103
	-105
Очень плохое	-107
	-109
	-111
Отсутствие сигнала	<-113

Рекомендации по размещению антennы. При размещении антennы необходимо знать, что наибольшее влияние на параметры антennы имеют металлические поверхности, проводники и другие проводящие предметы, располагающиеся параллельно элементам антennы на расстоянии меньше 1-2 длин волн, в нашем случае это 12-24 см.

Рекомендации по применению антennы. Для того, чтобы с уверенностью знать, что антenna нужна полезно воспользоваться данными из Руководства пользователя (MetaGeek_inSSIDerUserGuide_WiFi-Scanner_2012.pdf) для еще одного свободно распространяемого Wi-Fi сканера inSSIDer v.2.1 [5]. К сожалению этого документа, по указанной ссылке уже нет, а для новых версий данные об уровнях сигналов и качестве приема отсутствуют, поэтому приведу их в таблице 1. Конечно, эти данные не учитывают скорости передачи информации. В связи с этим исходя из практики автор рекомендует с одной стороны придерживаться уровней сигналов в месте приема из таблицы 1, и если они меньше чем -75 дБм задуматься о необходимости установки антennы, а с другой стороны контролировать скорость передачи информации, и если, например, она заметно падает после удаления роутера, а при его приближении снова возрастает, то это тоже говорит о необходимости применения антennы. Но во всех названных случаях нельзя не принимать в расчет и случайные изменения уровней сигналов Wi-Fi. Полезно с помощью направленной антennы отсеять зону Вашей сети от мешающих сигналов соседей. Например, если Ваш роутер находится в крайней комнате и работает на остальные две-три комнаты в одну сторону, то однозначно будет полезно использовать описанную в статье антennу, направив ее директорами (в этом направлении она имеет максимальное усиление) в сторону ваших комнат.

Литература и ссылки

4. <http://www.nirsoft.net/WirelessNetView v1.41>
5. <http://www.metageek.net/products/inssider/> (MetaGeek_inSSIDerUserGuide_WiFi-Scanner_2012.pdf для inSSIDer версии 2.1)

ОЗЧУ-2013 - настоящий экстрим!

Георгий Чилинц (UY5XE) - гл. судья соревнований, СМК
Сергей Макаров (UX7IA) - директор соревнований

Немного предыстории:

Первоначальная идея возрождения «Очно-заочного Чемпионата Украины по радиосвязи на KB телеграфом» принадлежала в 2010 г. Александру Савенкову (UR5IOK; ранее - UB5IOK; ныне - S.K.) - когда и был разработан первоначальный вариант его «Положения» (основная группа разработчиков: UR5IOK, US1ITU, UT2UB, UX7IA и UY5XE).

По инициативе UX7IA и при поддержке председателя ДОО ЛРУ Вадима Погоржельского (UT1IR), президента АРУ Андрея Лякина (UT2UB) и президента клуба «Арго» Сергея Бондаренко (US3IZ) летом 2012 г. было принято решение о его проведении 1 июня 2013 г. в Горловке.

Идея проведения ОЗЧУ в Горловке нашла поддержку в ее Горадминистрации (вкл. как руководство, так и его отделы Спортивной работы и Молодежной политики). Был создан Оргкомитет ОЗЧУ-2013 (под председательством зам. главы Горадминистрации), с которым было согласовано конкретное место проведения в поле данного Чемпионата (утверждено его топографическая карта).

В декабре 2012 г. Леонид Анискиным (ех: UR7IA) был создан сайт ОЗЧУ-2013 (<http://www.ozchu2013.pusku.com/index.htm>), который (на момент открытия Чемпионата) зафиксировал около 6000 посещений.

Идея проведения ОЗЧУ-2013 нашла поддержку у коротковолновиков и ряда СМИ - появились ее как финансовые, так и информационные спонсоры. За что им большое спасибо!

Хотя были и скептики (не хотим называть их позывными), которые на одном из местных рефлекторов заявляли, что горловские коротковолновики провести ОЗЧУ не смогут...

В России была приобретена программа для электронного судейства ОЗЧУ и, в распоряжение его гл. секретаря, ДОО ЛРУ выделило ноутбук. Следует отметить, что программа предусматривает проверку и на т.н. «уникальные» позывные, которые встречаются в нескольких отчетах участников. В нашем случае, ГСК было принято решение установить таких «3».

Были изготовлены как атрибутика (вымпела и футболки), так и элементы наградной программы Чемпионата («Доски», Медали трех степ-

ней, Дипломы - для призеров и «Сертификаты» - для остальных участников ОЗЧУ-2013). Были изготовлены компакт-диски «Из истории очно-заочных соревнований по радиосвязи на KB телеграфом» (окхвачивавшие периоды: 1980-91 гг. - СССР и 1986-91 гг. - УССР).

12 апреля на QRZ.com была открыта страница «EM23IA» (TNX UA6JD).

20 апреля несколько членов Оргкомитета, провели субботник по подготовке к ОЗЧУ-2013. Была проведена весенняя ревизия поля - для размещения будущих позиций, проведена сверка «точек» при помощи GSM и биты разметочных колышки.

UR7QM, UY5QQ и UT7MA были разработаны модули (для очных и заочных участников) для пользователей контест-программами TR4W и N1MM и 5MCONTEST.

Спонсорами ОЗЧУ-2013 стали (позывные расположены в алф. порядке):

- Коротковолновики: R7LV, UA0QBR, UR0MC, UR3IP, UR3IVQ, UR4IOR, UR4LRG, UR5IHQ, UR6IJN, UR6IU, US2IM, US2IR, US3IAK, US3ITU, US5IHD, US5IQ, US5IV, US5WFD, US6IOU, US7ISE, US7IDN, US7IIIX, US7UX, US91GG, UTOIB, UT1IR, UT2II (приз - УКВ-радиостанция), UT2IZ, UT3QT, UT5IA, UT5UDX, UT7IY (приз - «RigExpert»), UT7QF, UT8IO, UT9IO, UX3IA, UX3IR, UX4IM и UY5XE (программа для судейства ОЗЧУ);
- Лига радиолюбителей Украины;
- Донецкая ТРК «Надежда» (ген. директор В. Погоржельский/UT1IR);
- «кругой» ноутбук («Lenovo»);
- Журнал «Радиохобби» - пять годовых подписок журнала на 2013 г.
- «Благотворительный фонд имени VE6JO/UB5BK».
- Информационными спонсорами ОЗЧУ-2013 стали:
- Обуховский радиоклуб «Delta» - <http://deltaclub.org.ua/>
- Домашняя страница UT7UT - <http://ut7ut.org.ua/>
- Национальная программа URFF - <http://wif44.org.ua/>
- Сайт «Клуба любителей пива» - <http://blrco.ucoz.ru/news/>
- Сайт радиолюбителей Днепропетровска - <http://hamradiodn.at.ua/>
- Сайт BSCC - <http://www.bsccln.in/>



Открытие

- Журнал «Радиохобби» - <http://radiohobby.QRZ.ru>
 - Журнал «ЭЛЕКТРОНИКА-инфо («Радиолюбитель. КВ и УКВ»)» - <http://www.rl.electronica.by/>

- Московское городское отделение CPP - <http://www.r3a.su/>
- Украинский радиопортал - www.uarl.com.ua
- Журнал «Радиомир. КВ и УКВ» - <http://radio-mir.com/>
- Radiona - [http://www.radiona.com.ua/](http://www.radiona.com.ua)
- Журнал «Радио» - [http://www.radio.ru/](http://www.radio.ru)
- Сервер QRZ.ru - <http://qrz.ru/>
- UDXC - <http://udxc.org.ua/>
- RCC - <http://www.contest.RU/>
- Украинский контест клуб (УКК).

Большую помощь Оргкомитету оказали: Николай Давыденко (UT4UT) - перевод «Положения» на английский язык, Игорь Адамовский (UR4WG) - перевод материалов на польский язык и Владимир Ламбrianov (UA6UD) - создание странички «EM23IA» на www.qrz.com/db/EM23IA.

Технический спонсор - Донецкий филиал УДЦР.

Были получены для участников ОЗЧУ «блоки» СПС (EM23IA-IZ, EN23IA-IZ и EO23IA-IZ), QSL-менеджер, которых является Сергей Бондаренко (US3IZ). EM23IA - «базовый» СПС.

Городскими властями была выделена необходимая мебель (столы и стулья - как для штаба ОЗЧУ, так и для «позиций») и был завезен биотуалет.

Несколько команд, прибывших накануне назначенного срока (30 мая), проходили жеребьевку «позиций» с записью под видео - чтобы исключить возможные претензии команд, которые прибыли на следующий день (в пятницу, 31 мая). Следует отметить четкую работу одного из зам. Главного судьи, председателя мандатной комиссии, СНК - Виктора Андриюка (UR5QU).

Во время регистрации, спортсменам и судьям от Оргкомитета были вручены подарочные наборы: футболка и вымпел с символикой Чемпионата, а также памятный компакт-диск, который отражает историю проведения как очно-заочных Всесоюзных соревнований и Чемпионатов СССР (1980-91 гг.), так и очно-заочных Чемпионатов УССР (1986-91 гг.).

На открытии присутствовали:

- зам. председателя Горадминистрации, председатель Оргкомитета ОЗЧУ Шкrebец С.Н.;
- нач. департамента спорта Горадминистрации, член Оргкомитета ОЗЧУ Приходько А.М.;
- нач. департамента образования Горадминистрации Кружилин Н.И.;
- директор центра социальных служб по делам семьи и молодежи Дятлов А.Н.;
- зам. председателя ТСОУ Донецкой обл. Штефан Н.В.

Как само открытие, так и «позиции» посетило много гостей. Помимо горловских коротковолновиков на поле приехали и жители Горловки. Многие из которых были с детьми. Этому способствовала реклама ОЗЧУ - как на городском сайте, так и в местных газетах и на канале ТВ.

После открытия, Леонид (UT2II) разыграл установленный им приз за прошедшие заочные ЧУ. Телевизор с диагональю 42 дюйма достался участнику под номером 341, которым оказался Михаил Войнаровский (UT5NA) из г. Бершадь.

На открытии Чемпионата произошла встреча 4-х поколений горловских коротковолновиков («учитель - ученик»): Юрия Николаевича Кулаги (в 1955-59 гг. - 038544, RB5AWG) - Станислава Ивановича Реброва (UT5SI), который, будучи учеником шестого класса, посещал радиокружок, возглавляемый Юрием Николаевичем - МС СССР Виталием Мельничуком (UT3IW), который был воспитанником Станислава Ивановича и воспитанником своего отца (UT3IW) - Андреем (UW5IM),

Нас регулярно посещали местные представители МВД и МЧС,дежурила медсестра. Для всех машин были выданы спецпропуска для свободного перемещения по санитарной зоне (вдоль района дислокации «позиций» проложен городской водовод). Все вышеизложенные действия и мероприятия были заранее Оргкомитетом ОЗЧУ решены с Горадминистрацией.

В 18:00 начался тест и, как назло, начался проливной дождь - с громом и молниями (первые часа два). Члены Оргкомитета и ГСК сильно переживали за спортсменов, которые оказались в поле в такой экстремальной ситуации... Но, заранее проверенная система заземлений на «позициях» антенн, трансиверов и генераторов, и ежесекундно поступающие в штаб сводки о ходе проведенных QSOs - несколько успокоили, что тест пройдет без особых происшествий... Этому способствовала как высокая дисциплина спортсменов, так и ответственное отношение судей на «позициях» к своим обязанностям Правда, произошел и курьезный случай. UT2II по жеребьевке досталась «позиция» №1, которая была расположена на восточной части поля - в 400 м от дачного поселка. Его бдительные жители, в конце первого тура теста (когда шел сильнейший дождь и было уже темно) увидели свет фар автомобиля Леонида и вызвали по телефону спецподразделение «Беркут», которые охраняют территорию вдоль канала. Приехавшие «беркутцы» мин. 20 выясняли, т.к. не могли понять что (?) делают люди в поле (с какими-то антенными и передатчиком) - среди ночи и дождя. Но, все благополучно завершилось...

В 24:00 тест закончился (а дождь закончился спустя 2 часа) и начался прием отчетов. В течении нескольких часов по Интернету были отправлены отчеты наших очников и были приняты к судейству 109 отчетов от заочных участников из 7 стран Европы и Азии (4X, 9A, DL, EW, LZ, UA1-6 и UA9). Из них: с сервера UA9QCQ - 61 отчет (вкл. от 11



Слева направо:

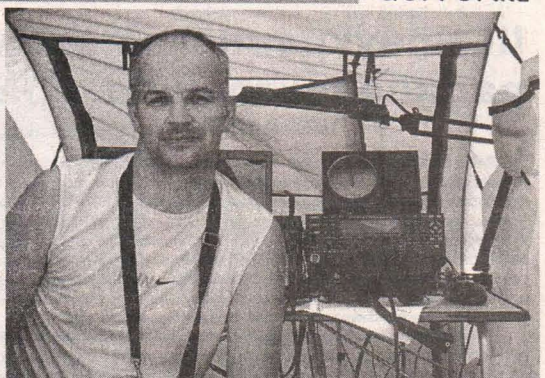
Ю.Н. Кулага, С.И. Ребров, В. Мельничук и А. Мельничук

CPS R44./р очного первенства UA4) и 19 отчетов от UCG (CPS R80-R99./р очного первенства UA9C).

Список заочных участников, приславших отчеты: 4X2M, 4Z5TK, 9A1AA, DL6KVA, DL9ZP, EW6WF/p, LZ0M, LZ5R, LZ9R, R44F/p, R44J/p,



Слева направо: UR0MC, US2YW и UY6IM



Победитель очной части Вячеслав Жук (US2YW) на рабочей позиции

p, R450/p, R45W/p, R45Z/p, R7MC, R80C/p, R81C/p, R82C/p, R82C/p, R82D/p, R83C/p, R83D/p, R87C/p, R87D/p, R88C/p, R89C/p, R90C/p, R91C/p, R92C/p, R92D/p, R93C/p, R93D/p, R97D/p, R98D/p, R99C/p, R9AE, R9QQ, R9SA, R9XC, RA1TV, RA3AN, RA4WC, RA6HSM, RA6IGE/p, RA9AP, RA9DZ, RD9CX, RK9UE, RM4I, RN6A, RN9RF, RO9O, RQ9I, RT1C/p, RU3UW, RW0AJ, RW3DY, RW9QA, RX9WN, RY2S/p, RZ3QS, UA3QAM, UA4CCG, UA4CNJ, UA4FER, UA4PN, UA5C, UA6HF1, UA8WAA/m, UA9AX, UA9MA, UA9R, UA9WOB, UC7A, UD8A, UI2K, UN6P, UR5IHQ, UR5LF, UR5MM, UR5WHQ, UR5WX, UR7QC, USOYA, UT2IO, UT2LU, UT3Q, UT7E, UU2JA, UU2JQ, UU4JMG, UU7J, UU7JF, UW1WU, UW4SU, UW5M, UW8SM, UX1IL, UX4U, UY2IG, UY5AA, UZ0U и UZ5Q.

Результаты ОЗЧУ-2013:

В очной части Чемпионата приняло участие 8 команд, представляющих коротковолновиков из 6 областей (Донецкой, Закарпатской, Запорожской, Луганской, Харьковской и Черновицкой) и г. Киева. Из них - 22 спортсмена на личное первенство, среди которых: МСУМК - 3 чел., МС СССР - 2, МСУ - 5 и КМСУ - 7.

Изваявил желание поучаствовать вне конкурса и российский радиоспортсмен - МСМК СССР Владимир Лесничий (R7LV). Владимир родом из Донецкой области, так что его приезд Оргкомитету был вдвойне приятен.

Победителем и призерами очной части стали:

В личном первенстве:

1. Вячеслав Жук (US2YW).
2. Роман Шульга (UY6IM).
3. Роман Ткаченко (UR0MC).

В командном первенстве:

1. г. Рубежное (Роман Ткаченко/UR0MC и Сергей Редькин/UR5MID).
2. г. Горловка (Анатолий Коловский/US7IY и Андрей Мельничуку/ UW5IM).



Слева направо: UR7IM, UT7DK, UR0MC, UR5MID, US7IY и UW5IM

3. Закарпатская обл. (Александр Крайzman/UT7DK и Роман Шульга/UY6IM).

Обслуживала ОЗЧУ-2013 ГСК в составе: СМК - 1 чел. и СНК - 3. Особая признательность за высокий профессионализм Главному секретарю, СНК - Николаю Голикову (UY5QQ). Четкая и слаженная работа всего судейского аппарата исключила поступление от спортсменов как официальных «Протестов», так и простых жалоб и претензий.

Победитель заочной части - UT7MA и проводящий наибольшее число QSLs с очниками - LZ4UU награждены памятными медалями. Всем участникам будут высланы электронные «Сертификаты участника ОЗЧУ-2013».

Был проведен семинар судей, в котором приняли участие 21 чел. из 4-х обл.

В рамках Чемпионата, для нескольких фирм, желающих представить свою продукцию, было отведено специальное место. Активно работал и «блошиный» рынок.

Оргкомитет и ГСК очень признателны и судьям-волонтерам (UA0QBR, UR5IVT, US2IM, USIVQ, UT3IT) и (UY5IQ), которые заполнили недостающие места судей на «позициях» спортсменов. Все судьи отлично справились со своими обязанностями.

Активно работал в качестве шеф-повара Оргкомитета и, по совместительству, видеоператором Владимир Анайко (UX5IZ). Нашему шеф-повару помогали Виктория Макарова (рук. волонтерской группы) и Татьяна Юшкова (US8IUJ). Также ход Чемпионата на видео снимал Анатолий Хворостян (US2IAZ) и др. участники ОЗЧУ. Будем надеяться, что в ближайшее время будет смонтирован фильм «ОЗЧУ-2013».

Следует отметить неутомимую работу «автопарка» Оргкомитета. Олег Кузьменко (US2IM) таскал свой прицеп при развертывании и последующем свертывании штаба ОЗЧУ. А Сергей Макаров (UX7IA) и Сергей Бугаев (UT5IA) денно и ночно обслуживали Чемпионат - «намотав» за несколько дней на спидометр двух автомобилей суммарно около 1000 км. Решением Оргкомитета, UT5IA за свой волонтерский труд был награжден спец. «плакеткой».

После подведения итогов Чемпионата была проведена «Лотерея - Супер!». Ноутбук «Lenovo» был разыгран среди спортсменов и судей на «позициях», и его выиграл R7LV. Однако, Владимир проявил красивый жест - передал ноутбук в дар коллективной ЛРС Горловской СЮТ (UT3IZZ, нач. - UT5SI).

Журнал «Радиообъи» - пять годовых подписок на 2013 г. (две из них, решением Оргкомитета, были вручены горловским радиоклубам «Аргон» и «РадиоАматор», а три - победителю и призерам в личном первенстве);

Были вручены и два спец. приза:

- «Самому молодому спортсмену» - «RigExpert» был вручен Андрею Мельничуку (UW5IM - 1989 г.р.);

- «Самому старшему спортсмену» - портативная УКВ-радиостанция была вручена Виктору Пино (UY5VA - 1945 г.р.).

Гостям Чемпионата (RA6CA и UA6BED) были вручены памятные Дипломы «Гость ОЗЧУ-2013» и красочные радиолюбительские карты мира (изготовитель - Николай, UY0IX).

По отзывам как участников, так и гостей ОЗЧУ-2013, они не пожалели о потраченных времени и средствах - ведь лучше один раз увидеть, чем несколько раз услышать.

ОЗЧУ-2013 уже стал историей!

Надеемся, что дальнейшие проведения ОЗЧУ займут свое достойное место в будущей истории радиоспорта ПРУ!

III Всеукраинская олимпиада по радиоэлектронике среди студентов ВУЗов

Цирульник С. М. - к.т.н., доцент, председатель оргкомитета Всеукраинской олимпиады по радиоэлектронике

24-26 апреля в Смелянском промышленно-экономическом колледже Черкасского государственного технологического университета проходила III Всеукраинская олимпиада по радиоэлектронике среди студентов высших учебных заведений I-II уровней аккредитации. Олимпиада по радиоэлектронике проводится с целью пропаганды радиолюбительства в Украине и выявления, отбора и поддержки одаренной студенческой молодежи, развития и реализации способностей студентов, стимулирования их творческого труда, повышения качества подготовки будущих специалистов по радиотехнике и радиоэлектронике, активизации учебно-познавательной деятельности.

Оргкомитет олимпиады: председатель - Цирульник Сергей Михайлович (к.т.н., председатель ЦК «Радиотехника» Винницкого технического колледжа, г. Винница), члены - Зайковский Олег Сергеевич (председатель ЦК «Электротехнических дисциплин» Николаевского политехнического колледжа, г. Николаев) Шиян Владимир Игнатьевич (директор Смелянского промышленно-экономического колледжа ЧГТУ, г. Смела, Черкасская обл.) Ткачук Юрий Зиновьевич (председатель ЦК «Физических дисциплин» Ивано-Франковского колледжа электронных приборов ИФНТУНГ, г. Ивано-Франковск), Осипов Виктор Валентинович (заведующий техническим отделением Смелянского промышленно-экономического колледжа ЧГТУ), Приймак Виктор Адамович (декан факультета электронных аппаратов Технического колледжа ТНТУ им. И. Пулюя, г. Тернополь).

В олимпиаде принимали участие команды из двух участников, которые представляли учебное заведение (колледж, техникум) соответствующего региона Украины. Олимпиада состояла из трех конкурсов:

* Конкурс по конструированию и технологии изготовления радиоэлектронного устройства, в котором принимает участие один из членов команды. Каждый участник получает схему электрическую принципиальную и комплект радиоэлементов, монтажное оборудование. Необходимо выполнить трассировку платы на персональном компьютере с использованием прикладного программного обеспечения (Layout) и изготовить плату с односторонним монтажом с нанесением рисунка фотрезистивным методом. При выполнении чертежа (рисунка) печатной платы необходимо обеспечить рациональное размещение элементов относительно друг друга с точки зрения взаимосвязи и взаимодействия, предусмотреть эстетическое, геометрическое расположение элементов, отсутствие перемычек, равномерное размещение элементов на плоскости печатной платы. После подготовительного этапа по изготовлению печатной платы участник команды, участвующий в данном конкурсе, выполняет монтаж схемы и демонстрирует ее работоспособность;

* Конкурс на проектирование печатного узла с использованием САПР, в котором принимает участие второй участник команды. Каждая команда получает персональный компьютер с установленным прикладным программным обеспечением (Layout), комплект конструкторской документации. Необходимо выполнить правильно трассировку электрических соединений;

* Конкурс технического творчества, в котором принимают участие оба участника команды. Каждая команда-участник представляет, обосновывает и демонстрирует применение в учебном процессе практическую работу, которая выполнена в учебном заведении в течение 2012/2013 у. г. участниками команды на тему: «Лабораторный блок питания (0-30 В, 1 А)».

В олимпиаде приняли участие команды из 12 областей и 14 учебных заведений: Винницкая обл. (Винницкий технический колледж), Днепропетровская обл. (Днепропетровский радиоприборостроительный колледж), Ивано-Франковская обл. (Колледж электронных приборов ИФНТУНГ), г. Киев (Киевский радиомеханический колледж НАУ), Луганская обл. (Северодонецкий химико-механический колледж),

кий химико-механический техникум), Львовская обл. (Технический колледж НУ «Львовская Политехника»), Николаевская обл. (Николаевский политехнический колледж), Тернопольская обл. (Технический колледж ТГГУ им. И. Пулюя), Харьковская обл. (Харьковский радиотехнический техникум), Херсонская обл. (Херсонский политехнический колледж ОНПУ, Новокаховский приборостроительный техникум), Черкасская обл. (Смелянский радиотехникум ЧГТУ, Черкасский политехнический техникум), Черновицкая обл. (Черновицкий политехнический колледж).

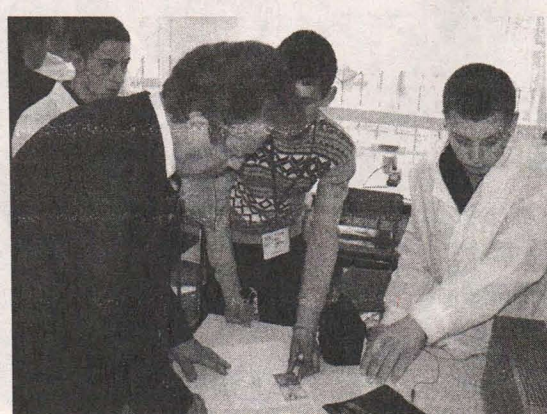
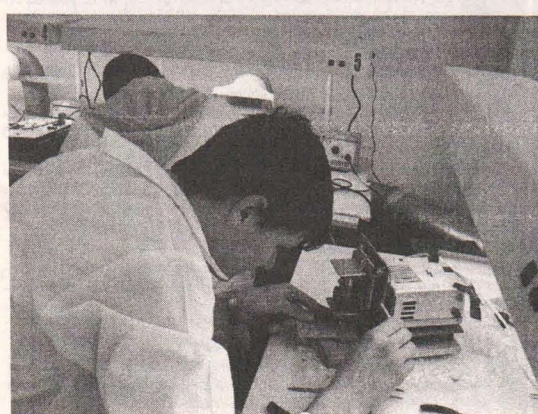
В конкурсе по конструированию и технологии изготовления радиоэлектронного устройства победителями стали: Трибуцкий Максим (Херсонский политехнический колледж ОНПУ) - 1 место (руководитель - Уткина Надежда Эвгеньевна), Ткаченко Михаил (Смелянский промышленно-экономический колледж ЧГТУ) - 2 место (руководитель - Жмурко Владимир Павлович), Васильковский Игорь (Киевский радиомеханический колледж НАУ) - 3 место (руководитель - Портнякова Леся Юрьевна).

В конкурсе по проектированию печатного узла с использованием САПР победителями стали: Лисовой Александр (Винницкий технический колледж) - 1 место (руководитель - Вернигора Валентина Владимировна), Перегиняк Иван (Колледж электронных приборов ИФНТУНГ) - 2 место (руководитель - Аренец Александр Васильевич), Ткач Дмитрий (Черновицкий политехнический колледж) - 3 место (руководитель - Оробец Юрий Иванович).

В творческом конкурсе победителями стали: команда технического колледжа ТГГУ им. И. Пулюя в составе Стросинского Степана, Покрышки Василия (руководитель - Недошитко Людмила Николаевна) - 1 место, команда Черкасского политехнического техникума в составе Балицкого Алексея, Орел Андрея (руководитель - Снегири Игорь Владимирович) - 2 место, команда Смелянского промышленно-экономического колледжа ЧГТУ в составе Ткаченко Михаила, Чирки Александра (руководитель - Жмурко Владимир Павлович) - 2 место, команда Винницкого технического колледжа в составе Бузина Владимира Лисового Александра (руководитель - Вернигора Валентина Владимировна) - 3 место, команда Черновицкого политехнического колледжа в составе Танасиичука Ивана, Ткача Дмитрия (руководитель - Оробец Юрий Иванович) - 3 место, команда Северодонецкого химико-механического техникума в составе Шляхового Сергея, Скирневского Павла (руководитель - Казаков Владимир Петрович) - 3 место.

Общекомандные места распределились так: 1 место - команда Винницкого технического колледжа в составе Бузина В., Лисового А. (руководитель - Вернигора В.), 2 место - команда Смелянского промышленно-экономического колледжа ЧГТУ в составе Ткаченко А., Ткаченко М. (руководитель - Жмурко В. П.), 3 место - команда Херсонского политехнического колледжа ОНПУ в составе Трибуцкого М., Паттайчуку Д. (руководитель - Уткина Н. Э.).

Участники олимпиады посетили государственное предприятие «Орион - навигация» г. Смела, где производится современное навигационное оборудование, и музей истории Корсунь-Шевченковской битвы. Во время Олимпиады постоянно работала коллектичная радиостанция UR4CWE с позывным US5CCO директора Смелянского промышленно-экономического колледжа Владимира Шияна. Участники и команды победители награждены ценными призами от народного депутата Украины Виктора Тимошенко, частного предпринимателя Владимира Шмагайло, Государственного предприятия «Орион - навигация», исполнительного комитета Смелянского городского совета. Организаторы выражают искреннюю благодарность директору научно-производственного предприятия «VD MAIS» Владимиру Давыденко за техническую поддержку, журналам «Chip News» и «Радиообзор» за информационную поддержку и помочь в организации и проведении III Всеукраинской олимпиады по радиоэлектронике.



ЭЛЕКТРОННЫЕ КОМПОНЕНТЫ, СИСТЕМЫ, ОБОРУДОВАНИЕ И АКСЕССУАРЫ

ПЕЧАТНЫЕ ПЛАТЫ

ИЗГОТОВЛЕНИЕ  МОНТАЖ

НПО "ЭТАЛ" www.etal.ua
тел.: +38(05235) 7-42-04, 7-41-95, 7-53-29
e-mail: pcb@etal.ua, market@etal.ua

г. САМАРА



приборы инструменты радиодетали
ул. Зои Космодемьянской, 21 (напротив рынка "Шапито")
тел. (846) 20-22-911
e-mail: voltmastersale63@mail.ru
voltmastersamara@mail.ru

ТОВАРЫ ДЛЯ РАБОТЫ, ХОББИ И ДОМА

Частное предприятие СИММАКС

Стабильные комплексные поставки
ГЕНЕРАТОРНЫЕ ЛАМПЫ, КЛИСТРОНЫ,
МАГНЕТРОНЫ, ЛБВ,
ОСЦИЛЛОГРАФИЧЕСКИЕ ТРУБКИ

ДИАГНОСТИКА ЭЛЕКТРОВАКУУМНЫХ
ПРИБОРОВ
разработка и изготовление
промышленных приборов под заказ

г. Киев, пр. Лесной, 39а, 26 этаж
телефон: +38(044) 568-09-91, (045) 777-77-63
моб.: (063) 568-09-91, e-mail: simmakss.5680991@gmail.com,
www.simmaks.com.ua



SimMaks

Радиоком

Сергей Иванович

тел. (050) 523-62-62
(068) 197-26-25 офис моб. (Байлан)



Сергей Анатольевич
тел./факс: (0432) 53-74-58

- г. Киев, радиорынок Кар. Дачи, места № 363, 364 пятница, суббота, воскресенье
- г. Винница, ул. 600-летия, 15, мат. "РАДОСАЙ" понедельник... суббота тел. 50-58-30

ул. 600-летия, 15 8 (0432) 65-72-00, 65-72-01 офис - с 01.01.2008
г. Винница, Украина e-mail: radiocom@svitonline.com
21021 www.radiocom.vinnitsa.com

Продажа радиокомпонентов импортного
и отечественного производства

керамические конденсаторы (высокие и SMD)
электролит. конд. (Samwic, Jamicon, CapXon, Chang, Elzet)
пленоочные конденсаторы (импортные и отечественные)
резисторы (высокие и SMD), резисторы-аналоги СП3-19а, б
диоды, мосты, стабилизаторы напряжения
стабилитроны (высокие и SMD), супрессоры, разрядники
светодиоды, светодиодные дисплеи, изделия из светодиода в
транзисторы, микросхемы (импортные и отечественные)
реле, разъемы, клемники, предохранители, держатели предохр.

ТРИОД

Радиолампы от производителя:
Г, ГИ, ГК, ГМ, ГМИ, ГС, ГУ
6Н, 6П, радиолампы Hi-End

- Магнетроны, ЛБВ, клистроны, разрядники
- Тиратроны, кенотроны, видиконы, ЭЛТ, ФЭУ
- Контакторы ДМР, ТКС, ТКД, ТКЕ, КНЕ и др.
- СВЧ модули ГИ.., 1УИ.., 1УСО.., М.. и др.
- Сельсины, двигатели СКТ, ДГМ, ДПР, ДИД и др.
- Высоковольтные конденсаторы К15.. различные.

→ Гарантия, доставка, скидки

Tel./fax: (+38 044) 405-22-22, 405-00-99 (с 9⁰⁰ до 17⁰⁰)
www.triod.kiev.ua E-mail: ur@triod.kiev.ua

ЭЛКОМ СИТИ

Компания

ЭЛКОМ сити

Комплектующие для ремонта электронной техники
Программаторы ORANGE-5. Мини-лаборатория OMEGA, MASTER KEY
Кабеля, шнуры, спец. инструмент, тех литература.
Электронные наборы МАСТЕР КИТ
Производства группы компаний "ШТИЛЬ"
Компьютеры и комплектующие
Продажа и ремонт сварочного оборудования и
оснастки компании Fusion Великобритания

Республика Казахстан
г. Алматы, ул. Айманова, 224-1
тел.: 8(727) 274-5549
e-mail: eagles_zhanna@mail.ru
www.masterkit.kz

Філур Електрик Filur Electric

Радіоелектронні комплектуючі

Україна, 03035, м. Київ, вул. Урицького, 1, 6-й поверх
тел. (044) 495-75-75, факс (044) 495-75-72
www.filur.net www.payainik.com.ua aslin@filur.kiev.ua

ИМПУЛЬСНЫЕ ИСТОЧНИКИ ПИТАНИЯ

Поставка и производство под заказ по доступным ценам:
- блоки питания импульсные стабилизированные (для бытового применения);
- блоки питания импульсные стабилизированные на DIN-рейку (для пром. применения);
- блоки питания импульсные стабилизированные (встраиваемые)
- источники бесперебойного (резервного) питания, встраиваемые, в виде платы и на DIN-рейку

21021, СПД «ВОВК С. И.», Винница, ул. Келецкая 60, к. 1
тел. (0432) 657-200, 657-201, 53-74-58,
(068) 174-86-20, (050) 523-62-62
[radiocom@svitonline.com](http://www.radiocom.vinnitsa.com)
<http://www.radiocom.vinnitsa.com>



Магазин «Электронщик»
Посылторг

Комплексные поставки импортных и отечественных электронных
компонентов и комплектующих, продукции и каталогов МАСТЕР КИТ,
измерительной аппаратуры, и радиомонтажного инструмента,
современных импульсных источников питания.
Доставка продукции наложенным платежом по всей России.

Уважаемые читатели, идя навстречу вашим пожеланиям, официальный представитель компании **Мастер Кит в Украине** - посыптор «Кедр-плюс» рассыпает наборы для радиолюбителей «Мастер Кит». В обозначениях первые две буквы NM, NS, NK, NF соответствуют наборам для собственной сборки, включающим все детали, печатную плату и инструкцию, BM - блок с уже припаянными на плату элементами, MK - готовое устройство в корпунке. Более подробные данные по наборам «Мастер Кит» можно получить в публикациях нашего журнала (в рубрике «Мастер Кит»), а также на сайте www.masterkit.ru

Вы имеете возможность заказать наборы, выбрав их из приводимого ниже перечня (внимание, перечень сокращенный! Полный перечень наборов можно получить на сайте <http://www.masterkit.ru>) и указав в заявке код, название набора и ваш полный обратный адрес с почтовым индексом и Ф.И.О. без склонений (будьте внимательны, заявки с неполным адресом к исполнению не принимаются). Цена* указана в гривнах и не

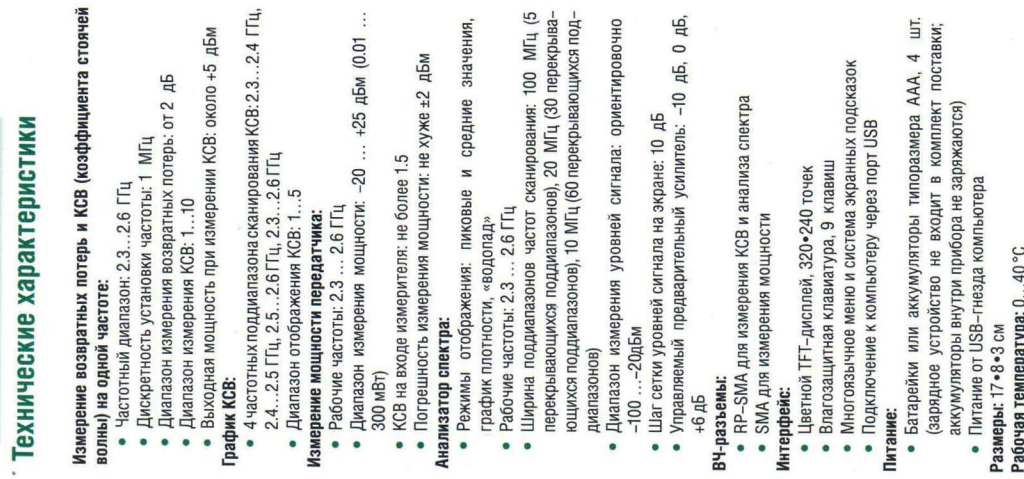
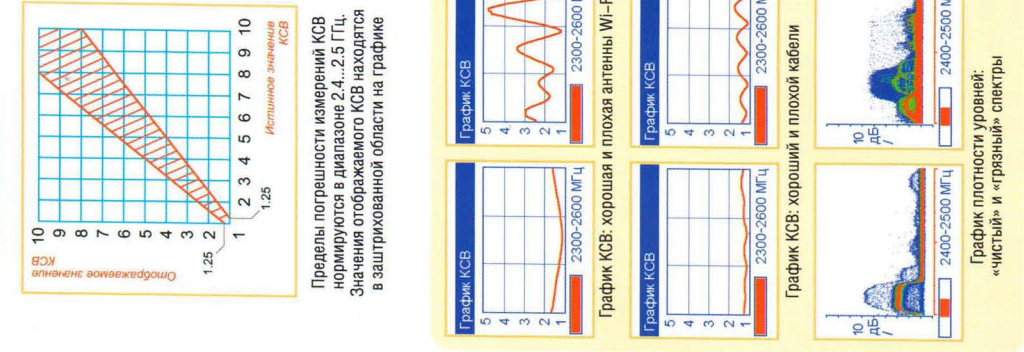
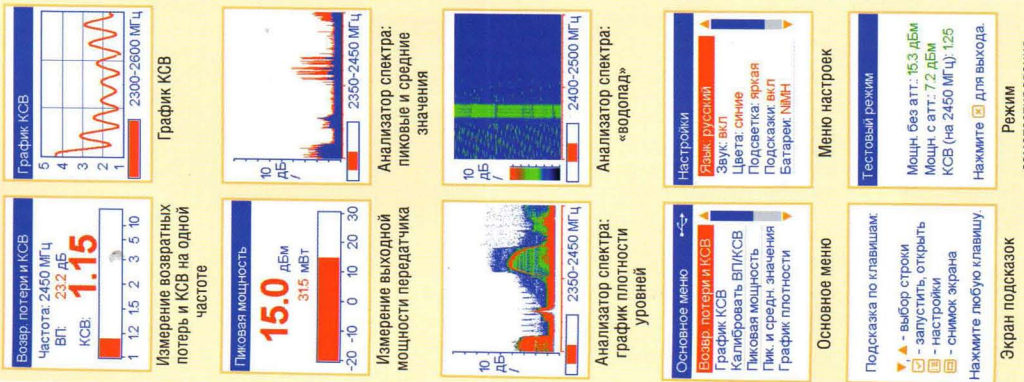
включает в себя почтовые расходы, которые необходимо учитывать дополнительно по расценкам Укрпочты для заказных бандеролей соответствующей массы (<http://services.ukrposhta.com/CalcUtil/PostalMails.aspx>).

Для получения набора жители Украины направляют заявку по адресу 04073, Киев-73, а/я 84, на email: kedrplus@mail.ru, в он-лайн режиме по адресу <http://radiohobby.qrz.ru/kedrplus.html> или по телефонам 094-925-64-96, 067-782-55-91, для Киева 360-94-96.

Жители России могут заказать наборы по email: infomkt@masterkit.ru или на сайте www.masterkit.ru.

Заказ высылается ценной бандеролью наложенным платежом (оплата при получении на почте) в течение 1...3 недель со дня получения вашей заявки. Цены действительны до выхода в свет следующего номера журнала, для оперативного уточнения звоните по указанным телефонам.

Код	Название	Цена*, грн.
Рукоятка металлоиздателя пластиковая с комплектом крепежа		97,75
Пластиковый кронштейн крепления датчика металлоиздателя		32,00
Корпус датчика металлоиздателя (комплект из двух половинок)		65,00
Блистерная заливочная форма для датчика КОЩЕЙ 20M		35,00
AK059 Высокочастотный пьезокруплитель		56,28
BM005 Сумеречный переключатель		192,24
BM037 Регулируемый стабилизатор напряжения 1,2...30 В/4A		16,69
BM057 Импульсный регулируемый стабилизатор напряжения		133,65
BM071 Усилитель НЧ 22Вт с радиатором (TDA2005, мост)		95,01
BM083 Инфракрасный барьер 50 см.		153,90
BM1043 Устройство плавного включения и выключения		117,45
BM1080 Источник бесперебойного питания 12В/0,8А		79,20
BM137 Микрофонный усилитель		396,00
BM146 Исполнительный элемент до 6 А		64,80
BM2032 Усилитель НЧ 4x40 Вт (TDA7386, авто)		66,53
BM2033 Усилитель НЧ 100 Вт (TDA7294)		156,64
BM2034 Усилитель НЧ 70 Вт (TDA1562 авто)		111,12
BM2036 Усилитель НЧ 32 Вт (TDA2050, Hi-Fi, блок)		184,00
BM2037 Усилитель Hi-Fi НЧ 18 Вт TDA2030A		88,00
BM2039 Усилитель 2x40 Вт (TDA8560Q/TDA8563Q)		109,35
BM2042 Усилитель НЧ 140 Вт (TDA7283, Hi-Fi)		155,52
BM2043 Мостовой автосуслитель Hi-Fi 4x77Вт TDA7560		213,84
BM2051 Микрофонный усилитель (двухканальный)		52,08
BM2061 Электронный ревербератор (HT6970)		160,00
BM2062 Цифровой диктофон (DS1416)		166,40
BM2071 Циф. усилитель класса D мощн.. 315 Вт (TASS261)		339,92
BM2072 Цифровой усилитель класса D мощн.. 315 Вт с 4-канальным цифровым сигнальным процессором и дисплеем (TASS504 + TASS261 + PCM1808 + PLL1705)		968,00
BM2073 2(6)-канальный цифровой усилитель звука частот ...		640,00
BM2078 2-канальный цифровой усилитель «Д-капс» 2x10 Вт		828,00
BM2080 USB-FM трансмиттер		218,70
BM2111 Стереофонический темброблок (LM1036)		162,40
BM2112 Стереофонический темброблок.		132,40
BM2115 Активный фильтр НЧ для сабвуфера		68,08
BM2118 Предварительный усилитель с балансными входами		52,80
BM245 Регулятор мощности 500 Вт/220 В		55,20
BM246 Регулятор мощности 1000 Вт/220 В		140,00
BM247 Регулятор мощности 2500 Вт/220 В		121,60
BM2500 Устройство управления насосом		208,00
BM251F Циклический таймер 1...180 минут (секунд) 220 В /200 Вт.		56,00
BM4012 Датчик уровня воды		84,00
BM4022 Термореле 0...150 С		257,84
BM408F Цифровой счетчик		72,64
BM4511 Регулятор яркости ламп накаливания 12 В/50 А		152,00
BM6020 Дополнительный светодиодный модуль для KIT BM6120		224,00
BM6036 Лампа светодиодная 150 люмен		224,00
BM6120 Светильник 12 В на мощных светодиодных лампах..		163,68
BM6123 Светильник 220В на мощной светодиодной матрице		304,00
BM6220 Светильник, светильник 220 В с акустикой и световым датчиком движения		307,03
BM707F Термореле цифровое		216,39
BM708F Датчик движения с фотодиодом		264,00
BM709F Цифровые часы с таймером (10 программ)		1053,00
BM8009 GPS-GPRS трекер автомобильный		1008,45
BM8009L GPS-GPRS трекер автомобильный без сим-карты		494,55
BM8020 Даундиализационный часотомер		584,00
BM8020 USB осциллограф (2-кан., 200 Гц)		1874,40
BM8021 Широкополосный USB осциллограф (2-кан., 20 МГц)		736,00
BM8036 8-ми канальный микропроцессорный таймер		146,60
BM8036/ATmega32-AU Микроконтроллер с прошивкой для модуля BM8036		256,00
BM8037 Цифровой термометр (д/16 датчиков)		230,36
BM8037 BLUE Цифровой термометр (д/16 датчиков, голубой)		96,00
BM8037 AT89C401-24SU Микроконтроллер с прошивкой для BM8037		304,00
BM8038 GSM-сигнализация		960,00
BM8039 GSM-интегратор. управляющее охранное у-во «ГАРДИАН»		1084,00
BM8039D GSM интеллектуальное управляющее охранное у-во		376,00
BM8039S Датчики дыма и устройства согласования		378,00
BM8039D/ATmega32A-AU Микроконтроллер с прошивкой для модуля BM8039D		128,00
BM8040 Дистанционное управление на ИК-участках (RC5)		216,00
BM8042 Импульсный микропроцессорный металлоискатель		372,00
NM8041_42_44датчик - Датчик для металлоискателей		167,20
NM8044 Мини-металлоискатель «Кошечка»		124,00
NM8045 датчик Поисковая катушка для BM8043		872,00
NM8044 Универс. импульсный металлоискатель КОЩЕЙ 5ИМ		890,00
NM8044 датчик Поисковая катушка для КОЩЕЙ 5ИМ		553,60
DK020,1 Настройочная плата ZOM + ЭЖИ + клавиатура		1400,00
DK020,5 Металлоискатель КОЩЕЙ 20M с рукояткой		2300,00
DK020,6 Металлоискатель КОЩЕЙ-20M в сборе без датчика		3100,00
DK020,7 КОЩЕЙ-20M с датчиком NEL 12x13" или 8x12"		4000,00
BM8049 Включатель освещения с дистанционным управлением		124,00
BM8049M Выключатель освещения с дистанционным управлением		144,00
BM8049/ATtiny13V-16MUSI Микроконтроллер с прошивкой для модуля BM8049		61,60
BM8050 Переходник USB в COM		112,00
BM8051 Переходник USB - UART адаптер		92,00
BM8069D Устройство расширения входов/выходов		259,00
BM8070D Блок силовых реле 16A 250В		113,40



RigExpert IT-24 — это универсальный, ультрапортативный тестер для проверки и настройки антенно-фидерных устройств ISM-диапазона 2.4 ГГц (рабочие частоты прибора — 2.3...2.6 ГГц). **При помощи IT-24 с успехом решаются следующие задачи:**

- Проверка и настройка антенн и высокочастотных кабелей
- Измерение мощности точек доступа и других передатчиков
- Проверка радиочастотной обстановки (в режиме анализатора спектра) для выбора наименее занятых частот
- Проверка способности оборудования ISM-диапазона 2.4 ГГц
- Проверка элементов собственных сетей передачи данных
- Сервисными компаниями для проверки работоспособности оборудования
- Продовольствиями антенн и оборудования ISM-диапазона 2.4 ГГц

Технологии:

- Wi-Fi
- ZigBee
- proprietарные технологии передачи данных ISM-диапазона 2.4 ГГц



RADIO EXPERT.RU

Первый российский супермаркет для радиолюбителей

Сервисный центр компании "Радиоэксперт" оснащен необходимым высокоточным измерительным оборудованием для проведения работ любой сложности.

Специальные предложения! Доставка по всей России!

KENWOOD



TS-2000/TS-2000X

0.5-30, 50-54, 144-148,
430-450 МГц/1200МГц
SSB/CW/FM/FSK: 100 Вт
AM: 25 Вт (HF, 6 м, 2 м)
SSB/CW/FM/FSK: 50 Вт,
AM: 12,5 Вт (70 см)



TS-590S

1.8-54 МГц
SSB/CW/AM/FM/FSK, антенный тюнер, 32-битный DSP
100 Ватт;

YAESU



FT-2000

Tx: 30 кГц - 60 МГц, Rx: 160-6 м
A1A(CW), A3E(AM), J3E(SSB),
F3E(FM), F1B(RTTY),
F1D(PACKET), F2D(PACKET)
100 Вт



FT-950

0.3-56 МГц
SSB/CW/AM/FM/RTTY/PACKET
автоматический тюнер
100 Ватт



FT-897D

Tx: 160-6 м, 2 м, 0,7 м
Rx: 0.1-56, 76-108, 118-164 МГц,
SSB, CW, AM, FM и Packet
100 Вт
TCXO-9, DSP2



FT-857D

Мобильно-Базовая радиостанция
Tx: 160-6 м, 2 м, 0,7 м
Rx: 0.1-56, 76-108, 118-164 МГц,
SSB, CW, AM, FM и Packet
100 Вт
TCXO-9, DSP2

 ALINCO



DX-SR8E

Недорогой КВ трансивер, 0-30
МГц, SSB/CW/AM/FM,
100 Ватт, отделяемая
передняя панель

 ICOM



IC-9100

0.03-60/136-174/420-480/
1240-1320 МГц;
SSB/CW/RTTY(FSK)/FM/AM/DV
автоматический тюнер, 100Ватт



IC-7600

Базовый КВ/УКВ трансивер
1.8-30, 50-54, 136-174 МГц,
USB/LSB/CW/RTTY/AM
100 Ватт



IC-7200

Базовый КВ трансивер
0.030-60 МГц,
USB/LSB/CW/RTTY(FSK)/AM,
100 Вт



IC-718

Базовый КВ трансивер ТУ,
0.03-30.0 МГц,
USB/LSB/CW/RTTY/AM,
100 Вт

WiNRADiO®

WR-G39DDCe
"EXCELSIOR"



WR-G31DDC
"EXCALIBUR"



FlexRadio Systems®

Software Defined Radios

Flex-5000



Flex-1500



Flex-6000 Series



Flex-3000